

Gravitational collapse and entropy of Black Holes with magnetic sources.

A. Ulacia Rey^{◇,♠}

[◇]*Departamento de Física Teórica,
Instituto de Cibernética, Matemática y Física, ICIMAF.
Calle E No-309 Vedado, cp-10400. La Habana, Cuba.
alain@icmf.inf.cu*

[♠]*Departamento de Gravitación y Teorías de Campo.
Instituto de Ciencias Nucleares, ICN,
Universidad Autónoma de México UNAM, Mexico,DF. 04510.
alain.ulacia@nucleares.unam.mx*

ABSTRACT: This thesis is divided in two parts, each one addressing problems that can be relevant in the study of compact objects. The first part deals with the study of a magnetized and self-gravitating gas of degenerated fermions (electrons and neutrons) as sources of a Bianchi-I space-time. We solve numerically the Einstein-Maxwell field equations for a large set of initial conditions of the dynamical variables. The collapsing singularity is isotropic for the neutron gas and can be anisotropic for the electron gas. This result is consistent with the fact that electrons exhibit a stronger coupling with the magnetic field, which is the source of anisotropy in the dynamical variables. In the second part we calculate the entropy of extremal black holes in 4 and 5 dimensions, using the entropy function formalism of Sen and taking into account higher order derivative terms that come from the complete set of Riemann invariants. The resulting entropies show the deviations from the well know Bekenstein-Hawking area law.

KEYWORDS: Self-gravitating systems, singularities, magnetic field, degenerate Fermi gases, black holes.

índice

I GASES AUTO-GRAVITANTES MAGNETIZADOS	11
1. RELATIVIDAD GENERAL	12
1.1 Fuentes de campo en Relatividad Especial	12
1.2 Sistemas de referencia no-inerciales	13
1.3 Teoría de la Relatividad General	16
1.4 Solución de Schwarzschild	17
1.5 Solución de FLRW	20
1.5.1 Fuentes de materia-energía	21
1.5.2 Singularidades de curvatura	22
1.6 Forma covariante de la dinámica de fluidos y colapso gravitacional	22
2. ESTUDIO DE UN GAS MAGNETIZADO Y AUTO-GRAVITANTE DE ELECTRONES	25
2.1 Introducción	25
2.2 Ecuaciones de Estado de un gas magnetizado de electrones	27
2.3 Ecuaciones de Einstein-Maxwell	29
2.4 Dinámica de cantidades covariantes	31
2.5 Discusión y resultados	33
2.5.1 Singularidades	33
2.5.2 Espacio de fase y subespacios críticos	36
2.6 Conclusiones del capítulo	37
3. ESTUDIO DE UN GAS MAGNETIZADO Y AUTO-GRAVITANTE DE NEUTRONES	39
3.1 Introducción	39
3.2 Ecuación de Estado de un gas magnetizado de neutrones	39
3.3 Ecuaciones de Einstein-Maxwell	42
3.4 Límite de campo magnético débil	43
3.5 Dinámica de cantidades covariantes	45
3.5.1 Ecuaciones dinámicas	46
3.6 Soluciones numéricas y discusión física	47
3.6.1 Espacio de fase	48
3.7 Conclusiones del capítulo	49
4. CONDICIONES PARA FRENAR EL COLAPSO	52
4.1 Espacio-tiempo Bianchi-I perturbado	52
4.2 Cálculo de cantidades dinámicas y ecuación de Raychaudhuri	53
4.3 Conclusiones del capítulo	56

II	PEQUEÑOS AGUJEROS NEGROS	57
5.	ENTROPÍA DE AGUJEROS NEGROS	59
5.1	Entropía de agujeros negros: pelos clásicos	59
5.2	Mecanismo de Sen	60
5.3	Definición de AN extremal	63
5.4	Método de Sen	65
6.	ENTROPÍA DE AGUJEROS NEGROS EXTREMOS	68
6.1	Nuevos resultados en la aplicación del formalismo de Sen	68
6.2	Generalización de la Teoría de Einstein usando los invariantes de Riemann	70
6.2.1	Soluciones analíticas para invariantes de 2^{do} orden en $d = 4$	71
6.2.2	Soluciones aproximadas para el conjunto completo en $d = 4$	72
6.2.3	Soluciones analíticas para invariantes de 2^{do} orden en $d = 5$	74
6.2.4	Soluciones aproximadas para el conjunto completo en $d = 5$	75
6.2.5	Invariantes de Riemann y gravedad genérica de Gauss-Bonnet	76
6.3	Conclusiones y perspectivas del capítulo	78
7.	CONCLUSIONES Y PERSPECTIVAS	79
ANEXOS		
A.	Convenios y Notaciones	81
B.	Diagramas del Agujero Negro de Schwarzschild	83
C.	Fuentes de Materia	85
C.1	Fluido Termodinámico	85
C.2	Gas ideal relativista no-degenerado.	85
C.3	Polvo	86
C.4	Radiación	87
D.	Ecuación de Raychaudhuri	88
E.	Significado del tiempo adimensional (τ)	91
F.	Espacios de fase	92
G.	Invariantes de Riemann para $AdS_2 \times S^{d-2}$	94

A la memoria de mis abuelos

Agradecimientos

A mis tutores, Roberto A. Sussman y A. Pérez Martínez por ayudarme a crecer.

A mi familia por todo el amor y comprensión infinita.

A mi esposa por su inagotable paciencia, su apoyo incondicional y sobre todo por su sincero amor.

A todos los que me han brindado su experiencia y con los que he tenido fructíferas discusiones técnicas, en especial a José F. Morales.

Al grupo de Física Teórica por brindarme la posibilidad de compartir con excelentes profesionales y magníficas personas, de los cuales estaré agradecido toda una vida.

Este trabajo ha sido posible gracias al apoyo del ICIMAF, de la UNAM, de la beca CLAF-ICTP y del INFN.

Introducción

Los objetos compactos: Enanas Blancas (EBs), Estrellas Neutrónicas (ENs) y Agujeros Negros (ANs) son objetos muy densos que invaden el Universo y son el último estadio por el que transita una estrella antes de apagarse. Que una estrella se convierta en uno u otro tipo de objeto compacto depende decisivamente de su masa. Por ejemplo para estrellas con una masa entre $9 \sim 10M_{\odot}$, que han agotado su combustible nuclear evolucionan hacia una EB. Sin embargo, estrellas con masa mayor que $10M_{\odot}$ forman ANs.

En particular las EBs y ENs son laboratorios astrofísicos naturales en los cuales se puede probar la veracidad de las teorías físicas más actuales ya que en ellas viven fenómenos en los que están presentes partículas fuertemente interactuando, en presencia de grandes campos gravitacionales y electromagnéticos.

El modelo más aceptado para la descripción de partículas en el micro mundo es el Modelo Estándar (ME). Por otra parte, la Teoría General de la Relatividad (TGR) describe fielmente los fenómenos que ocurren a una mayor escala. Por tanto, un modelo físico que pretenda describir estrellas de este tipo, debe incluir la gravedad y las interacciones entre partículas para que sea válido estrictamente hablando. Sin embargo en nuestro cuadro físico del Universo, todavía no tenemos una teoría unificada y experimentalmente demostrada que pueda juntar las cuatro fuerzas fundamentales de la naturaleza (fuerte, débil, electromagnética y gravitatoria) de modo que se puedan realizar predicciones teóricas medibles experimentalmente. De las fuerzas mencionadas, la única que se niega a ser unificada es la gravitatoria, aunque en estos últimos tiempos se viene trabajando fuertemente en teorías prometedoras (como las “teorías de cuerdas”) [1]. Las Teorías de Cuerdas no tienen por ahora muchas esperanzas de ser probadas experimentalmente debido a que se requiere para verificarlas, de experimentos que produzcan energías superiores a las que se espera, se generen en el LHC¹. El LHC fue diseñado y puesto en marcha para encontrar el bosón de Higgs que es un pilar fundamental del ME [2]. Sin embargo, existen casos dentro de la misma teoría de cuerdas en que el espacio de configuración es tan grande que las cantidades de energía para su detección no es tan alta, si este fuera el caso real, entonces con el LHC se podrían ver indicios de estos objetos.

Por otro lado, desde hace varias décadas se le da gran importancia al estudio de campos magnéticos intensos en el universo y en particular en objetos compactos. En los últimos tiempos, con la aparición de nuevas y más precisas observaciones, se avanza en las mediciones astrofísicas y se introducen nuevas cotas para estos campos magnéticos. Así en los años 80 campos magnéticos de $10^9 \text{ Tesla } (T)$ ² eran considerados máximos. Hoy en día, según observaciones más refinadas se estiman que existen campos 1000 veces mayores que el conocido campo límite de Schwinger $4,4 \times 10^9 T$ [3].

Las EBs son estrellas con una masa de $1,2M_{\odot}$, (o sea $< 1,44M_{\odot}$), densidades entre $10^9 - 10^{10} \text{ kg/m}^3$, radios de $10^6 m$ y campos magnéticos del orden de $10^4 T$.

Sin embargo, una Estrella Neutrónica tiene una masa M entre 1.5 y 2 masas solares M_{\odot} , radios entre $10 - 12 km$ y una densidad central de 10^{17} kg/m^3 . Es por tanto una

¹LHC significa “Large Hadron Collider” o sea el Gran Colisionador de Hadrones.

² $1 \text{ Tesla} = 10^4 \text{ Gauss}$ conversión para la inducción del campo magnético.

de las formas más densas de materia encontradas en el Universo observable. Aunque los neutrones dominan la componente bariónica de la Estrella de Neutrones, existen también algunos protones (y suficientes electrones y muones) que garantizan la neutralidad de carga en la estrella. Además, engendran un súper campo magnético de unos $10^{10} T$ [4].

La primera EB encontrada, fue la compañera de la brillante estrella Sirio. Sirio y su compañera están en una órbita mutua, una alrededor de la otra, y esto permitió que se determinaran las masas de cada una. A partir del brillo y temperatura de la compañera, podemos determinar su tamaño, que es de unos $10^7 m$ de diámetro, menos que el de la Tierra [5].

Las EBs son intrínsecamente muy poco brillantes, y son por tanto difíciles de detectar. Aún así, ellas son el estado final de todas las estrellas de masa mediana, y por ello podríamos esperar hallar muchas EBs en el Universo.

Los astrónomos han logrado encontrar muchas, usando técnicas que dependen ya sea de que son compañeras de otras estrellas, o de que son estrellas calientes con grandes movimientos relativos respecto a otras estrellas (indicando que ellas están mucho más cercanas que otras estrellas de la Secuencias Principal con la misma temperatura), y a partir de su emisión de radiación de alta energía, tal como luz ultravioleta. La presencia de EBs en sistemas binarios ha sido muy importante para entender violentos estallidos en sistemas estelares. Supernovas del Tipo I, Novas, y estrellas variables cataclísmicas, son todos casos en los que la compañera de una EB ha alcanzado un punto en su evolución en el que está aumentando en diámetro y perdiendo masa hacia la EB.

La deposición de material en un disco de acreción alrededor de la EB, o en la superficie de la EB, determinará la naturaleza de cualquier estallido. La estrella aparentemente más brillante en el cielo, Sirio, fue observada por Bessel en 1844 mostrando un bamboleo en su movimiento a través del cielo. Bessel atribuyó esto a la presencia de una compañera, pero no se observó alguna hasta que Alvan Clark, mientras probaba un nuevo telescopio, vio la tenue estrella compañera. En 1925, el espectro de la estrella compañera confirmó que era una estrella con aproximadamente la misma temperatura que Sirio A.

Ella tiene un período de 50 años, con una máxima separación en el cielo de 7,6 arcosegundos. La diferencia de luminosidad entre Sirio A y B llega a un factor de más de 8000. La solución de su movimiento orbital arrojó para A y B, masas de 2,3 y 1 veces la masa del Sol. Sirio A tiene un radio de cerca de $10^9 m$, mientras que Sirio B tiene un radio de solo $10^7 m$.

En 1926 R. H. Fowler junto con Paul Dirac trabajaron en aplicar la mecánica estadística para explicar la estabilidad de una estrella EB y en 1930 Chandrasekhar descubre la masa máxima de $1.44 M_{\odot}$ para estas estrellas [6, 7].

Para las estrellas neutrónicas los resultados teóricos antecedieron a los observacionales. En 1932 Landau habló por primera vez de la EN. En el año 1934 se predijo por primera vez, basándose en cálculos teóricos, la existencia de una ENs y a partir de esa fecha se estudiaron muchos modelos para describirlas, pero no es hasta el año 1967 en que se verifica observacionalmente por azar, la existencia de un objeto con las características de una EN [8].

Las ENs no se habían observado antes debido a que no emiten en el visible, por lo cual fue necesario que pasaran más de 30 años y que la tecnología permitiera la construcción de radiotelescopios capaces de detectar las primeras ENs. El descubrimiento de la primera EN provocó un aumento en el número de trabajos teóricos encaminados a describir los procesos físicos que ocurren en el interior de estos objetos [9, 10, 11, 12, 13].

Desde hace veinte años los estudios de las Estrellas de Neutrones se nutren de cuantiosas observaciones que se obtienen gracias a observatorios que detectan emisiones de rayos X y radiación gamma colocados en satélites. Entre los observatorios más conocidos están el Telescopio Espacial Hubble, el Observatorio de Rayos X Chandra y el Observatorio de Rayos Gama Compton.

Actualmente también se habla de la posible existencia de Estrellas de Quark, o Estrellas Extrañas. Estas deben aparecer para súper altas densidades, donde la materia presenta características todavía más exóticas, tales como bariones con extrañeza, mesones condensados (piones, kaones), o quarks no confinados [14, 15, 16].

Estos fermiones en forma de hadrones o quark no confinados se espera que también exhiban propiedades de superfluidez o superconductividad.

Una EN normal, tiene materia hadrónica en su exterior y tanto la presión como la densidad de materia bariónica se anula en la frontera exterior (en el interior puede contener cualquier combinación de partículas exóticas permitidas por la física de interacciones fuertes). Sin embargo, una Estrella de quarks, puede tener también una superficie de quark desnuda cuya presión se desvanece en la frontera y una súper alta densidad de materia, o una fina capa de materia normal soportada por las fuerzas Coulombianas sobre la superficie de materia de quark. Tales objetos están constituidos por la materia en el último estado fundamental cuya energía es menor que la del núcleo de Hierro. Esta materia comprimida a una densidad suficientemente alta prodría espontáneamente convertirse en materia de quark desconfiada.

Hasta el presente ningún experimento ha encontrado quark no confinados, aunque se supone que en las Estrellas Extrañas los quarks están libres. A diferencia de una estrella normal, la estrella de materia extraña, si tiene éste estado auto-ligado de energía, no requeriría de gravedad para unirse.

Los ANs son los remanentes estelares más controversiales que habitan el Universo, ellos aparecen tras la explosión de una Supernova cuya estrella progenitora es muy masiva ($M > 10 M_{\odot}$) o como resultado de la coalescencia de un sistema binario de dos ENs. El colapso gravitacional no puede ser evitado por la presión del gas degenerado de partículas que constituye la estrella y por ello colapsa apareciendo una singularidad en el espacio-tiempo.

Se presupone que existan en el Universo infinidad de ellos pero observacionalmente no han sido detectados hasta hoy. Sin embargo la existencia de ellos ayudaría a comprender observaciones astronómicas, emisión de rayos X por estrellas binaria y galaxias activas. Actualmente, muy pocos astrónomos ponen en duda la existencia de los ANs, aunque la evidencia de su existencia es indirecta, a partir del comportamiento de otros objetos cercanos a los ANs, tales como estrellas brillantes.

En 1963, Roy Kerr [17] demostró que en un espacio-tiempo de cuatro dimensiones todos los ANs, debían tener una geometría cuasi-esféricas determinada por tres parámetros: su masa M , su carga eléctrica Q y su momento angular J .

Con posterioridad, la teoría de los ANs se nutrió de los trabajos de Hawking, Ellis y Penrose de los años 70 que demostraron varios teoremas importantes sobre la ocurrencia y geometría de los ANs [18].

Como la presencia de campos magnéticos intensos es relevante en los objetos compactos, su inclusión en las Ecuaciones de Estado (EE) se convierte en un importante tema a tener en cuenta para explicar las observaciones, además de considerar que tenemos un sistema en presencia de gravedad.

El gas magnetizado de electrones, neutrones y quarks ha sido estudiado previamente en las Ref. [19, 20, 21].

Entre muchos resultados, el más importante es que se descubre una anisotropía entre las presiones paralela y perpendicular al campo magnético, siendo la presión paralela ($p_{\parallel} > p_{\perp}$) mayor. En el caso extremo de campos magnéticos muy intensos ($B = 10^{10}T$) la presión p_{\parallel} puede hacerse cero y entonces el sistema tiende a colapsar anisotrópicamente. Esto trae como consecuencia una lógica conclusión cualitativa sobre la forma que va a tener dicho sistema: él deberá tomar la forma de un objeto alargado en la dirección del campo magnético y a medida que este campo sea más intenso pues más alargado se hará el objeto.

Es importante señalar que los estudios citados anteriormente se realizaron sin incluir el efecto de la gravedad. Ahora, si queremos describir sistemas con alta densidad de materia, los cuales puedan producir su propia gravedad (sistemas auto-gravitantes) en una proporción tan elevada, que no podamos ignorar su efecto, entonces podríamos referirnos a la posibilidad de que este sistema pueda describir un objeto estelar. Debido a que los sistemas con este tipo de anisotropía, en general no son estables en el universo, entonces un objeto de este tipo debe colapsar [22] o realizar una transición a un estado estable [23].

Incluir la presencia de gravedad, ahora nos permite obtener información sobre el papel que ella juega cuando aparecen estos tipos de anisotropías en las presiones, esta es una de las principales motivaciones de este trabajo y nos orienta a responder las siguientes preguntas:

- ¿Aparecerá o no el colapso cuando la gravedad esta presente en un sistema magnetizado de Fermi?
- En caso que colapsaran, ¿Como sería el tipo de singularidad que aparecería en estos sistemas?
- ¿Cómo es en general la dinámica de un gas magnetizado de Fermi autogravitante?

Con el propósito de responder estas interrogantes, el primer objetivo de esta tesis está dirigido a estudiar una fuente de materia densa y magnetizada de fermiones (electrones y neutrones), y con el uso de una métrica no estacionaria obtener la evolución en el tiempo del sistema.

Escogeremos un espacio-tiempo Bianchi I que ha sido utilizado con éxito para la descripción de modelos cosmológicos [24]. Esta vez sin embargo estudiaremos un escenario

astrofísico, consideraremos un gas degenerado de fermiones, es decir, la temperatura se toma igual a cero. La utilidad de estos espacio-tiempos se debe a que nos permiten tomar en cuenta las anisotropías debidas al campo magnético. Una extensión de este formalismo que tome en cuenta la temperatura podría describir una situación cosmológica [25].

Por supuesto la formulación de un modelo para una estrella EB o una ENs magnetizada requiere del uso de una métrica más complicada, que se traduce en un problema numérico más engorroso. Nuestro modelo aunque no muy realista puede dar información cualitativa muy interesante sobre los procesos dinámicos que ocurren en el núcleo de tales objetos astrofísicos, en particular para una EB o una ENs. Tal estudio cualitativo podría dar luz para entender estos sistemas tan complejos.

Por otro lado a pesar de la descripción clásica de los ANs y sus “pelos” o características principales derivadas de la descripción de su M , Q , J (Masa, Carga y Momento Angular de Rotación) [26, 27], descripciones de estos entes a partir de modernas teorías de cuerdas, le atribuyen situaciones intermedias, donde otras magnitudes pueden ser consideradas, como por ejemplo campos escalares, o cargas magnéticas. Por otra parte, el estudio de la entropía y la pérdida de información de los ANs es un tema abierto. Ha sido probado teóricamente que la entropía de un AN es proporcional al área de la garganta del AN, lo cual ha mantenido a los Cosmólogos y Físicos Teóricos a la expectativa y en busca de nuevas interpretaciones.

A pesar de que los objetos astrofísicos deben de ser neutros eléctricamente existen soluciones matemáticas que caracterizan a los ANs como objetos cargados eléctricamente. Son soluciones conocidas por el nombre de Reissner-Nordstrom (RN) y tiene el límite extremal cuando la masa se iguala a la carga eléctrica. La conjetura de Penrose objeta a todo AN con carga eléctrica mayor que la masa, ya que significaría una densidad de energía negativa y por lo que conocemos, la densidad de energía de todo sistema físico conocido siempre es positiva.

La teoría de cuerdas surgida con la pretensión de unificar las interacciones fundamentales de la naturaleza, ha contribuido a que se desarrollen numerosas técnicas que con éxito logran ser aplicadas a otras áreas de la Física. Uno de los éxitos mayores lo ha logrado con la gravitación. En particular el método de Sen o formalismo entrópico, fue diseñado originalmente como mecanismo entrópico en teorías de Supergravedad [28, 29] y extendido con éxito al estudio de la entropía de ANs con diferentes topologías. Este formalismo simplifica los procedimientos de cálculo de entropía conocidos.

Por tanto el segundo objetivo de esta tesis será entonces utilizar este mecanismo de Sen para estudiar ANs con constante cosmológica y campo electromagnético en cuatro y cinco dimensiones teniendo en cuenta los invariantes de Riemann como conjunto completo introducido por Carminati-McLenagha [30, 31].

Esta tesis consta de dos partes que se asocian con los dos objetivos que nos hemos propuesto con este trabajo. La primera parte aborda el estudio de las fuentes magnetizadas autogravitantes de electrones y neutrones. En la segunda parte nos centramos en el cálculo de la entropía de ANs estudiada a partir del método de Sen.

Aquí se estudian ANs en cuatro y cinco dimensiones que tienen campo electromagnético y constante cosmológica. Este tipo de objeto tiene un interés fundamental en la Física de

Partículas donde algunas teorías de campo predicen la aparición de soluciones de este tipo debido a que la curvatura se modifica por la energía y no por la masa del objeto. De igual manera conocer estas soluciones, podría ser interesante para la Cosmología y la Astrofísica.

La primera parte de las tesis consta de 4 capítulos. El primero es introductorio y los capítulos 2,3,4, contienen la contribución original del autor a esta temática.

En el capítulo introductorio describimos las ecuaciones de la TGR, dos de sus soluciones exactas, se explica que son las singularidades y la dinámica de un fluido covariante.

El segundo capítulo se dedica a estudiar el gas de electrones magnetizado y degenerado autogravitante, se escriben las ecuaciones de estado, se estudia la dinámica y se discuten los resultados numéricos obtenidos.

El tercer capítulo se dedica a estudiar el gas de neutrones magnetizado y degenerado autogravitante, se escriben las ecuaciones de estado, se estudia la dinámica y se discuten los resultados numéricos obtenidos.

El cuarto capítulo se dedica a estudiar cualitativamente las condiciones que frenarían el colapso. Esto se hace perturbando el espacio-tiempo Bianchi I y analizando la ecuación de Raychaudhuri [27].

La segunda parte de la tesis se divide en dos capítulos. El primero es introductorio y en él se exponen los resultados de la entropía de ANs a partir de la TGR y se explica el mecanismo de Sen. El segundo capítulo contiene el aporte original del autor a esta temática. O sea, la aplicación del mecanismo de Sen al estudio de la entropía de ANs, obteniendo soluciones en 4 y 5 dimensiones teniendo en cuenta el conjunto de invariantes de Riemann. Se discuten además los resultados obtenidos.

Finalmente nos dedicamos a enumerar las conclusiones de la tesis y las perspectivas del trabajo futuro.

Part I

GASES AUTO-GRAVITANTES MAGNETIZADOS

1. RELATIVIDAD GENERAL

1.1 Fuentes de campo en Relatividad Especial

En esta sección obtenemos en forma heurística las ecuaciones de Einstein, las cuales son las ecuaciones de campo de la TGR. Como punto de partida consideramos la Teoría de Relatividad Especial (TRE), la cual se basa en suponer un espacio-tiempo pseudo-euclideo de 4-dimensiones de Minkowski, cuya métrica en coordenadas cartesianas $x^a = (x, y, z, t)$ es,

$$ds^2 = \eta_{ab} dx^a dx^b = -dt^2 + dx^2 + dy^2 + dz^2, \quad (1.1)$$

donde $\eta_{ab} = \text{diag}[-1, 1, 1, 1]$. Las transformaciones de Lorentz, representadas por las matrices de Lorentz Λ^a_b , describen las transformaciones de coordenadas entre sistemas de referencia inerciales x^a y \tilde{x}^b arbitrarios en el espacio de Minkowski. La forma explícita de dichas transformaciones es,

$$x^a = \Lambda^a_b \tilde{x}^b, \quad \tilde{x}^a = \tilde{\Lambda}^a_b x^b, \quad (1.2)$$

donde las matrices satisfacen $\Lambda^a_b \tilde{\Lambda}^b_c = \delta^a_c$. Las transformaciones de Lorentz describen rotaciones arbitrarias (ver forma explícita en pág 67 de [26]). Toda teoría física debe ser invariante bajo transformaciones de Lorentz al menos en una región local del espacio-tiempo. Esta invariancia asegura el cumplimiento de las leyes de conservación locales (de la energía, momento, etc) que debe cumplir toda teoría física en sistemas de referencia inerciales arbitrarios. Las transformaciones de Lorentz entre dos sistemas de referencia para la 4-velocidad u^a , el 4-momento p^a y el tensor de Maxwell F^{ab} se expresan en términos de estas matrices de la forma,

$$u^a = \Lambda^a_b \tilde{u}^b, \quad p^a = \Lambda^a_b \tilde{p}^b, \quad F^{ab} = \Lambda^a_c \Lambda^b_d \tilde{F}^{cd}. \quad (1.3)$$

El tensor de energía-momento T^{ab} , es un mapeo bilineal simétrico que se transforma como un tensor de segundo orden,

$$T^{ab} = \Lambda^a_c \Lambda^b_d \tilde{T}^{cd}. \quad (1.4)$$

Este tensor cuantifica el flujo local de 4-momento p^a de una fuente dada sobre superficies $x^b = \text{constante}$, y por lo tanto proporciona toda la información dinámica sobre las fuentes, las cuales pueden ser partículas masivas, neutrinos, fotones, de ondas electromagnéticas, etc. Dada una clase arbitraria de observadores caracterizados por un campo vectorial de 4-velocidad u^a , la forma matemática más general de T^{ab} es (ver pág 7, [32]),

$$T_{ab} = \rho u_a u_b + p h_{ab} + 2 q_{(a} u_{b)} + \pi_{ab}, \quad (1.5)$$

donde $h_{ab} = g_{ab} + u_a u_b$ es el tensor de proyección ortogonal a la hipersuperficie ortogonal a u^a .

Como toda fuente de campo puede ser matemáticamente reducida a la forma (1.5), se utiliza el concepto formal de “fluido” para describir genéricamente a las fuentes. Las componentes de T^{ab} en el marco de referencia dado por u^a proporcionan las cantidades dinámicas del fluido (para cualquier fuente) que los observadores asociados a esta 4-velocidad detectan,

- $\rho = T_{ab}u^a u^b$, es la densidad de energía del sistema.
- $p = T_{ab}h^{ab}/3$ es, la presión isotrópica del sistema.
- $q_a = -h_a^b T_{bc}u^c$ es el flujo de energía en la dirección x^a . Este tensor es ortogonal a la 4-velocidad: $q_a u^a = 0$.
- $\pi_{ab} = h_{(a}^c h_{b)}^d T_{cd}$ ³ describe la presión anisotrópica y es también ortogonal a la 4-velocidad: $\pi_{ab}u^a = 0$.

Un caso particular importante es el llamado “fluido perfecto”, el cual se obtiene de (1.5) cuando q_a y π_{ab} se anulan. Dada una fuente cualquiera caracterizada por un tensor de energía-momento T^{ab} , las ecuaciones de conservación,

$$T^{ab}_{,b} = 0, \quad (1.6)$$

contienen información dinámica importante. Por ejemplo, proyectando (1.6) en dirección paralela y ortogonal a u^a obtenemos,

$$\text{Ecuación de Euler:} \quad u_a T^{ab}_{,b} = 0, \quad (1.7)$$

$$\text{Ecuaciones de Navier-Stokes:} \quad h_{ab} T^{bc}_{,c} = 0. \quad (1.8)$$

Para el caso del campo electromagnético el tensor energía-momento tiene la forma (ver pág 89, [26]),

$$T^{ab} = \frac{1}{4\pi}(F^{ac}F_c^b - \frac{1}{4}\eta^{ab}F_{ik}F^{ik}), \quad (1.9)$$

y es también reducible a la forma (1.5). Las ecuaciones de Maxwell se obtienen aplicando la ley de conservación (1.6) a (1.9),

$$J^a = F^{ab}_{,b}, \quad (1.10)$$

$$F_{ab,c} + F_{bc,a} + F_{ca,b} = 0, \quad (1.11)$$

donde el símbolo $_{,a}$ indica derivación parcial con respecto a x^a . La conservación de la carga viene dada por la proyección (1.7) que conduce a (1.9), a la forma de la ecuación de continuidad $J^a_{,a} = 0$, donde $J^a = (\rho, \vec{J})$ es el 4-vector de la corriente electromagnética (con $\rho = u_a J^a$ la densidad de carga y \vec{J} la corriente de carga).

1.2 Sistemas de referencia no-inerciales

Los sistemas de referencia no-inerciales corresponden a clases de observadores acelerados (por ejemplo, sujetos a rotación). Las líneas de universo de dichos observadores (desde un marco inercial) son curvilíneas, por lo que pueden ser utilizadas para definir un sistema de coordenadas curvilíneas relacionado con las coordenadas cartesianas mediante la transformación general de coordenadas,

$$y^{a'} = y^{a'}(x^b), \quad (1.12)$$

³Los símbolos de corchetes angulares $\langle \rangle$ indican simetrización, traza nula y proyección ortogonal mediante h_{ab} para el par de índices correspondiente. Además los paréntesis en (1.5) indican simetría.

de modo que un campo vectorial V^a se transforma como,

$$V^a = J^a{}_{b'} V^{b'}, \quad (1.13)$$

donde,

$$J^a{}_{b'} \equiv \frac{\partial x^a}{\partial y^{b'}}, \quad (1.14)$$

es la matriz jacobiana de la transformación de coordenadas. Es importante notar que $J^a{}_{b'}$ generaliza las matrices de Lorentz $\Lambda^a{}_b$ a coordenadas generales, de modo que la transformación (1.13) se reduce a las formas (1.3) cuando involucra a dos sistemas de referencia inerciales. La métrica del espacio-tiempo de Minkowski en las coordenadas $y^{a'}$ se obtiene, a partir de la forma estándar (1.1), mediante la transformación de un tensor de segundo orden,

$$g_{a'b'} = J_{a'}{}^c J_{b'}{}^d \eta_{cd}, \quad (1.15)$$

donde $J_{a'}{}^c$ es la matriz inversa de $J_c{}^{a'}$. Nótese que las componentes de la métrica $g_{a'b'}$ son, en general, funciones de las coordenadas curvilíneas $y^{c'}$. Es importante que las leyes de la física puedan ser expresadas también en forma covariante entre observadores no-inerciales, de modo que un 4-vector en un sistema de referencia sea también 4-vector en cualquier otro (y por ende, para tensores arbitrarios y escalares que surgen de sus contracciones).

Consideremos una partícula libre en el espacio de Minkowski con 4-velocidad $u^a = dx^a/d\tau$, donde τ es el tiempo propio. El 4-momento asociado a dicha partícula es,

$$p^a = m \gamma u^a = m \gamma (1, v^\mu), \quad (1.16)$$

donde $\mu = 1, 2, 3$, $\gamma = 1/\sqrt{1 - (v/c)^2}$, m es la masa en reposo y $v^2 = \delta_{\mu\nu} v^\mu v^\nu$ con $\delta_{\mu\nu} = \text{diag}[1, 1, 1]$. Es fácil mostrar que la 4-velocidad y el 4-momento de la partícula libre, desde sistemas de referencia no-inerciales, se transforman de acuerdo a la ley (1.13),

$$u^a = \frac{dx^a}{d\tau} = J^a{}_{b'} \frac{dy^{b'}}{d\tau} = J^a{}_{b'} u^{b'}. \quad (1.17)$$

Al tratarse de una partícula libre, su 4-aceleración debe ser nula, lo cual es evidente si consideramos el 4-momento (1.16) desde un sistema de referencia inercial en los que v^μ es un 3-vector constante,

$$\dot{p}^a = \frac{dp^a}{d\tau} = m \gamma \dot{u}^a = 0. \quad (1.18)$$

Es evidente que \dot{u}^a en (1.18) se transforma como 4-vector bajo transformaciones de Lorentz entre sistemas inerciales arbitrarios (al igual que u^a y p^a), de modo que si \dot{u}^a se anula en un sistema de referencia inercial, se deberá anular en todos. Sin embargo, la 4-aceleración no se transforma como un 4-vector entre sistemas de referencia no-inerciales, lo cual es evidente al derivar (1.17) con respecto a τ y comparar con (1.13),

$$\dot{u}^a = \frac{du^a}{d\tau} = u^a{}_{,b} u^b = J^a{}_{b',c'} \frac{dy^{b'}}{d\tau} \frac{dy^{c'}}{d\tau} + J^a{}_{b'} \frac{du^{b'}}{d\tau} = J^a{}_{b',c'} u^{b'} u^{c'} + J^a{}_{b'} \dot{u}^{b'}. \quad (1.19)$$

Este hecho es sumamente importante, ya que se espera que una partícula libre carezca de aceleración (ya que no está sujeta a interacción alguna). Por lo tanto, para poder

generalizar la invariancia de Lorentz en forma adecuada a sistemas de referencia arbitrarios (por ejemplo, no-inerciales), debemos introducir un operador diferencial que generalice a la derivada parcial ordinaria, de modo que obtengamos una definición alterna de aceleración que se transforme como (1.13). Dicho operador es la llamada “derivada covariante”, la cual denotamos con el símbolo ; (punto y coma). La derivada covariante de un 4-vector V^a toma la forma,

$$V^a{}_{;b} = V^a{}_{,b} + \Gamma^a{}_{bc} V^c, \quad (1.20)$$

donde $\Gamma^a{}_{bc}$ son los símbolos de Christoffel,

$$\Gamma^a{}_{bc} = \frac{1}{2} g^{ad} (g_{bd,c} + g_{cd,b} - g_{bc,d}), \quad (1.21)$$

y g_{ab} es la métrica (1.15) asociada a las coordenadas curvilíneas $y^{a'}$. Los símbolos de Christoffel no se transforman como tensores. Nótese que la derivada covariante se reduce a la derivada ordinaria cuando consideramos sistemas inerciales, ya que que estos sistemas están asociados a la métrica estándar de Minkowski (1.1) en la que las derivadas de los componentes son cero y por tanto $\Gamma^a{}_{bc} = 0$.

Tomando en cuenta (1.20), es natural generalizar la 4-aceleración dada en (1.19) por,

$$\dot{u}^a = u^a{}_{;b} u^b = (u^a{}_{,b} + \Gamma^a{}_{bc} u^c) u^b, \quad (1.22)$$

la cual podemos demostrar fácilmente (aunque es algebraicamente engorroso) que se transforma como (1.13).

Por lo tanto, con la nueva definición (1.22) podemos categorizar a una partícula libre por $\dot{u}^a = 0$ en sistemas de referencia arbitrarios. Como consecuencia de este hecho, la derivada covariante $V^a{}_{;b}$ se transforma como un tensor de segundo orden,

$$V^a{}_{;b} = J^a{}_{c'} J^{d'}{}_{b} V^{c'}{}_{;d'}, \quad (1.23)$$

lo cual es sumamente relevante, ya que las leyes de la física se expresan mediante tensores y derivadas de estos.

Esto generaliza la invariancia de Lorentz a sistemas de referencia no-inerciales, simplemente sustituyendo en las ecuaciones tensoriales la derivada parcial ordinaria por la derivada covariante: *coma* pasa a ser *punto y coma*. Es importante enfatizar que hemos introducido el uso de coordenadas curvilíneas (1.12) para describir observadores acelerados (no-inerciales) en el espacio-tiempo pseudo-euclideo de Minkowski. Es necesario recalcar que las coordenadas curvilíneas no implican que el espacio-tiempo es curvo, ya que siempre es posible encontrar una transformación de coordenadas que reduzca la métrica (1.15) a la forma estándar de Minkowski (1.1).

Una vez asumida la validez de la invariancia de Lorentz, contenida en la TRE, se pensaba hacia principios del siglo XX que el espacio de Minkowski era el escenario natural para formular las ecuaciones de campo de toda teoría física (ya sea en sistemas de referencia inerciales o no-inerciales). Como ejemplo importante, se consideró dentro de este esquema a la Teoría Electromagnética, cuyas ecuaciones de campo (Maxwell) toman la siguiente forma en un sistema de referencia arbitrario,

$$J^a = F^{ab}{}_{;b}, \quad F_{ab;c} + F_{bc;a} + F_{ca;b} = 0. \quad (1.24)$$

El siguiente paso sería elaborar una teoría de gravitación en el espacio-tiempo de Minkowski, que generalizara la teoría newtoniana y que cumpliera con la invariancia de Lorentz. Sin embargo, los esfuerzos de Einstein por elaborar dicha teoría fracasaron (ver capítulo 7, [26]).

1.3 Teoría de la Relatividad General

Es evidente que un campo gravitacional local puede ser emulado o “cancelado” mediante observadores no-inerciales (como, por ejemplo, un ascensor en caída libre). Sin embargo, existen serias dificultades para la descripción no-local de campos gravitacionales mediante los sistemas de coordenadas curvilíneas asociados a observadores no-inerciales. A modo de ejemplo, podemos citar el caso de movimientos acelerados en trayectorias hiperbólicas (ver pág 166, [26]), donde se puede demostrar que en general existe una ruptura de la comunicación entre los observadores fundamentales para distancias mayores que el inverso de la aceleración (ver pág 170, [26]).

Dadas las inconsistencias en el intento de incorporar la gravedad en el marco teórico de la TRE (espacio-tiempo pseudo-euclideo de Minkowski), Einstein planteó lo que será considerado como una de las propuestas teóricas más innovadoras y revolucionarias en la historia de la ciencia: *La gravitación es la manifestación dinámica de la curvatura del espacio-tiempo*. Esta sugerencia no invalida a la TRE, ya que todo espacio curvo es localmente plano, por lo que el espacio-tiempo curvo en el cual se manifiesta la gravedad se reduce localmente al espacio pseudo-euclideo (sin gravedad) de la TRE. Esta propiedad es consistente con el poder “anular” localmente a todo campo gravitacional mediante observadores no inerciales. De hecho, Einstein llamó a esta propiedad el “Principio de Equivalencia”, según el cual, la dinámica de todo sistema, a escala local, puede ser descrita en ausencia de gravedad por interacciones que suceden en el espacio-tiempo de Minkowski y entre observadores inerciales.

Bajo este esquema, la gravedad a nivel local se manifiesta (y es equivalente) a aceleraciones detectadas por observadores no-inerciales. Sin embargo, en escalas más extensas es imposible ignorar la gravedad (curvatura del espacio-tiempo), la cual necesariamente influye en las ecuaciones de campo de toda teoría al sustituir derivadas ordinarias por covariantes. Este hecho es muy relevante, ya que diversos campos que aparentemente no “producen” gravedad (como el campo electromagnético) son efectivamente fuentes de curvatura del espacio-tiempo, y por lo tanto, fuentes de gravitación.

La nueva teoría de la gravitación basada en asumirla como una manifestación de la curvatura del espacio-tiempo es conocida como la “Teoría General de la Relatividad” (TGR). Existen muchas evidencias experimentales que han validado a la TGR: las trayectorias curvas de los rayos de luz, el corrimiento hacia el rojo de un fotón bajo la influencia del campo gravitatorio, la precesión en la órbita de Mercurio, etc [26]. Todos estos efectos son predicciones de la TGR, y son imposibles de predecir o justificar a partir de la TRE.

En base a los razonamientos anteriores, y tomando en cuenta que todo flujo de materia-energía es una fuente de curvatura del espacio-tiempo, las ecuaciones de campo de la TGR deben tener como fuente al tensor de energía-momento T^{ab} , el cual es un tensor de segundo orden. Por lo tanto, la curvatura del espacio-tiempo que será asociada a estos flujos de

materia-energía debe ser expresada por un tensor de curvatura que sea del mismo orden. Si llamamos G^{ab} a este tensor, podemos proponer las siguientes ecuaciones de campo,

$$G^{ab} = \kappa T^{ab}, \quad (1.25)$$

donde κ es una constante de acoplamiento que será derivada más adelante. El tensor G^{ab} debe cumplir con las siguientes propiedades:

- Debe estar relacionado mediante contracciones con el tensor de Riemannian, $R^a{}_{bcd}$, el cual es el tensor fundamental de curvatura.
- Debe ser una combinación lineal del tensor de Ricci (que resulta de contraer el tensor de Riemann) y de la métrica g_{ab} .
- Debe satisfacer la condición de conservación $G^{ab}{}_{;b} = 0$, ya que esta condición es satisfecha por T^{ab} .

Es fácil demostrar que el tensor G_{ab} que cumple con estas propiedades es llamado tensor de Einstein, el cual tiene la forma,

$$G_{ab} = R_{ab} - \frac{1}{2}g_{ab}R + \Lambda g_{ab}, \quad (1.26)$$

donde Λ es la constante cosmológica y la constante de acoplamiento toma la forma $\kappa = 8\pi G/c^4$, la cual se obtiene recurriendo al límite clásico newtoniano al asumir que las velocidades asociadas a los flujos de materia-energía son mucho menores que la de la luz. Las ecuaciones de campo (1.25) con G^{ab} dado por el tensor de Einstein (1.26) son conocidas como “Ecuaciones de Einstein”, y son las ecuaciones de campo de la TGR.

Los tensores que aparecen en las ecuaciones de Einstein son simétricos, de modo que en 4 dimensiones tienen 10 componentes independientes. Dada la libertad de elección de las cuatro coordenadas del espacio-tiempo, las ecuaciones independientes se reducen a 6. Las ecuaciones de Einstein son un sistema de ecuaciones diferenciales parciales no-lineales de alta complejidad, por lo que es difícil encontrar soluciones exactas de ellas.

SOLUCIONES EXACTAS

En las siguientes secciones presentamos dos clases de soluciones exactas de las ecuaciones de Einstein. Asimismo, se discute el concepto de *singularidad de curvatura*, y se derivan los parámetros cinemáticos que describen localmente la evolución de elementos de un fluido arbitrario.

1.4 Solución de Schwarzschild

La solución de Schwarzschild fue la primera solución exacta de las ecuaciones de Einstein (1.25). Esta es una solución de vacío ($T^{ab} = 0$) que asume simetría esférica, por lo que es adecuada para describir el exterior de un objeto esférico. Es posible demostrar que dicha solución es además estática (existen coordenadas en que la métrica no depende del tiempo)

y única (Teorema de Birkhoff). La solución de Schwarzschild en su máxima extensión analítica permite describir un AN esférico (por lo tanto, sin momento angular) y sin carga eléctrica.

Suponiendo coordenadas esféricas $x^a = (t, r, \theta, \phi)$, la métrica de Schwarzschild tiene la forma,

$$\mu, \tau = \frac{1}{\Gamma_{U, \mu}} \left[(2\mathcal{H} - S_3)(\Gamma_M - 2\Gamma_{U, \beta})\beta - 3\mathcal{H}(\Gamma_P + \Gamma_U) \right], \quad (1.27)$$

$$S_{3, \tau} = 2\beta\Gamma_M - 3S_3\mathcal{H}, \quad (1.28)$$

$$\mathcal{H}, \tau = \beta\Gamma_M + \frac{3}{2}(\Gamma_U - \Gamma_P) - 3\mathcal{H}^2, \quad (1.29)$$

$$\beta, \tau = 2\beta(S_3 - 2\mathcal{H}), \quad (1.30)$$

$$ds^2 = - \left(1 - \frac{2M}{r} \right) dt^2 + \frac{dr^2}{(1 - 2M/r)} + r^2 (d\theta^2 + \sin^2 \theta d\phi^2), \quad (1.31)$$

donde M es la masa del objeto esférico en unidades de longitud (ya que suponemos $G/c^2 = 1$). Nótese que a distancias lejanas de la fuente ($r \gg M$) la métrica (1.31) tiende al espacio plano de Minkowski (métrica (1.1)).

Es evidente que la métrica de Schwarzschild (1.31) se torna problemática cuando $r \rightarrow 2M$, ya que $g_{tt} \rightarrow 0$ y $g_{rr} \rightarrow \infty$. Como M es una longitud, se le llama el “radio de Schwarzschild”.⁴ Sin embargo, es fácil mostrar que el comportamiento problemático de (1.31) no corresponde a condiciones físicas singulares, ya que todos los escalares de curvatura son finitos en $r = 2M$, como por ejemplo,

$$I = R_{abcd} R^{abcd} = \frac{48 M^2}{r^6}. \quad (1.32)$$

Además, toda clase de observadores en caída libre alcanzan el valor $r = 2M$, y llegan a $r = 0$ en un tiempo propio finito. El problema con $r = 2M$ se debe a que las coordenadas (t, r) no son adecuadas para la descripción de regiones del espacio-tiempo cercanas a este radio. Debido a que la métrica (1.31) no es válida para $r \leq 2M$, esta no da una descripción completa del espacio-tiempo. Podríamos omitir por el momento el valor problemático $r = 2M$ y extender estas coordenadas al rango $0 < r < 2M$, de modo que la métrica completa es (1.31) para $r > 2M$ y para $0 < r < 2M$ tomar la forma,

$$ds^2 = - \frac{dr^2}{(2M/r - 1)} + \left(\frac{2M}{r} - 1 \right) dt^2 + r^2 (d\theta^2 + \sin^2 \theta d\phi^2), \quad 0 < r < 2M, \quad (1.33)$$

con lo que el carácter causal de (t, r) se invierte: para $r > 2M$, la coordenada t es de tipo tiempo y r de tipo espacio, con lo cual todo observador puede seguir una línea de universo dada por $r = \text{constante}$, $t = \text{arbitrario}$ (observador estático). Sin embargo, para $0 < r < 2M$, r pasa a ser una coordenada tipo tiempo, por lo que ningún observador puede seguir la línea de universo $r = \text{constante}$ (la cual queda fuera del cono de luz). En otras

⁴El radio de Schwarzschild corresponde al radio que debería tener un objeto esférico para que la velocidad de escape (newtoniana) fuera igual a la de la luz.

palabras, para un observador en esta región r debe disminuir hasta $r = 0$. Evidentemente, el radio de Schwarzschild marca este cambio en la causalidad de r y t .

Debido a que la extensión de las coordenadas discutida en el párrafo anterior es singular (matemáticamente hablando) en $r = 2M$, se utilizan otras coordenadas para entender el comportamiento del espacio-tiempo alrededor de este valor. Por ejemplo, Kruskal y Szekeres propusieron el sistema de coordenadas dado por las relaciones $(t, r, \theta, \phi) \rightarrow (T, R, \theta, \phi)$ dadas por,

$$\left(\frac{r}{2M} - 1\right) \exp\left(\frac{r}{2M}\right) = R^2 - T^2, \quad (1.34)$$

$$\left(\frac{ct}{2M}\right) = \ln\left(\frac{T+R}{R-T}\right) = 2 \tanh^{-1}(T/R), \quad (1.35)$$

las cuales transforman la métrica (1.31) a la conocida forma de Kruskal-Szekeres,

$$ds^2 = \frac{4(2M)^3}{r} \exp\left(\frac{r}{2M}\right) (-dT^2 + dR^2) + r^2 (d\theta^2 + \sin^2 \theta d\phi^2), \quad (1.36)$$

donde ahora $r = r(T, R)$ se debe obtener de la solución del sistema de ecuaciones (1.34) y (1.35).

En esta forma de la métrica, las coordenadas (T, R) están bien definidas para todo valor real. Las geodésicas nulas son líneas rectas a ± 45 grados de inclinación, por lo que podemos examinar la estructura causal de este espacio-tiempo. Inmediatamente podemos identificar cuatro regiones de interés,

- Región I o región exterior de la solución de Schwarzschild, caracterizada por $R > |T|$; que corresponde a la métrica original (1.31), y que describe al campo gravitatorio externo (vacío) de un objeto esférico. Véase en el diagrama del Apéndice B, Figura 6.
- Región II o región de AN de la solución de Schwarzschild, caracterizada por $\sqrt{1 + R^2} > T > |R|$. La dirección de las curvas $r = \text{constante}$ son ahora tipo tiempo, por lo que todo observador dentro del cono de luz debe evolucionar hacia $r = 0$. A esta región se le denomina “Agujero Negro” (AN), ya que los observadores dentro de ella no pueden transmitir causalmente información alguna a observadores en la región I (sus señales luminosas no llegan a $r > 2M$).
- Región III o región de Agujero Blanco de la solución de Schwarzschild, caracterizada por $-\sqrt{1 + R^2} < T < -|R|$. Es análoga a la región II, excepto que la dirección causal es hacia r creciente (desde $r = 0$ hasta $r = 2M$). Observadores en esta región no pueden ser influenciados por los de las demás regiones, pero ellos pueden afectar causalmente a estas.
- Región IV o región exterior paralela, caracterizada por $R < -|T|$. Esta región es idéntica a la región I, pero está desconectada causalmente.

El valor $r = 2M$ corresponde a una 2-esfera generada por segmentos de geodésicas nulas (véase diagramas del Apéndice B), y se le denomina “horizonte de Schwarzschild”,

ya que encierra a la región I (el AN). Como ya se comentó, el espacio-tiempo es regular en $r = 2M$, sin embargo, los escalares de curvatura, como por ejemplo (1.32), divergen en el límite $r \rightarrow 0$, lo cual se puede asociar a fuerzas de marea colosales que destruirían a todo objeto físico.⁵ Como los escalares de curvatura divergen, no es posible extender el espacio-tiempo a $r = 0$, por lo que toda curva causal (geodésica temporal o nula) debe terminar en $r = 0$.

El valor $r = 0$ corresponde entonces a una *singularidad de curvatura*, la cual puede ser definida como un conjunto de valores de las coordenadas $x^a = C^a$, tales que todos los escalares del tipo (1.32) divergen conforme $x^a \rightarrow C^a$ a lo largo de las geodésicas causales en valores finitos del parámetro afín de dichas curvas. Bajo este criterio, la solución de Schwarzschild en su máxima extensión analítica tiene una singularidad de curvatura en $r = 0$.

1.5 Solución de FLRW

Al asumir la validez del *Principio Cosmológico*⁶, la geometría del espacio-tiempo viene a ser descrita por la métrica de Robertson-Walker (RW),

$$ds^2 = -dt^2 + \frac{R^2(t) [dr^2 + r^2 (d\theta^2 + \sin^2 \theta d\varphi^2)]}{(1 + \frac{k}{4}r^2)^2}, \quad (1.37)$$

donde $k = 0, \pm 1$ representa la 3-curvatura (cero, positiva o negativa) de las secciones espaciales $t = \text{constante}$.

Los espacio-tiempos asociados a esta métrica, para diferentes fuentes del campo, son los llamados modelos Friedman-Lemaître-Robertson-Walker (FLRW), los cuales son ampliamente utilizados en la Cosmología contemporánea⁷.

El tensor de energía-momento compatible con la métrica (1.37) en una representación comóvil⁸ es necesariamente de la forma del fluido perfecto,

$$T^a{}_b = \rho u^a u_b + p h^a{}_b = \text{diag}[-\rho(t), p(t), p(t), p(t)], \quad (1.38)$$

⁵Las fuerzas de marea se denominan en inglés “tidal forces”.

⁶El Principio Cosmológico es la hipótesis principal de la Cosmología moderna, la cual lleva a una interpretación teóricamente consistente a un número creciente de evidencias observacionales. El principio implica que el universo a escalas lo suficientemente grandes (del orden de cientos de megapársecs) es isotrópico y homogéneo. La isotropía exige que las cantidades observables sean independientes de la dirección de observación. El Principio Cosmológico sugiere que esta propiedad sea válida (a grandes escalas) para todo observador cósmico, lo cual implica a su vez la “homogeneidad”, o sea, que las variables físicas y geométricas sean independientes de la posición de los observadores, dependiendo solo del tiempo cósmico (el cual es el tiempo propio de estos). Estas propiedades solo son satisfechas por la métrica Robertson-Walker.

⁷Las iniciales FLRW corresponden a Friedman, Lemaître, Robertson y Walker, que son los físicos y matemáticos involucrados en el estudio de estos modelos. El físico ruso Alexander Friedman obtuvo entre 1922-1924 la primera solución de las ecuaciones de campo (para polvo) con la métrica RW. Esta solución fue generalizada extensamente en 1927, para diversas fuentes de campo y valores de la constante cosmológica, por el jesuita belga Georges Lemaître. Entre 1935 y 1936, los matemáticos inglés y norteamericano, Robertson y Walker, estudiaron las propiedades formales de la métrica RW, probando rigurosamente que esta representa a la única geometría del espacio-tiempo pseudo-riemanniano que satisface al Principio Cosmológico.

⁸En una representación comóvil, la 4-velocidad asociada a la métrica RW es $u^a = \delta^a{}_0$.

donde $\rho = u_a u_b T^{ab}$ y $p = (1/3)h_{ab}T^{ab}$ pueden ser identificados con la densidad de masa-energía total y la presión medidas por un observador comóvil (la métrica RW en esta representación no admite presiones anisotrópicas ni flujos de energía). Las ecuaciones de Einstein son,⁹

$$8\pi\rho = \frac{3(\dot{R}^2 + k)}{R^2} = -G^t{}_t, \quad (1.39)$$

$$8\pi p = -\frac{\dot{R}^2 + k}{R^2} - \frac{2\ddot{R}}{R} = G^r{}_r = G^\theta{}_\theta = G^\varphi{}_\varphi. \quad (1.40)$$

Las ecuaciones (1.39)–(1.40) pueden ser complementadas con la ley de conservación $u_a \nabla_b T^{ab} = 0$,

$$\dot{\rho} + 3(\rho + p)\frac{\dot{R}}{R} = 0, \quad (1.41)$$

la cual provee una condición de integrabilidad. Por tanto, tenemos dos ecuaciones efectivas (cualesquiera dos de las tres ecuaciones (1.39)–(1.41)) para tres incógnitas (ρ, p, R) , por lo que hace falta especificar un vínculo extra, o “ecuación de estado”, para obtener un sistema de ecuaciones determinado. La ecuación de estado no puede ser proporcionada por la TGR, sino que debe ser sugerida por consideraciones físicas concernientes a la fuente de materia. Es útil reescribir las ecuaciones (1.41) y (1.39) como,

$$\frac{d}{dt}(\rho R^3) + p \frac{d}{dt}(R^3) = 0, \quad (1.42)$$

$$\dot{R}^2 = \frac{8\pi}{3}\rho(R)R^2 - k. \quad (1.43)$$

Dada una relación entre p y ρ , podemos resolver (1.42) y obtener una relación funcional del tipo $\rho = \rho(R)$, con la cual la ecuación (1.43) se convierte en una ecuación de evolución efectiva, conocida como “ecuación de Friedmann” cuya integración será de la forma $R = R(t)$.

1.5.1 Fuentes de materia–energía

Una ecuación de estado de uso sumamente común es la ecuación barotrópica $p = p(\rho)$, y en particular la conocida “ley gamma” dada por $p = (\gamma - 1)\rho$, donde γ es una constante. Ciertos valores específicos de γ se pueden asociar a situaciones físicas, por ejemplo ($\gamma = 4/3$) modela radiación incoherente, ($\gamma = 1$) modela polvo (gas de presión nula). El caso $\gamma = 0$ modela la energía del vacío (constante cosmológica) y lleva a los modelos de de Sitter. Otros tipos de fuentes de materia, tales como campos escalares o cuerdas cósmicas, pueden ser acomodados en el tensor de energía-momento (1.38), aunque en estos casos la 4-velocidad solo tiene sentido formal. Diversas fuentes de materia son tratadas en el Apéndice C.

⁹Consideramos Λ , la constante cosmológica, como una forma adicional en la densidad de energía cumpliendo con el vínculo $p_\Lambda + \rho_\Lambda = 0$, lo que se conoce como “energía del vacío” o “vacío cuántico” y puede ser incorporado en las cantidades totales ρ y p reemplazando $\rho + \Lambda$ y $p - \Lambda$.

1.5.2 Singularidades de curvatura

De todas las relaciones tipo $\rho = \rho(R)$ obtenidas en los ejemplos del Apéndice C, es evidente que ρ diverge para cuando $R \rightarrow 0$ ¹⁰. Esto indica que los modelos FLRW, con las ecuaciones de estado consideradas, inician su evolución en una singularidad de curvatura escalar, marcada por $R = 0$, y caracterizada por la divergencia de todos los escalares construidos a partir del tensor de Riemann y de Ricci. Los modelos FLRW comienzan por este estado de singularidad y se caracterizan por estados de evolución primordiales a muy altas densidades y temperaturas (en los casos en que la temperatura pueda ser definida). Esta situación es conocida con el término inglés de “Hot Big Bang scenario” y la singularidad inicial es llamada singularidad de “Big Bang”. El factor de escala es una medida de las distancias locales relativas entre observadores fundamentales, de modo que si $R \rightarrow 0$ estas distancias empiezan a disminuir y terminan por anularse en el límite. Las líneas de universo de observadores fundamentales convergen y así se caracteriza el Big Bang como un punto cáustico.

1.6 Forma covariante de la dinámica de fluidos y colapso gravitacional

Podemos definir, para toda congruencia de observadores cósmicos asociados a un campo de 4-velocidades $u^a(x^b)$, parámetros covariantes que determinan el comportamiento cinemático de elementos de volumen de un fluido dados por las mismas líneas de universo de los observadores en las hipersuperficies 3-dimensionales espaciales y ortogonales a u^a . Dichos parámetros surgen de la descomposición irreducible y covariante de la derivada covariante,

$$u_{a;b} = \frac{\theta}{3}h_{ab} + \sigma_{ab} + \omega_{ab} - \dot{u}_a u_b, \quad (1.44)$$

donde,

- $\theta = u^a{}_{;a}$ es el escalar de expansión, el cual describe el cambio isotrópico del volumen de los elementos de fluido.
- $\dot{u}_a = u_{a;c}u^c$ es la 4-aceleración, la cual determina que tan diferente es la evolución de las líneas de universo de los observadores en caída libre, ya que en ésta última dichas líneas de universo serían geodésicas ($\dot{u}_a = 0$).
- $\sigma_{ab} = h^c{}_a h^d{}_b u_{(c;d)} - (\theta/3)h_{ab} + \dot{u}_a u_b$ es el tensor de deformaciones o cizalladura, el cual determina la deformación en las direcciones dadas por sus autovalores (sin cambio de volumen) de los elementos del fluido. La notación ${}_{(a;b)}$ indica simetrización sobre los índices a, b .
- $\omega_{ab} = h^c{}_a h^d{}_b u_{[c;d]}$ es el tensor de vorticidad, el cual determina la rotación de elementos del fluido (a volumen constante) en un eje definido por sus autovalores. La notación ${}_{[a;b]}$ indica anti-simetrización sobre los índices a, b .

¹⁰El único caso de fuente que logra escapar a este análisis, es el caso de energía del vacío, en donde la densidad de energía es igual a la constante $\rho^{(vacío)} = \Lambda/8\pi$.

Supondremos que la dinámica de los observadores cósmicos viene dada por las ecuaciones de Einstein $G^{ab} + \Lambda g^{ab} = 8\pi T^{ab}$,¹¹ donde Λ es la constante cosmológica y el tensor de energía–momento toma su forma más general posible dada por (1.5). Es posible demostrar que el tensor de Ricci R_{ab} asociado al espacio–tiempo de los observadores satisface la siguiente ecuación,

$$\dot{\Theta} + \frac{\Theta^2}{3} = -R_{ab} u^a u^b + h^b{}_a \dot{u}^a{}_{;b} + 2(\omega^2 - \sigma^2) + \dot{u}_a \dot{u}^a, \quad (1.45)$$

donde $\omega^2 \equiv (1/2)\omega_{ab}\omega^{ab}$ y $\sigma^2 \equiv (1/2)\sigma_{ab}\sigma^{ab}$. Si consideramos el tensor de energía–momento (1.5), y las ecuaciones de Einstein que implican la relación,

$$R_{ab} u^a u^b + \frac{1}{2} R^a{}_a = 8\pi T_{ab} u^a u^b = 8\pi \rho - \Lambda. \quad (1.46)$$

Dado que $-R^a{}_a = -T^a{}_a = \rho + 3p$, podemos transformar (1.45) en su forma conocida como “ecuación de Raychaudhuri”¹²,

$$\frac{\ddot{L}}{L} = -4\pi(\rho + 3p) + \Lambda + 2(\omega^2 - \sigma^2) + h^b{}_a \dot{u}^a{}_{;b} + \dot{u}_a \dot{u}^a, \quad (1.47)$$

donde hemos definido al factor de escala L como el escalar que satisface,

$$\frac{\dot{L}}{L} = \frac{\theta}{3}. \quad (1.48)$$

La ecuación de Raychaudhuri (1.47) ofrece una simple validación general de nuestras expectativas intuitivas de como el efecto dinámico de la gravitación como curvatura del espacio-tiempo (dado por $R_{ab}u^a u^b$) se traduce también en el efecto de una “fuerza atractiva” que se manifiesta por la aceleración \ddot{L}/L de las distancias características (L) entre dos elementos de fluido definidos por u^a .

- Los términos en (1.47) que favorecen el colapso para $\tau > \tau_0$ son $\rho + 3p > 0$ y la deformación σ^2 . Vale la pena remarcar que a la condición $\rho + 3p > 0$ se le denomina “condición de energía fuerte”, y es satisfecha por la mayoría de las fuentes de masa–energía conocidas.
- Los términos que en (1.47) que no favorecen (se oponen) al colapso para $\tau > \tau_0$ son $\rho + 3p < 0$ (violación de la condición de energía fuerte), vorticidad no nula ω^2 , 4–aceleración (líneas de universo que no son geodésicas) y una constante cosmológica Λ no nula y positiva.

El simple análisis cualitativo de la ecuación de Raychaudhuri que hemos hecho es la base de los llamados “teoremas de singularidad” (ver capítulo 9, [27]). En la práctica, los elementos de fluido, cuyos términos en (1.47) favorecen el colapso, necesariamente evolucionan en un tiempo propio, τ , finito hacia un estado singular caracterizado por

¹¹Aquí hemos tomado $\kappa = 8\pi G/c^4$, con $G/c^4 = 1$.

¹²Dicha ecuación fue descubierta independientemente por Amal Kumar Raychaudhuri y por Lev D Landau. Para ver demostración a partir de las geodésicas cercana revisar Apéndice D.

$\theta \rightarrow -\infty$ y volumen espacial nulo (colapso gravitacional). Debido a (1.45), los escalares de curvatura (así como la densidad y presión) tenderán a infinito para ese tiempo propio finito, lo cual define a una singularidad de curvatura.

En la TGR, existen muchas versiones de los teoremas de singularidad de Penrose-Hawking. Muchas versiones establecen que si existen superficies nulas atrapadas y la densidad de energía es no negativa, entonces allí existen geodésicas de longitud finita las cuales no pueden ser extendidas. Estos teoremas, estrictamente hablando, prueban que al menos una geodésica temporaloidea o nula puede ser finitamente extensible, solamente hacia el pasado, pero existen casos en los cuales las condiciones de estos teoremas se obtienen de tal forma que todos los caminos en el espacio-tiempos hacia el pasado terminan en una singularidad. Por otro lado la conjetura de Penrose asegura como única singularidad desnuda, la singularidad inicial de Big Bang al principio del origen de nuestro Universo, en otro caso se violarían las condiciones de energía para ciertos sistemas físicos. Si nos guiamos por esta conjetura, que no ha sido demostrada, entonces sólo nos queda pensar en singularidades de colapso donde la singularidad está escondida dentro del horizonte de eventos del sistema.

2. ESTUDIO DE UN GAS MAGNETIZADO Y AUTO-GRAVITANTE DE ELECTRONES

2.1 Introducción

Indiscutiblemente, los objetos compactos como lo son las EBs pueden ser interpretados como laboratorios astrofísicos donde la existencia de altas densidades y campos magnéticos fuertes plantean un reto para su estudio. En principio suponer que una sección de volumen de un objeto compacto se encuentre inmerso en un campo magnético fuerte no implica estar muy lejos de la realidad. Además, cuando decimos campos magnéticos fuertes nos referimos a campos muy superiores a los obtenidos en laboratorios terrestres. Es muy interesante estudiar dicho sistema, las líneas del campo magnético y su relación con la presencia de gravedad. El posible vínculo con las condiciones de colapso del sistema en general aumentaría la importancia de dicho estudio.

Por otra parte, gran cantidad de modelos ya sean teóricos, fenomenológicos y numéricos han sido propuestos para la descripción de estrellas EBs magnetizadas. Entre los modelos más simples (no magnetizados), está el modelo de Landau (ver [4, 33, 34]) que fija la masa en un límite finito para estos objetos. Generalmente un modelo consistente para aplicarlo sobre una estrella EB magnetizada debe requerir considerar códigos numéricos hidrodinámicos modelando las ecuaciones de Einstein–Maxwell con, al menos, condiciones de simétricas y de frontera.

Es conocido que la teoría de Einstein no produce ecuaciones de estado, por tanto dichas ecuaciones se deben importar desde otra teoría, por ejemplo, la estadística, la teoría de campo, o también pueden tener origen fenomenológico. En el caso especial de las EBs el caso más simple de ecuación de estado sería suponer un gas ideal de fermiones magnetizado y a temperatura cero, pues estas estrellas en su etapa final se enfrían. Por tanto, considerar un gas degenerado no resulta ser una mala aproximación.

Sin embargo, se puede obtener información importante sobre la dinámica local de un gas de Fermi magnetizado y auto-gravitante a partir de la evolución de esta fuente en un contexto mucho más simple de la geometría espacio-tiempo. Lidar con espacios-tiempo más realistas nos harían desembocar en sistemas de ecuaciones de compleja solución numérica. Por tanto, en este capítulo nos proponemos estudiar la dinámica de un gas magnetizado y auto-gravitante de electrones a temperatura cero. El presente capítulo generaliza el trabajo previo hecho en [22].

La ecuación de estado que consideramos para describir un volumen local de una estrella EB magnetizada es la obtenida en [35, 36, 37] y posteriormente es desarrollada para fuentes más diversas en [19, 20, 21, 38, 39]. En estos trabajos se discuten ecuaciones de estado para gases fuertemente magnetizados que contienen presiones anisótropas. En estos casos las presiones, p_{\parallel} paralela y p_{\perp} perpendicular al campo son diferentes. La presencia del campo magnético provoca estas anisotropías y la posibilidad de “colapso” se sugiere en la dirección perpendicular al campo. Estos resultados nos llevan a pensar en extender tales estudios al marco de la TGR para configuraciones magnetizadas, preguntándonos si se mantendrá dicho “colapso”, y si este podría dar paso a una singularidad tipo anisótropa a lo largo de la dirección del campo magnético. A este tipo de singularidades se les define como

singularidades tipo “línea” o “cigarro”, en contraste con las singularidades tipo “punto” de sistemas isótropos y altamente simétricos¹³.

En aras de investigar la dinámica local y el colapso de un gas magnetizado en el contexto de la TGR, nosotros consideramos una de las configuraciones compatibles con presiones anisótropas. O sea el espacio tiempo Bianchi-I el cual es descrito en términos de una métrica de Kasner.

El argumento más claro para usar la geometría Bianchi es que esta puede proveer una descripción simplificada de la dinámica local de un elemento de fluido de un gas magnetizado en una configuración realista, así este volumen desde el punto de vista termodinámico, intercambia partículas y energía con el resto del sistema. Entonces, podemos considerar a este volumen como parte de una distribución gran canónica asociada a todo el gas. Además, supondremos que el elemento se encuentra lejos de la frontera del sistema donde los efectos de frontera no influyan en la dinámica de dicho volumen. O sea, en el caso que sea un objeto compacto, dicho volumen se encontraría en el centro del sistema, o muy cerca del centro donde el campo magnético se puede suponer que se encuentra apuntando en una dirección preferencial. Evidentemente, un tratamiento como este es aproximado y no se puede asociar a la descripción del objeto compacto real donde el campo magnético varía con el radio y la aproximada geometría esférica del objeto también sería importante. No obstante este estudio tiene el valor de acercarnos al estudio dinámico de un volumen central elemental de dichos sistemas.

Una vez que tomamos el espacio-tiempo Bianchi-I con métrica Kasner como la métrica del campo asociado a un gas magnetizado, el sistema de ecuaciones de Einstein–Maxwell se reduce a un sistema autónomo de cuatro ecuaciones diferenciales. Este sistema representa un espacio de fase de cuatro dimensiones que puede ser estudiado tanto numéricamente como cualitativamente, usando las técnicas ya estandarizadas para sistemas dinámicos. Veremos que las magnitudes físicas que caracterizan el espacio de fase serán convenientemente adimensionalizadas. Ellas serán la componente independiente del tensor de deformaciones $S_{\mu\nu}$, el escalar de expansión \mathcal{H} , el campo magnético β y el potencial químico μ normalizados respectivamente. Todas las otras cantidades pueden ser expresadas en términos de estas cuatro cantidades básicas. El examen numérico del sistema aclara el tipo de singularidad de colapso que puede tener el volumen en dependencia de las condiciones iniciales.

Las ecuaciones de estado que usaremos aquí son estrictamente válidas para densidades del orden de (al menos) $10^{10} \text{ kg m}^{-3}$ y $10^{18} \text{ kg m}^{-3}$ esperadas para objetos compactos como las EBs y ENs. Un gas fuertemente magnetizado y altamente degenerado en una EN está en un estado muy cercano a la superfluidez con conductividad infinita (ver pág 291, [40]). En estas condiciones el papel de la viscosidad es menor, aunque uno podría considerar la posibilidad de disipación o fenómenos de transporte, tales como disipación de la energía rotacional en ondas electromagnéticas o gravitacionales (ver, [40, 41, 42]). Sin embargo, incluso si la viscosidad no es significativa (al menos para ENs), la razón más importante del por qué la despreciaremos (así como otros efectos disipativos) en nuestros estudios, es

¹³Ver definiciones de tipos de singularidad en [24].

por mantener la simplicidad del modelo. O sea, queremos mantener el problema tratable matemáticamente. Nosotros pensamos que el caso de equilibrio térmico es suficiente como primera aproximación para este modelo y dejamos el caso de fenómenos de transporte disipativo para trabajos futuros.

2.2 Ecuaciones de Estado de un gas magnetizado de electrones

Como ya hemos visto en la introducción, una de las más importantes propiedades de un sistema formado por un gas magnetizado de fermiones, es que exhibe una anisotropía en las presiones. Esta anisotropía puede ser directamente asociada con la cuantización de los niveles de energía por la presencia del campo. Clásicamente, el electrón orbita en el plano perpendicular al campo magnético formando círculos, con velocidad angular constante. Su movimiento pueden ser descompuesto en el movimiento de dos osciladores armónicos simples. Cuando este oscilador armónico simple es cuantizado, sus niveles de energía vienen dados por la expresión,

$$E(p_z, n, r) = \pm mc^2 [1 + (\frac{p_z}{mc})^2 + 2\beta(n + r - 1)]^{1/2}. \quad (2.1)$$

Este espectro de energía para los electrones se obtiene resolviendo la ecuación de Dirac en presencia de campo magnético constante en la dirección z . En (2.1) p_z , es el momento lineal en la dirección z , $\beta = \mathcal{B}/\mathcal{B}_c$ el cociente entre el campo magnético y el campo magnético crítico $\mathcal{B}_c = m^2 c^3 / e \hbar = 4.414 \times 10^9 T$. Los signos $+$ y $-$ se refieren a electrones y a positrones respectivamente, $r = 1, 2$ y $n = 0, 1, 2, \dots$, son los números cuánticos de spin y número cuántico principal de la órbita del electrón.

En el límite de n muy grande, el último sumando en la expresión de la energía corresponde con la suma de los cuadrados de los momentum lineales en las direcciones x y y , es decir,

$$2 \frac{\mathcal{B}}{\mathcal{B}_c} (n + r - 1) \longrightarrow (\frac{p_x}{mc})^2 + (\frac{p_y}{mc})^2, \quad (2.2)$$

el gas se transforma en un gas de Fermi ordinario. O sea, se puede definir el parámetro adimensional,

$$\delta = \frac{\langle p_z^2 \rangle}{2\beta(mc)^2}. \quad (2.3)$$

Así las propiedades magnéticas del gas son clásicas si $\delta \gg 1$ o cuánticas si $\delta \ll 1$. Los campos magnéticos de interés para el gas de electrones describiendo una EB, están en el rango de $10^4 T$ y pueden estar presentes durante procesos de colapso gravitatorio de objetos estelares.

Los gases magnetizados de Fermi no relativistas han sido estudiados extensivamente en el marco de la física estadística y sus propiedades más importantes están asociadas con el diamagnetismo de Landau y el paramagnetismo de Pauli.

En adición a esto veremos la forma que toman las ecuaciones de estado para el caso relativista. El Gran Potencial Termodinámico Ω que se halla con la ecuación,

$$\Omega = kT \ln \mathcal{Z}, \quad (2.4)$$

donde k es la constante de Boltzman, T la temperatura, $\mathcal{Z} = Tr(\hat{\rho})$ es la función Gran Potencial Termodinámico, $\rho = e^{-(\hat{H}-\mu\hat{N})/kT}$, \hat{H} es el Hamiltoniano, μ es el potencial químico y \hat{N} es el operador del número de partículas.

El tensor de energía-momentum total, donde en la diagonal principal están las presiones y la densidad de energía, lo obtendremos haciendo la promediación macroscópica, $\mathcal{T}_{\mu\nu} = \langle \hat{\mathcal{T}}_{\mu\nu}^{(micro)} \rangle$ donde $\hat{\mathcal{T}}_{\mu\nu}^{(micro)} = (\partial\hat{\mathcal{L}}/\partial A_{\mu,\nu}^a) \hat{A}_{\mu,\nu}^a + (\partial\hat{\mathcal{L}}/\partial\Psi_{\mu,\nu}^a) \hat{\Psi}_{\mu,\nu}^a - \delta_{\mu\nu}\hat{\mathcal{L}}$, entonces para la función de partición $\Omega = -(kT)^{-1} \ln \langle e^{\int_0^\beta dx_4 \int d^3x \mathcal{L}(x_4, \vec{x})} \rangle$.¹⁴ El gas electrón-positrón es relevante en el contexto astrofísico, y el Gran Potencial Termodinámico Ω para el sector electrón-positrón tiene dos términos de la forma,

$$\Omega = \Omega_{se} + \Omega_{Ve}, \quad (2.5)$$

donde el primer término en el lado derecho, es la contribución estadística y el segundo la contribución del vacío [20]. Explícitamente, tenemos que en la aproximación de un lazo,

$$\Omega_{se} = -\frac{e\mathcal{B}}{4\pi^2\xi} \sum_{\eta=0}^{\infty} \alpha_n \int_{-\infty}^{\infty} dp_3 \ln[f^+(\mu_e, \xi) f^-(\mu_e, \xi)], \quad (2.6)$$

donde $\xi = 1/k_B T$, $\alpha_n = 2 - \delta_{0n}$ y $f^\pm(\mu_e, \xi) = (1 + e^{-(E_e \mp \mu_e)\xi})$ representan respectivamente, las contribuciones para partículas y antipartículas. El término de vacío es dado por la expresión,

$$\Omega_{Ve} = \frac{1}{4\pi^2\xi} \sum_{\eta=0}^{\infty} \int_0^\infty p_\perp dp_\perp dp_3 E_e, \quad (2.7)$$

el cual es divergente, pero puede ser renormalizado, y para campos de intensidad $\mathcal{B} < 10^9$ T, su contribución es irrelevante [20] para campos de interés en los objetos astrofísicos actuales, por tanto nosotros no tomaremos en cuenta este término. Tampoco incluiremos en Ω_{se} , la contribución clásica (o de árbol) asociada al campo magnético, pues seguimos la corriente de publicaciones en donde este término se omite (ver [21])¹⁵, aunque posteriormente en el capítulo 4, si lo tendremos en cuenta.

La ecuación (2.6) puede ser integrada fácilmente para el caso degenerado ($T = 0$). En ese caso la función de distribución de los electrones se convierte en la función paso unitario y la de los positrones es cero. El tensor energía-momentum asociado a un gas de Fermi en presencia de un campo magnético externo y constante en el tiempo, toma la forma [21],

$$\mathcal{T}^a_b = (T \frac{\partial\Omega}{\partial T} + \sum \mu_n \frac{\partial\Omega}{\partial\mu_n}) \delta^a_4 \delta^4_b + 4F^{ac} F_{cb} \frac{\partial\Omega}{\partial F^2} - \Omega \delta^a_b, \quad (2.8)$$

así que en el límite de campo magnético nulo obtenemos el tensor del fluido perfecto, $\mathcal{T}^a_b = p\delta^a_b - (p + U)\delta^a_4 \delta^4_b$. Las componentes del tensor (2.8) son,

$$\mathcal{T}^3_3 = p_\parallel = -\Omega = p, \quad (2.9)$$

$$\mathcal{T}^1_1 = \mathcal{T}^2_2 = p_\perp = -\Omega - \mathcal{BM} = p - \mathcal{BM}, \quad (2.10)$$

$$\mathcal{T}^4_4 = -U = -TS - \mu_e N - \Omega, \quad (2.11)$$

¹⁴ Aquí, los corchetes angulados $\langle \rangle$ significan la integral continual de Feynman en la teoría de Matsubara.

¹⁵ Otros autores si incluyen este término clásico, que finalmente introduce cambios en las direcciones de colapso a nivel newtoniano (ver, [43]).

donde $p_{\parallel} = p$, p_{\perp} son las presiones, paralela y perpendicular al campo magnético, U la densidad de energía, S la densidad de entropía, N la densidad de partículas y \mathcal{M} la magnetización. Para un objeto compacto, en especial para una estrella EB la temperatura $T \ll T_F$ ¹⁶. Es por ello que una descripción de estas estrellas pueden hacerse suponiendo un gas degenerado de partículas.

Todas las variables termodinámicas del sistema pueden ser obtenidas a partir del Gran Potencial Termodinámico Ω , y las ecuaciones de estado para el límite de campo no nulo y degenerado ($T = 0$), tendrán la forma explícita,

$$p_{\perp} = p - \mathcal{B}\mathcal{M}, \quad p = \lambda \beta \Gamma_p(\mu_e, \beta), \quad (2.12)$$

$$U = \lambda \beta \Gamma_U(\mu_e, \beta), \quad \mathcal{M}\mathcal{B} = \lambda \beta \Gamma_M(\mu_e, \beta), \quad (2.13)$$

$\lambda = mc^2/(4\pi^2\lambda_c^3)$ y las funciones Γ_k , serán, (ver [19]),

$$\Gamma_p = \frac{a_0}{3} \left(\mu_e^2 - \frac{5}{2} \right) + \frac{1}{2} \operatorname{arcsinh} \left(\frac{a_0}{\mu_e} \right) + \beta \sum_{n=0}^s \alpha_n (a_n - b_n - c_n), \quad (2.14)$$

$$\Gamma_{\mathcal{M}} = \sum_{n=0}^s \alpha_n (a_n - b_n - 2c_n), \quad (2.15)$$

$$\Gamma_U = a_0 \left(\mu_e^2 - \frac{1}{2} \right) - \frac{1}{2} \operatorname{arcsinh} \left(\frac{a_0}{\mu_e} \right) + \beta \sum_{n=0}^s \alpha_n (a_n + b_n + c_n), \quad (2.16)$$

donde,

$$\alpha_n = 2 - \delta_{0n}, \quad n = 0, 1, \dots \quad (2.17)$$

$$a_n = \mu_e \sqrt{\mu_e^2 - 1 - 2n\beta}, \quad b_n = \ln \left[\frac{(\mu_e + a_n/\mu_e)}{\sqrt{1 + 2n\beta}} \right], \quad c_n = 2n\beta b_n, \quad (2.18)$$

$$s = I \left[\frac{\mu_e^2 - 1}{2\beta} \right], \quad (2.19)$$

y $I[X]$ denota la parte entera de este argumento X .

2.3 Ecuaciones de Einstein–Maxwell

La métrica de Kasner es una de las métricas más simples que permiten anisotropías en las presiones independientemente del origen de las mismas. En el caso de presiones anisotrópicas asociadas a una fuente magnética, ella puede ser utilizada. Esta métrica viene dada por,

$$ds^2 = -c^2 dt^2 + A^2(t) dx^2 + B^2(t) dy^2 + C^2(t) dz^2. \quad (2.20)$$

Ella está asociada con un espacio-tiempo Bianchi-I “no-inclinado”¹⁷ [24]. Para una 4-velocidad comóvil $u^a = \delta_t^a$, donde $u^a u_a = -1$, la 4-aceleración se anula y el escalar de

¹⁶ T_F temperatura de Fermi y $T/T_F \simeq 10^{-4}$ para una ENs. Por lo tanto, el desorden térmico no es responsable de la presión, ni de la densidad de energía, ni de la magnetización del objeto compacto.

¹⁷Los espacios-tiempo Bianchi inclinados tienen la 4-velocidad “inclinada”, o sea no son sistemas comóviles con la velocidad en la dirección temporal.

expansión Θ y el tensor de deformaciones σ_b^a toma la forma,

$$\sigma_b^a = \text{diag}[\sigma_x^x, \sigma_y^y, \sigma_z^z, 0], \quad (2.21)$$

$$\Theta = \frac{\dot{A}}{A} + \frac{\dot{B}}{B} + \frac{\dot{C}}{C}, \quad (2.22)$$

donde,

$$\sigma^x_x = \frac{2\dot{A}}{3A} - \frac{\dot{B}}{3B} - \frac{\dot{C}}{3C}, \quad \sigma^y_y = \frac{2\dot{B}}{3B} - \frac{\dot{A}}{3A} - \frac{\dot{C}}{3C}, \quad (2.23)$$

$$\sigma^z_z = \frac{2\dot{C}}{3C} - \frac{\dot{A}}{3A} - \frac{\dot{B}}{3B}, \quad (\sigma_a^a = 0). \quad (2.24)$$

Así, consideramos como fuente de materia para esta métrica el siguiente tensor de energía-momentum,

$$T^a_b = (U + P)u^a u_b + P\delta^a_b + \Pi^a_b, \quad P = p - \frac{2\mathcal{B}\mathcal{M}}{3}, \quad (2.25)$$

aquí Π^a_b es el tensor de presiones anisotrópicas, U la densidad de energía, P es el valor medio de las tres presiones diagonales, \mathcal{B} el campo magnético y \mathcal{M} la magnetización, a todos ellos los suponemos funciones del tiempo. Note que la anisotropía es producida por el campo magnético \mathcal{B} . Si este campo se anula, o sea: $\mathcal{B} = 0$, entonces el tensor de energía-momentum se reduce al tensor del fluido perfecto con presión isotropa $P = p$. En el caso general $\mathcal{B} \neq 0$ el tensor Π^a_b tiene la forma,

$$\Pi^a_b = \text{diag}[\Pi, \Pi, -2\Pi, 0], \quad \Pi = -\frac{\mathcal{B}\mathcal{M}}{3}, \quad \Pi^a_a = 0. \quad (2.26)$$

Las ecuaciones de campo de Einstein (ECE) asociada con la métrica de Kasner y con el tensor de energía-momentum quedan como,

$$-G^x_x = \frac{\dot{B}\dot{C}}{BC} + \frac{\ddot{B}}{B} + \frac{\ddot{C}}{C} = -\kappa(p - \mathcal{B}\mathcal{M}), \quad (2.27)$$

$$-G^y_y = \frac{\dot{A}\dot{C}}{AC} + \frac{\ddot{A}}{A} + \frac{\ddot{C}}{C} = -\kappa(p - \mathcal{B}\mathcal{M}), \quad (2.28)$$

$$-G^z_z = \frac{\dot{A}\dot{B}}{AB} + \frac{\ddot{A}}{A} + \frac{\ddot{B}}{B} = -\kappa p, \quad (2.29)$$

$$-G^t_t = \frac{\dot{A}\dot{B}}{AB} + \frac{\dot{A}\dot{C}}{AC} + \frac{\dot{B}\dot{C}}{BC} = \kappa U, \quad (2.30)$$

donde el punto denota la derivación respecto al tiempo propio de observadores fundamentales y $\kappa = 8\pi G/c^4$. A partir de la ecuación de balance $T^{ab}_{;b} = 0$ y de las ecuaciones de Maxwell $F^{ab}_{;b} = 0$ y $F_{[ab;c]} = 0$, tenemos que,

$$\dot{U} + (p + U)\Theta - \mathcal{B}\mathcal{M}\left(\frac{\dot{A}}{A} + \frac{\dot{B}}{B}\right) = 0, \quad (2.31)$$

$$\frac{\dot{A}}{A} + \frac{\dot{B}}{B} + \frac{1}{2}\frac{\dot{\mathcal{B}}}{\mathcal{B}} = 0. \quad (2.32)$$

Nosotros necesitamos construir un sistema auto-consistente de ecuaciones diferenciales de primer orden que puedan ser resueltas numéricamente, así que sería muy conveniente eliminar primeras y segundas derivadas de las funciones métricas en las ecuaciones de Einstein–Maxwell y escribirlas en términos del escalar de expansión y de las componentes del tensor de deformaciones. Siendo consecuentes con esta idea, combinamos las ecuaciones (2.21)-(2.22), (2.23)-(2.24), (2.27)-(2.30) y (2.31)-(2.32), eliminamos las funciones A, B, C junto con sus derivadas $\dot{A}, \dot{B}, \dot{C}$. Después de algunas manipulaciones algebraicas arribamos al siguiente vínculo,

$$-(\Sigma^y)^2 - (\Sigma^z)^2 - \Sigma^y \Sigma^z + \frac{\Theta^2}{3} = \kappa U, \quad (2.33)$$

y a las siguientes ecuaciones diferenciales,

$$\dot{U} + (U + p)\Theta - \mathcal{B}\mathcal{M}\left(\frac{2}{3}\Theta - \Sigma^z\right) = 0, \quad (2.34)$$

$$\dot{\Sigma}^y = -\frac{\kappa}{3}\mathcal{B}\mathcal{M} - \Sigma^y\Theta, \quad (2.35)$$

$$\dot{\Sigma}^z = \frac{2\kappa}{3}\mathcal{B}\mathcal{M} - \Sigma^z\Theta, \quad (2.36)$$

$$\dot{\Theta} = \kappa\left(\mathcal{B}\mathcal{M} - \frac{3}{2}p\right) - \frac{\Theta^2}{2} - \frac{3}{2}\left((\Sigma^y + \Sigma^z)^2 - \Sigma^y\Sigma^z\right), \quad (2.37)$$

$$\dot{\beta} = \frac{2}{3}\beta(3\Sigma^z - 2\Theta), \quad \text{con } \beta \equiv \mathcal{B}/\mathcal{B}_c, \quad (2.38)$$

donde $\Sigma^z = \sigma_z^z$ que la tomamos como la componente independiente del tensor de deformaciones¹⁸.

Aunque el tensor de deformaciones se puede determinar por esta única componente, para nosotros será muy conveniente, desde el punto de vista de los cálculos numéricos, utilizar dos componentes de dicho tensor.

Las funciones U, p y \mathcal{M} ahora vendrán dadas por las ecuaciones de estado del gas¹⁹,

$$p = \lambda \Gamma_p(\beta, \mu), \quad \mathcal{B}\mathcal{M} = \lambda \beta \Gamma_{\mathcal{M}}(\beta, \mu), \quad U = \lambda \Gamma_U(\beta, \mu). \quad (2.39)$$

2.4 Dinámica de cantidades covariantes

Consideremos ahora las siguientes variables,

$$H = \frac{\Theta}{3}, \quad \frac{d}{d\tau} = \frac{1}{H_0 c} \frac{d}{dt}, \quad (2.40)$$

y las funciones adimensionales,

$$S^y = \frac{\Sigma^y}{H_0}, \quad S^z = \frac{\Sigma^z}{H_0}, \quad \Omega = \frac{\kappa\lambda\beta}{3H_0^2}, \quad \mathcal{H} = \frac{H}{H_0}, \quad (2.41)$$

donde S^y y S^z están relacionados con las componentes yy y zz del tensor de deformaciones, mientras que Ω está relacionado con el campo magnético. El nuevo tiempo τ es un tiempo

¹⁸Las componentes Σ^x y Σ^y se definen similarmente.

¹⁹Aquí se sobrentiende que $\mu = \mu_e$ potencial químico de los electrones, para el caso de los neutrones $\mu = \mu_n$.

adimensional (o tiempo “logarítmico”). La cantidad $H(t)$ (debido a (2.21)-(2.22)) cambia las dimensiones de cm^{-1} y el signo de τ se determina por el signo de $H(t)$ (ver Apéndice E). Sin embargo, nosotros hemos elegido $\Omega = \beta$ por tanto $\kappa\lambda = 3H_0^2$, para eliminar la presencia de constantes adicionales en el sistema de ecuaciones. Insertando la ecuación de estado (2.39) y las nuevas definiciones (2.40), (2.41) en (2.33) y (2.34)-(2.38), obtenemos el vínculo,

$$-(S^y)^2 - (S^z)^2 - S^y S^z + 3\mathcal{H}^2 = 3\Gamma_U, \quad (2.42)$$

más el sistema,

$$S_{,\tau}^y = -\beta\Gamma_{\mathcal{M}} - 3S^y\mathcal{H}, \quad (2.43)$$

$$S_{,\tau}^z = 2\beta\Gamma_{\mathcal{M}} - 3S^z\mathcal{H}, \quad (2.44)$$

$$\mathcal{H}_{,\tau} = \beta\Gamma_{\mathcal{M}} - \frac{3}{2}(\Gamma_p + \mathcal{H}^2 + \frac{(S^y + S^z)^2}{3} - \frac{S^y S^z}{3}), \quad (2.45)$$

$$\beta_{,\tau} = 2\beta(S^z - 2\mathcal{H}), \quad (2.46)$$

$$\mu_{,\tau} = \frac{1}{\Gamma_{U,\mu}} [(2\mathcal{H} - S^z)(\Gamma_{\mathcal{M}} + 2\Gamma_{U,\beta})\beta - 3\mathcal{H}(\Gamma_p + \Gamma_U)]. \quad (2.47)$$

Note que, contrario a los modelos cosmológicos discutidos en la referencia [26] donde $H_0 = 0.59 \times 10^{-26} \text{m}^{-1}$ podría jugar el rol de la constante de Hubble, en nuestro gas magnetizado de Fermi tenemos que $H_0 = 0.86 \times 10^{-10} \text{m}^{-1}$, el cual es mucho más pequeño. Esto es lógico y consistente porque indica que nuestro modelo simplificado es examinado sobre escalas locales mucho menores que las escalas cósmicas. La escala $1/H_0 \simeq 1.15 \times 10^{10} \text{m}$ es del orden de la distancia de una unidad astronómica.

Los resultados mencionados en las referencias [19, 20, 21] para el gas de electrones muestran que para un campo magnético intenso, del orden del campo crítico B_c , todos los electrones están en el nivel básico de Landau $n = 0$, y consecuentemente se tiene que $p_{\perp} = 0$. Consideramos el estudio de como evoluciona un gas en estos casos, en el cual las funciones $\Gamma(\beta, \mu)$ se simplifican considerablemente, tomando la siguiente forma,

$$\Gamma_p = \frac{a_0}{3}(\mu^2 - \frac{5}{2}) + \frac{1}{2}\text{arcsinh}(\frac{a_0}{\mu}) + \beta(a_0 - b_0), \quad (2.48)$$

$$\Gamma_{\mathcal{M}} = (a_0 - b_0), \quad (2.49)$$

$$\Gamma_U = a_0(\mu^2 - \frac{1}{2}) - \frac{1}{2}\text{arcsinh}(\frac{a_0}{\mu}) + \beta(a_0 + b_0), \quad \text{donde} \quad (2.50)$$

$$a_0 = \mu\sqrt{\mu^2 - 1}, \quad b_0 = \ln(\mu + a_0/\mu), \quad c_0 = 0, \quad \alpha_0 = 1.$$

Así sustituyendo (2.48)-(2.50) en (2.43)-(2.47) mantenemos el sistema auto-consistente de cinco ecuaciones diferenciales ordinarias (2.43)-(2.47), con las funciones incógnitas $\beta, \mathcal{H}, S^y, S^z$ y μ , y el vínculo (2.42), el cual solo admite una solución numérica.

De las ecuaciones de estado (2.39) se deduce que el potencial químico debe satisfacer $\mu \geq 1$, lo que es correcto para sistemas con densidades del orden de $\sim 10^7 \text{gm/cm}^3$ o mayores. Para EBs o ENs, el potencial químico toma valores alrededor de $\sqrt{3} \simeq 1.732$. También $U > 0$, entonces el potencial químico $\mu \geq 1$ y de (2.42) obtenemos el vínculo,

$$-(S^y)^2 - (S^z)^2 - S^y S^z + 3\mathcal{H}^2 = 3\Gamma_U \geq 0, \quad (2.51)$$

así nuestro espacio de fase físico de 5-dimensiones, estará restringido por las relaciones,

$$3\mathcal{H}^2 \geq (S^y)^2 + (S^z)^2 + S^y S^z, \quad (2.52)$$

$$\mu^2 \geq 1 + 2\beta, \quad (2.53)$$

$$\beta \geq \frac{3\Gamma_p - \Gamma_U}{2\Gamma_{\mathcal{M}}}. \quad (2.54)$$

Para modelos Bianchi-I no-inclinados solo existe una componente independiente del tensor de deformación, la cual tomamos por S^z , sin embargo será conveniente usar también la componente S^y para nuestros cálculos numéricos. Además, la forma de las componentes del tensor de deformaciones determina la forma de los coeficientes métricos. De (2.21)-(2.22) y (2.23)-(2.24), tenemos que,

$$\frac{A_{,\tau}}{A} = (S^x + \mathcal{H}), \quad \frac{B_{,\tau}}{B} = (S^y + \mathcal{H}), \quad \frac{C_{,\tau}}{C} = (S^z + \mathcal{H}), \quad (2.55)$$

donde $S^x = -S^y - S^z$.

2.5 Discusión y resultados

Usando (2.21)-(2.22) y (2.40) podemos expresar el volumen local como $\mathcal{V} \equiv ABC$ en términos de \mathcal{H} y el tiempo adimensional τ como

$$\mathcal{V}(\tau) = \mathcal{V}(0) \exp\left(3 \int_{\tau_0}^{\tau} \mathcal{H} d\tau\right). \quad (2.56)$$

Claramente se puede notar el por qué al tiempo τ se le llama tiempo “logarítmico”. Note que el signo de $\mathcal{H}(\tau)$ implica expansión del volumen local, si ($\mathcal{H}(\tau) > 0$) y colapso si ($\mathcal{H}(\tau) < 0$).

2.5.1 Singularidades

Las ecuaciones de estado que estamos considerando están asociadas con objetos compactos a muy alta densidad (al menos $\sim 10^{10} \text{ kg m}^{-3}$), el rango de evolución del modelo para bajas densidades o caso diluido, no es físicamente interesante para nosotros y no será tratado. Esto significa que solo consideraremos las fases de colapso del modelo. Así solo necesitamos examinar las condiciones iniciales en las cuales la expansión inicial \mathcal{H}_0 es negativa. Nosotros probamos numéricamente el modelo usando una gran cantidad de condiciones iniciales diferentes, cubriendo todo el rango de valores de interés físico para los objetos compactos, desde EBs hasta ENs. Por ejemplo: $\mu_0 = 2$ corresponde con densidades de $\sim 10^{10} \text{ kg m}^{-3}$, mientras que $\beta_0 = 10^{-5}$ representa campos magnéticos del unos $10^4 T$. Junto con $\mathcal{H}_0 < 0$, consideramos en particular: $S_0^y = 0, \pm 1$ y $S_0^z = 0, \pm 1$, que corresponden con casos de deformación inicial nula, y deformaciones iniciales positivas y negativas en las direcciones y o z .

Así cuando $\mathcal{H}_0 < 0$ el modelo exhibe un comportamiento en general de colapso $\mathcal{H} \rightarrow -\infty$, independientemente de los valores iniciales de las otras funciones (ver ejemplos en la Figura 1). En todas las configuraciones de colapso la intensidad del campo magnético diverge a infinito independientemente de las condiciones iniciales. En la Figura 1 mostramos

varias soluciones numéricas para diferentes valores del campo magnético inicial. Se puede ver como al aumentar la intensidad del campo (etiquetada por $\beta_1 < \beta_2 < \beta_3$ en la figura), la expansión muestra un rápido decaimiento a $-\infty$. Consecuentemente, siempre que aumentemos el campo magnético inicial, el tiempo de colapso decrece. Usamos

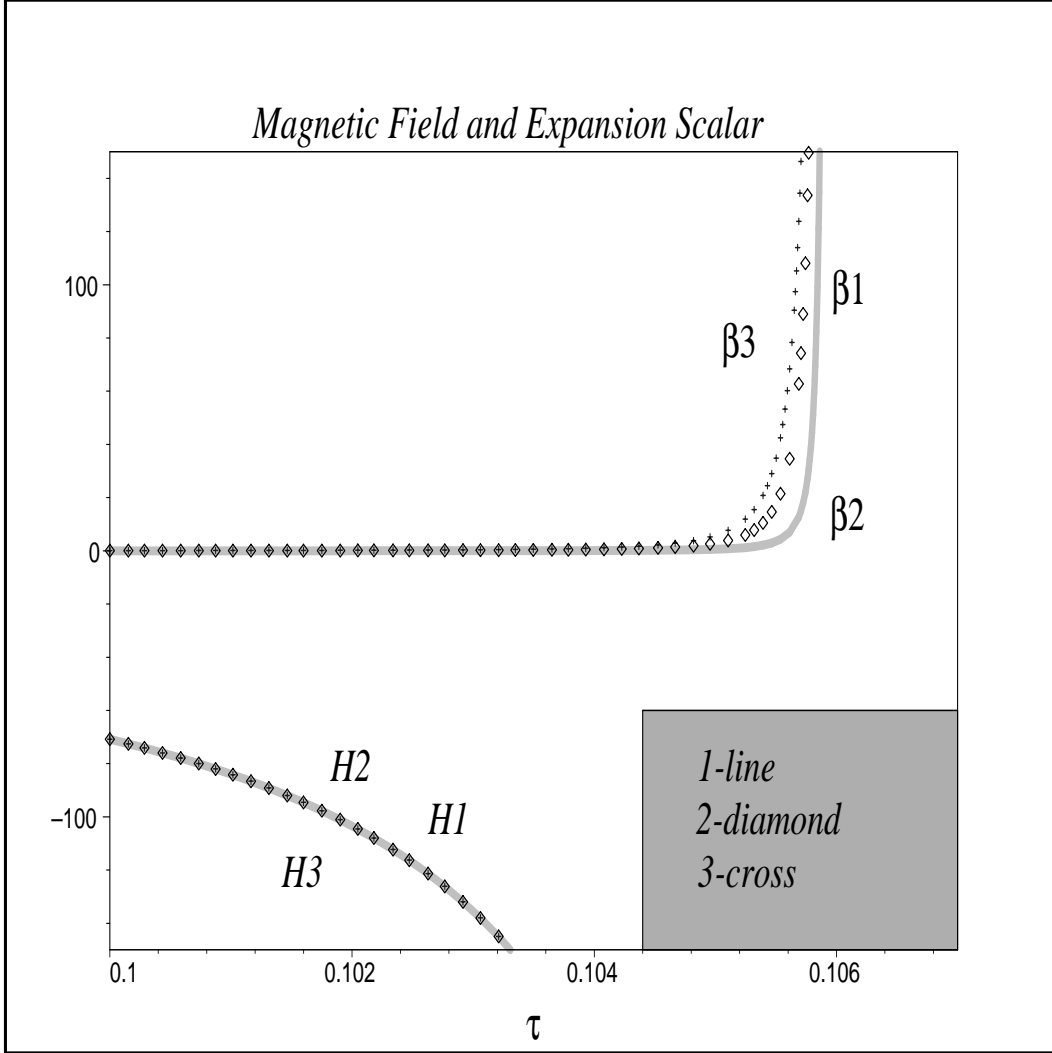


Figura 1: Soluciones numéricas para el campo magnético adimensional $\beta(\tau)$ y para el escalar de expansión $\mathcal{H}(\tau)$. Aquí disponemos de tres condiciones iniciales diferentes, $S^x(0) = 0, S^y(0) = -1, S^z(0) = 1, \mu(0) = 2$, y $\beta_1(0) = 10^{-5}, \beta_2(0) = 5 \times 10^{-5}, \beta_3(0) = 10^{-4}$ respectivamente, para el campo magnético inicial. Entonces debido a (2.51), la expansión inicial debe tomar los valores $\mathcal{H}_1(0) = \mathcal{H}_2(0) = \mathcal{H}_3(0) = -4.82$. Los resultados numéricos para los tiempos de colapso son $\tau_1 = 0.1059, \tau_2 = 0.1058$, y $\tau_3 = 0.1057$ respectivamente.

condiciones iniciales con deformación inicial no necesariamente en la dirección del campo magnético, así que las singularidades anisótropas del tipo “cigarro” emergen a lo largo de cualquiera de estas direcciones, o sea, el colapso puede ser paralelo o perpendicular al campo magnético.

Un análisis de todos estos casos revela que los estados de colapso dependen fuertemente

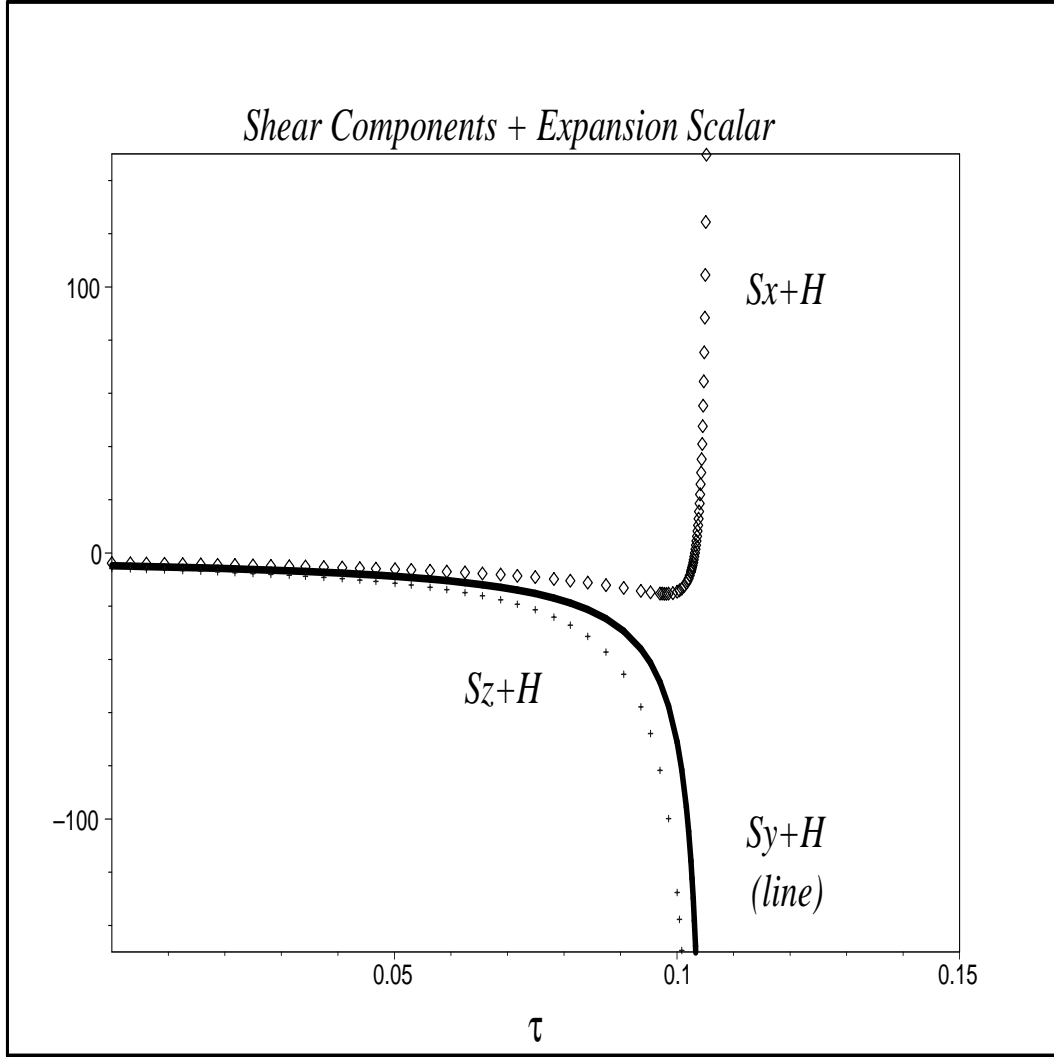


Figura 2: Trayectorias de las funciones $S^i + \mathcal{H}$ para $i = x, y, z$. Nosotros tomamos las siguientes condiciones iniciales: $S^x(0) = 1$, $S^y(0) = 0$, $S^z(0) = -1$, $\mu(0) = 2$, $\beta(0) = 0$, y $\mathcal{H}(0) = -3.43$. Este sistema muestra la deformación inicial en la dirección x con el campo magnético apuntando en la dirección z . El colapso forma una singularidad tipo “cigarro” o “línea” en la dirección x .

de los valores iniciales de la deformación. Por ejemplo, si tenemos una deformación inicial a lo largo de la dirección x , se dice que : $S_0^x \gg S_0^y, S_0^z, \beta_0, \mu_0$, entonces una singularidad tipo “cigarro” emerge a lo largo de la dirección x . Esto se muestra en la Figura 2, ilustrando (por medio del conjunto de ecuaciones (2.55)) que la función métrica A tiende a infinito, mientras que las otras funciones métricas B y C rápidamente decaen a cero. En general, la configuración inicial del sistema y los valores iniciales del tensor de deformaciones determinan la dirección (privilegiada) del colapso anisótropo.

Las pruebas numéricas también muestran que existe un valor umbral para el campo magnético inicial y dependiendo de su intensidad, este también puede influir en la dirección que tome la singularidad tipo “cigarro”. Esto se puede ilustrar apoyándonos en la propia Figura 2: Si aquí aumentamos el campo magnético a $\beta_0 = 1$ entonces obtendremos una

singularidad tipo “cigarro” pero en la dirección z para cualquier valor de la deformación $S_i(0) = 0, \pm 1$ (donde $i = 1, 2, 3$ direcciones espaciales). Sin embargo, $\beta_0 = 1 \sim 10^9 T$ es una valor físicamente irreal para estrellas EBs magnetizadas, pero puede ser razonable en modelos de universos primordiales magnetizados.

Una anisotropía tipo “punto” siempre puede emerger de configuraciones con deformación inicial nula, o sea con $S_0^x = S_0^y = S_0^z = 0$ y $\beta_0 = 0$. Sin embargo, incluso con deformación inicial nula existen siempre valores umbrales del campo magnético para los cuales las singularidades tipo “punto”, (naturales de configuraciones sin deformación), pasan a ser singularidades tipo “cigarro” extendidas en la dirección del campo magnético.

2.5.2 Espacio de fase y subespacios críticos

Como hemos mencionado previamente, el sistema de ecuaciones de Einstein–Maxwell puede ser escrito como un sistema autónomo asociado a un espacio de fase de 4-dimensiones, con las variables $(S^z, \beta, \mu, \mathcal{H})$. Note que Σ^y siempre puede ser encontrada si determinamos $\Sigma^z = \Sigma$, la cual hemos supuesto como la componente independiente del tensor de deformaciones. Considerando las 4-funciones mencionadas, tendremos el siguiente sistema de ecuaciones,

$$\dot{U} = -(U + p - \frac{2}{3}\mathcal{B}\mathcal{M})\Theta - \mathcal{B}\mathcal{M}\Sigma, \quad (2.57)$$

$$\dot{\Sigma} = \frac{2}{3}\kappa\mathcal{B}\mathcal{M} - \Theta\Sigma, \quad (2.58)$$

$$\dot{\Theta} = \kappa(\mathcal{B}\mathcal{M} + \frac{3}{2}(U - p)) - \Theta^2, \quad (2.59)$$

$$\dot{\beta} = \frac{2}{3}\beta(3\Sigma - 2\Theta), \quad (2.60)$$

donde $\Sigma = \sigma^z$. Si pasamos a trabajar con las funciones adimensionales, definidas en (2.41) este sistema se convierte en,

$$S_{,\tau}^z = 2\beta\Gamma_{\mathcal{M}} - 3\mathcal{H}S^z, \quad (2.61)$$

$$\mathcal{H}_{,\tau} = \beta\Gamma_{\mathcal{M}} + \frac{3}{2}(\Gamma_U - \Gamma_p) - 3\mathcal{H}^2, \quad (2.62)$$

$$\beta_{,\tau} = 2\beta(S^z - 2\mathcal{H}), \quad (2.63)$$

$$\mu_{,\tau} = \frac{1}{\Gamma_{U,\mu}}[(2\mathcal{H} - S^z)(\Gamma_{\mathcal{M}} + 2\Gamma_{U,\beta})\beta - 3\mathcal{H}(\Gamma_p + \Gamma_U)]. \quad (2.64)$$

Note que solo se modifica la ecuación para $\mathcal{H}(\tau)$, ya que podemos llegar a la ecuación (2.62) usando (2.45) y el vínculo (2.42), por consiguiente ambos sistemas son equivalentes. Entonces, la ecuación (2.43) es necesaria solamente para calcular los coeficientes métricos restantes.

En la Figura 8 del Apéndice F, representamos una sección 3-dimensional del espacio de fase (S^z, β, μ) con diferentes curvas para distintas condiciones iniciales. Como se muestra en la figura, el valor inicial de la expansión H_0 determina la evolución global de las soluciones numéricas. Todas las curvas que inician en $\tau = 0$ con expansión $H_0 = \sqrt{\kappa\lambda/3}$, convergen al atractor estable “a”. Pero en el caso que tomemos $H_0 = -\sqrt{\kappa\lambda/3}$ y empezando en $\tau = 0$, entonces las curvas evolucionarán tendiendo a la singularidad anisotrópica. Tomando el

lado izquierdo del sistema de ecuaciones en (2.61)-(2.64), igualándolo a cero y resolviéndolo de forma algebraica, encontramos el conjunto de puntos críticos. Dentro de este conjunto de puntos críticos se encuentra el atractor estable “a”,

$$a = \{S^z = 0, \beta = 0, \mu = 1, \mathcal{H} = 0\}. \quad (2.65)$$

Para el espacio de 4-dimensiones $(S^z, \beta, \mu, \mathcal{H})$ existen cuatro posibles secciones 3-dimensionales. En estas secciones hemos calculado también las soluciones numéricas y los resultados son similares.

2.6 Conclusiones del capítulo

Hemos presentado un modelo basado en la descripción dinámica de un volumen local de un gas magnetizado y auto-gravitante de electrones en el nivel básico de Landau $n = 0$. Consideramos las ecuaciones de estado de este sistema. También, hemos trabajado con formas simplificadas de las ecuaciones de Einstein-Maxwell que fueron escritas asumiendo un espacio-tiempo Bianchi-I con métrica de Kasner. La fuente de anisotropía es el propio campo magnético. Este espacio-tiempo simplificado provee un conveniente modelo juguete para entender el comportamiento local de colapso del sistema que cualitativamente imita las fuentes de materia dentro de un objeto compacto.

La relevancia de este capítulo emerge de nuestros estudios sobre clasificación de singularidades, las cuales pueden ser de tipo “punto” o de tipo “cigarro”. Las singularidades tipo “punto” aparecen bajo condiciones especiales del campo magnético nulo, deformación nula o ambas. Singularidades tipo “cigarro” pueden ser obtenidas en todas las direcciones, dependiendo de los valores iniciales del tensor de deformaciones. Sin embargo, para intensidades suficientemente grandes del campo magnético inicial siempre se esperará una singularidad tipo “cigarro” en la dirección del campo magnético.

Este resultado es importante porque el valor del campo magnético determina el tipo de colapso y esto está de acuerdo con la idea previa no-relativista en la cual se analiza el colapso de estos gases magnetizados dentro de un cuadro Newtoniano[19],[20], [21].

Por otro lado, así como es discutido en [44] por Collins & Ellis, los modelos Bianchi como el de tipo-I que estamos considerando, son globalmente hiperbólicos y solo presentan una singularidad, así que las hipersuperficies de tiempo constante (ortogonales a la 4-velocidad) son hipersuperficies globales de Cauchy²⁰ y cada punto en el espacio-tiempo puede ser causalmente conectado con el último. La 4-velocidad es una geodésica del campo y la singularidad es determinada por un valor específico de tiempo constante, así que esta singularidad no es de tipo temporaloidea²¹ y cada evento en el espacio puede ser

²⁰Una superficie de Cauchy es una variedad 3-dimensional espacialoidea, cuyo futuro y pasado de dependencia describen toda la variedad espacio-tiempo.

²¹Según su carácter las singularidades físicas pueden ser: **1) Singularidades temporaloideas**, como la que se encuentra en un agujero de Schwarzschild en la que una partícula deja de existir por cierto instante de tiempo; dependiendo de su velocidad, las partículas rápidas tardan más en alcanzar la singularidad mientras que las más lentas desaparecen antes. Este tipo de singularidades son inevitables, ya que tarde o temprano todas las partículas deben atravesar la hipersuperficie temporal singular. **2) Singularidades espacialoideas**, como la que se encuentra en agujeros de Reissner-Nordstrom, Kerr y Kerr-Newman. Al

causalmente conectado con esta singularidad (en particular por geodésicas que son curvas integrales del campo de la 4-velocidad).

Nosotros solo hemos considerado regímenes de colapso a partir de una hipersuperficie inicial de tiempo constante. Así, cada curva temporaloidea futura (geodésica o no) comienza en una hipersuperficie de Cauchy de tiempo constante y termina en la singularidad de colapso. Bajo estas condiciones, la singularidad es obviamente censurada.

ser hipersuperficies espaciales una partícula puede escapar de ellas y por tanto se trata de singularidades evitables.

3. ESTUDIO DE UN GAS MAGNETIZADO Y AUTO-GRAVITANTE DE NEUTRONES

3.1 Introducción

En este capítulo extendemos el trabajo previo hecho para un gas de electrones, al caso de neutrones. Seguimos una similar metodología basada en la reescritura de las ecuaciones de campo y de las ecuaciones de conservación, para el gas de neutrones en una geometría Bianchi-I. Como sistema dinámico, estudiamos su evolución en un espacio de fase de 4-dimensiones. Este sistema es analizado cualitativamente y numéricamente.

Vale la pena resaltar las diferencias básicas entre el gas magnetizado de electrones examinado en [40, 22, 52] (ver capítulo anterior) y el gas de neutrones que nosotros consideraremos en este capítulo. Los electrones interactúan con el campo magnético a través de su carga eléctrica, contribuyendo al llamado diamagnetismo de Landau caracterizado por un efecto de cuantización asociado con los niveles de Landau. Sin embargo, los neutrones interactúan con el campo magnético mediante el Momento Magnético Anómalo (MMA), en el contexto del paramagnetismo de Pauli y de las ecuaciones de Pauli–Dirac. Consecuentemente uno espera que la interacción magnética del neutrón sea débil, aunque un gas de neutrones degenerado en condiciones de objeto compacto se espera que sea más crítico (debido a las altas densidades) que las de un gas degenerado en condiciones de baja densidad. Por tanto, los efectos relativistas de la gravedad tendrán que tomarse en cuenta y podrían dominar desde el punto de vista dinámico en el gas de neutrones. También es importante mencionar que un gas de neutrones auto-gravitante es un modelo simplificado de una fuente para un objeto compacto, donde los protones y el potencial químico de equilibrio deben ser incluidos, para evaluar los efectos locales [40, 50, 51]. Sin embargo, el gas de neutrones magnetizado [45] ya exhibe importantes diferencias, tanto cualitativas como cuantitativas, en comparación con el gas de electrones previamente analizado.

3.2 Ecuación de Estado de un gas magnetizado de neutrones

Propiedades importantes del gas de neutrones magnetizado y degenerado son reportadas en (ver [40, 20, 53]). Considerando el ensemble gran canónico, un subsistema puede ser pensado como un volumen local de un gas de neutrones bajo la influencia de un campo magnético \vec{H} asociado al resto del sistema (en un contexto astrofísico esta puede ser una buena aproximación a un volumen local dentro de un objeto compacto). Debido a este campo los subsistemas se pueden polarizar, permitiendo que surja una magnetización que satisface la relación: $\vec{H} = \vec{B} - 4\pi\vec{M}$. El campo \vec{H} puede ser pensado como un campo “externo” al subsistema, mientras que \vec{B} sería el “interno” de cualquier partícula dentro del subsistema, el cual incluye (en adición a \vec{H}) la contribución $4\pi\vec{M}$ de partículas del resto del subsistema.

La ecuación de estado para el gas de neutrones se obtiene de calcular el espectro de energía de las partículas que forman el sistema. Nosotros podemos obtener este espectro de energía a partir de las ecuaciones de Dirac para partículas neutras con momento magnético anómalo,

$$(\gamma^\mu \partial_\mu + m + iq\sigma_{\mu\nu}F^{\mu\nu})\Psi = 0, \quad (3.1)$$

donde $\sigma_{\mu\lambda} = \frac{1}{2}(\gamma_\mu\gamma_\lambda - \gamma_\lambda\gamma_\mu)$ es el tensor de espín, $F^{\mu\nu}$ es el tensor del campo electromagnético (nosotros hemos tomado $\hbar = c = 1$) y Ψ es el campo de Dirac. Resolviendo la ecuación (3.1) se obtiene el siguiente espectro de energía [53],[54],[55],

$$E_n(p, \mathcal{B}, \eta) = \sqrt{p_{\parallel}^2 + (\sqrt{p_{\perp}^2 + m_n^2} + \eta q \mathcal{B})^2}, \quad (3.2)$$

donde p_{\parallel}, p_{\perp} son respectivamente, las componentes del momentum en la dirección paralela y perpendicular al campo magnético \mathcal{B} , m_n es la masa del neutrón, $q = -1.91\mu_N$ es el momento magnético del neutrón ($\mu_N = e/2m_p$ es el magnetón nuclear), $\eta = \pm 1$ son los autovalores correspondientes a las dos orientaciones posibles (paralela y antiparalela) del Momento Magnético Anómalo (MMA) del neutrón respecto al campo magnético.

Sustituyendo (3.2) en la expresión (2.6) obtenida en el capítulo anterior podemos calcular todas las cantidades termodinámicas del sistema al igual que hicimos en ese mismo capítulo para el gas de electrones magnetizado.

Tal como explicamos en dicho capítulo el término de vacío es divergente, y puede igualmente ser renormalizado, y para el gas de neutrones su contribución es relevante sólo para campos de intensidad $\mathcal{B} > 10^{14}$ T [20], por tanto nosotros no tomaremos en cuenta este término²².

La ecuación (2.6) puede ser integrada fácilmente²³ para el caso degenerado ($T = 0$), y su forma explícita es entonces,

$$\Omega_{sn} = -\lambda \sum_{\eta=1,-1} \left[\frac{\mu f_{\eta}^3}{12} + \frac{(1 + \eta\beta)(5\eta\beta - 3)\mu f_{\eta}}{24} + \frac{(1 + \eta\beta)^3(3 - \eta\beta)}{24} L_{\eta} - \frac{\eta\beta\mu^3}{6} s_{\eta} \right], \quad (3.3)$$

donde hemos introducido las siguientes expresiones,

$$f_{\eta} = \sqrt{\mu^2 - (1 + \eta\beta)^2}, \quad s_{\eta} = \frac{\pi}{2} - \arcsin\left(\frac{1 + \eta\beta}{\mu}\right), \quad \mu = \frac{\mu_n}{m_n}, \quad (3.4)$$

$$L_{\eta} = \ln\left(\frac{\mu + f_{\eta}}{1 + \eta\beta}\right), \quad \beta = \frac{\mathcal{B}}{\mathcal{B}_c}, \quad (3.5)$$

con $\mathcal{B}_c = m_n/q \simeq 1.56 \times 10^{16}$ T el campo crítico para neutrones y $\lambda = m_n^4/4\pi^2\hbar^3c^3 = 4.11 \times 10^{35}$ J m⁻³.

Calculando la densidad de neutrones y la magnetización obtenemos que: $N = N_0\Gamma_N$, $\mathcal{M} = \mathcal{M}_0\Gamma_M$, donde $N_0 = \lambda/m_n$, $\mathcal{M}_0 = N_0q$, y los coeficientes Γ_N, Γ_M toman la forma,

$$\Gamma_N = \sum_{\eta=1,-1} \left[\frac{f_{\eta}^3}{3} + \frac{\eta\beta(1 + \eta\beta)f_{\eta}}{2} - \frac{\eta\beta\mu^2}{2} s_{\eta} \right],$$

$$\Gamma_M = - \sum_{\eta=1,-1} \eta \left[\frac{(1 - 2\eta\beta)\mu f_{\eta}}{6} - \frac{(1 + \eta\beta)^2(1 - \eta\beta/2)}{3} L_{\eta} + \frac{\mu^3}{6} s_{\eta} \right].$$

²²Realmente el término de vacío pudiera ser relevante para cuando el sistema evoluciona hacia la singularidad y el campo magnético crece a infinito pero, por simplicidad no lo tendremos en cuenta en este trabajo y suponemos que no influye de manera determinante.

²³Recordar que en este caso de neutrones en (2.6) no se suma por los niveles de Landau sino por $-1, +1$, los dos estados posibles del MMA.

Por consiguiente, dados (2.9)-(2.11) y (3.3), nosotros podemos escribir la ecuación de estado para un gas de neutrones relativista y degenerado en presencia de un campo magnético como,

$$U = \mu_n N + \Omega = \lambda \Gamma_U(\beta, \mu), \quad (3.6)$$

$$p = -\Omega = \lambda \Gamma_P(\beta, \mu), \quad (3.7)$$

$$M = \mathcal{BM} = \lambda \beta \Gamma_M(\beta, \mu), \quad (3.8)$$

donde,

$$\Gamma_P = \sum_{\eta=1,-1} \left[\frac{\mu f_\eta^3}{12} + \frac{(1 + \eta\beta)(5\eta\beta - 3)\mu f_\eta}{24} + \frac{(1 + \eta\beta)^3(3 - \eta\beta)}{24} L_\eta - \frac{\eta\beta\mu^3}{6} s_\eta \right],$$

$$\Gamma_U = \mu \Gamma_N - \Gamma_P.$$

Note que estas ecuaciones de estado difieren de las obtenidas para el gas de electrones (2.12)-(2.13) y obviamente los resultados dinámicos estarán marcados por estas diferencias. Las ecuaciones (2.12)-(2.13) dependen de los niveles de Landau por estar cuantificado el espectro. Las ecuaciones (3.6)-(3.8) muestran su acoplamiento con el campo a través de la presencia del MMA de los neutrones.

Puntualicemos que en (3.3)-(3.8) nosotros estamos sumando sobre el momento magnético paralelo ($\eta = -1$) o perpendicular ($\eta = 1$) al campo magnético (o sea estamos considerando el conocido Paramagnetismo de Pauli). La elección de $\eta = \pm 1$, [20] es equivalente a considerar diferentes fases del sistema. La aparición de valores umbrales para el campo magnético en cada caso pueden verse si analizamos las expresiones de las funciones f_η y s_η en (3.4). Si tomamos a $\beta \geq 0$, empezando con f_η ,

$$\mu^2 \geq (1 + \eta\beta)^2 = 1 + 2\eta\beta + \eta^2\beta^2. \quad (3.9)$$

Sin embargo, como $\eta = -1, 1$ entonces siempre $\eta^2 = 1$ y nosotros podemos reescribir,

$$\mu^2 \geq (\eta + \beta)^2, \quad (3.10)$$

de donde,

$$(\beta + \eta - \mu)(\beta + \eta + \mu) \leq 0. \quad (3.11)$$

Ahora tenemos dos posibilidades. Pero, es simple darse cuenta que la única aceptable es;

$$-\mu - \eta \leq \beta \leq \mu - \eta. \quad (3.12)$$

Esta es exactamente la restricción que viene de la función, s_η ,

$$\left| \frac{1 + \eta\beta}{\mu} \right| \leq 1. \quad (3.13)$$

Por tanto, ya sea de (3.12) o de (3.13) los siguientes vínculos son obtenidos para el campo magnético,

$$\text{Si } \eta = 1 \Rightarrow \quad -1 - \mu \leq \beta \leq \mu - 1, \quad (3.14)$$

$$\text{Si } \eta = -1 \Rightarrow \quad 1 - \mu \leq \beta \leq 1 + \mu. \quad (3.15)$$

Estas últimas desigualdades restringen los valores del campo magnético. Así, sistemas de neutrones con MMA alineado en la dirección del campo magnético solo tienen como valores permitidos del campo magnético el rango de $1 - \mu \leq \beta \leq 1 + \mu$. Similarmente, para sistemas de neutrones con MMA orientado antiparalelamente respecto al campo magnético, solo pueden tomar valores de campo en el intervalo $-1 - \mu \leq \beta \leq \mu - 1$. En particular para el caso de $\mu = 1$ tenemos que,

$$\text{Si } \eta = -1, \quad 0 \leq \beta \leq 2, \quad (3.16)$$

$$\text{Si } \eta = 1, \quad -2 \leq \beta \leq 0. \quad (3.17)$$

Esto significa que para campos menores (o iguales) que dos veces el campo magnético crítico, los neutrones estarán alineados todos con $\eta = -1$ (el MMA es paralelo al campo magnético). O sea neutrones con $\eta = 1$ serán forzados a invertir su sentido.

3.3 Ecuaciones de Einstein–Maxwell

Si deseamos estudiar la evolución dinámica de un volumen local magnetizado y auto-gravitante de neutrones bajo las condiciones físicas impuestas en el interior de un objeto compacto, entonces tenemos que contar con los efectos relativistas. Y esto implica que la dinámica local debe ser estudiada bajo el marco de la TGR, por medio de las ecuaciones de campo de Einstein,

$$G_{ab} = R_{ab} - \frac{1}{2}Rg_{ab} = \kappa \mathcal{T}_{ab}, \quad (3.18)$$

junto con la ecuación de conservación del tensor energía–momentum y de las ecuaciones de Maxwell,

$$\mathcal{T}^{ab}{}_{;b} = 0, \quad (3.19)$$

$$F^{ab}{}_{;b} = 0, \quad F_{[ab;c]} = 0, \quad (3.20)$$

donde $\kappa = 8\pi G_N$, con G_N constante de gravitación de Newton, el corchete cuadrado denota anti-simetrización en $ab;c$. El tensor energía–momentum $\mathcal{T}^a{}_b$ asociado al gas magnetizado de neutrones viene dado por (2.9)-(2.11), conectado al gran potencial termodinámico obtenido mediante la mecánica estadística, y acoplado apropiadamente a la ecuación de estado. Este tensor también puede ser escrito en términos de la 4-velocidad del campo u^a como ²⁴,

$$\mathcal{T}^a{}_b = (U + \tilde{P})u^a u_b + \tilde{P}\delta^a{}_b + \Pi^a{}_b, \quad \tilde{P} = p - \frac{2\mathcal{B}\mathcal{M}}{3}. \quad (3.21)$$

²⁴Notar que el tensor (3.21), no contiene, ni el término de vacío $B^2 \log(B/B_c)$, ni se adiciona el campo clásico B^2 (de árbol). Ya que suponemos que la contribución del vacío es pequeña y similarmente a como hicimos en el capítulo 2 hemos seguido trabajos en donde este término clásico no se toma en cuenta. Aunque debido a su importancia factible en la evolución cercana al colapso, sí los asumiremos en el capítulo 4.

Nosotros consideramos las ecuaciones de campo (3.18)–(3.20) con (3.21) como la fuente de materia para un modelo Bianchi-I descrito en la representación de la métrica de Kasner,

$$ds^2 = Q_1(t)^2 dx^2 + Q_2(t)^2 dy^2 + Q_3(t)^2 dz^2 - dt^2, \quad (3.22)$$

lo cual sugiere escoger la 4-velocidad en una representación comóvil $u^a = \delta^a_t$, así el tensor de presiones anisótropas en (3.21) y en las coordenadas $[x, y, z, t]$ toma la forma,

$$\Pi^a_b = \text{diag}[\Pi, \Pi, -2\Pi, 0], \quad \Pi = -\frac{\mathcal{B}\mathcal{M}}{3}, \quad \Pi^a_a = 0. \quad (3.23)$$

Las ecuaciones de campo (3.18) para (3.21),(3.22) y (3.23) toman la forma,

$$-G^x_x = \frac{\dot{Q}_2\dot{Q}_3}{Q_2Q_3} + \frac{\ddot{Q}_2}{Q_2} + \frac{\ddot{Q}_3}{Q_3} = -\kappa(p - \mathcal{B}\mathcal{M}), \quad (3.24)$$

$$-G^y_y = \frac{\dot{Q}_1\dot{Q}_3}{Q_1Q_3} + \frac{\ddot{Q}_1}{Q_1} + \frac{\ddot{Q}_3}{Q_3} = -\kappa(p - \mathcal{B}\mathcal{M}), \quad (3.25)$$

$$-G^z_z = \frac{\dot{Q}_1\dot{Q}_2}{Q_1Q_2} + \frac{\ddot{Q}_1}{Q_1} + \frac{\ddot{Q}_2}{Q_2} = -\kappa p, \quad (3.26)$$

$$-G^t_t = \frac{\dot{Q}_1\dot{Q}_2}{Q_1Q_2} + \frac{\dot{Q}_1\dot{Q}_3}{Q_1Q_3} + \frac{\dot{Q}_2\dot{Q}_3}{Q_2Q_3} = \kappa U, \quad (3.27)$$

donde $\dot{A} = A_{;\alpha} u^\alpha = A_{,t}$. De la ecuación de conservación del tensor energía-momentum (3.19) tenemos que,

$$\dot{U} = \frac{\dot{Q}_3}{Q_3}(p + U) - \left(\frac{\dot{Q}_1}{Q_1} + \frac{\dot{Q}_2}{Q_2}\right)(-\mathcal{B}\mathcal{M} + p + U), \quad (3.28)$$

mientras que de las ecuaciones de Maxwell (3.20) obtenemos que,

$$\frac{\dot{Q}_1}{Q_1} + \frac{\dot{Q}_2}{Q_2} + \frac{1}{2} \frac{\dot{\mathcal{B}}}{\mathcal{B}} = 0. \quad (3.29)$$

Las ecuaciones de Einstein-Maxwell (3.24)–(3.27),(3.28) y (3.29) son ecuaciones diferenciales ordinarias no-lineales y de segundo orden para las funciones métrica Q_1, Q_2, Q_3 y U . Para tratar este sistema numéricamente, es necesario introducir nuevas variables que transformarán el sistema, en un sistema de ecuaciones de primer orden. Sin embargo, antes de tomar este camino, veremos que ocurre cuando el campo magnético es débil.

3.4 Límite de campo magnético débil

Esta breve discusión para el campo magnético débil es importante pues ilustra la conexión entre nuestro campo magnético de origen cuántico y el campo magnético Maxwelliano en el contexto de un tratamiento magnetohidrodinámico. En la sección 3.2 nosotros hemos mostrado ecuaciones fuertemente conectadas con un campo magnético cuántico.

Es importante enfatizar que el término “campo magnético cuántico” contiene la interacción semi-clásica entre el campo magnético y el momento magnético anómalo. Esta aproximación implica una conexión teórica entre la ecuación de estado introducida en la

sección anterior y el cuadro de trabajo en EDC²⁵. Como una condición de consistencia, este marco de trabajo debe permitir en el caso límite de una expansión en series alrededor de $\beta = 0$, llegar al límite clásico Maxwelliano. Los términos líderes en esta expansión deben coincidir con los términos del tensor de energía-momentum para el campo magnético Maxwelliano [26]. En general, este tipo de expansión en series puede efectuarse de la forma,

$$p_{\perp} = \sum_{n=0}^{\infty} \left(\frac{\partial^n p_{\perp}}{\partial \beta^n} \right) \Big|_{\beta=0} \frac{\beta^n}{n!} \simeq p_1 - a_1 \beta^2 + \mathcal{O}(\beta^4), \quad (3.30)$$

$$p_{\parallel} = \sum_{n=0}^{\infty} \left(\frac{\partial^n p_{\parallel}}{\partial \beta^n} \right) \Big|_{\beta=0} \frac{\beta^n}{n!} \simeq p_1 + a_3 \beta^2 + \mathcal{O}(\beta^4), \quad (3.31)$$

$$U = \sum_{n=0}^{\infty} \left(\frac{\partial^n U}{\partial \beta^n} \right) \Big|_{\beta=0} \frac{\beta^n}{n!} \simeq U_0 + a_0 \beta^2 + \mathcal{O}(\beta^4), \quad (3.32)$$

donde es fácil ver que: $p_1 = p_{\parallel}(\beta = 0) \equiv p_{\perp}(\beta = 0)$, $a_0 = (\partial^2 U / \partial \beta^2) \Big|_{\beta=0} / 2$, $a_1 = (\partial^2 p_{\perp} / \partial \beta^2) \Big|_{\beta=0} / 2$, $a_3 = (\partial^2 p_{\parallel} / \partial \beta^2) \Big|_{\beta=0} / 2$, $U_0 = U(\beta = 0)$, y todas estas funciones dependen solamente del potencial químico adimensional μ .

Como se muestra en los ejemplos encontrados en la literatura, los campos magnéticos clásicos sobre un fondo geométrico tipo Bianchi-I [57, 32], los términos líderes son términos cuadráticos. Esto sugiere que las series en (3.30)-(3.32) deben ser truncadas a nivel cuadrático, los términos de mayor orden como β^4 , β^6 , ..., son en general contribuciones multipolares muy pequeñas. Si asumimos que las fluctuaciones de las velocidades del plasma tienden a cero como promedio macroscópico, y que el medio no sufre de movimientos de volumen internos, entonces estas contribuciones pueden ser despreciadas (aunque típicamente, velocidades altas podrían surgir a partir de fluctuaciones térmicas o desordenes cuánticos). Bajo estas suposiciones, el tensor de energía-momentum de un gas de neutrones mínimamente acoplado al campo magnético, puede siempre ser escrito en la forma [57],

$$T_{ab} = (U_0 + U_{mag}) u_a u_b + (p_0 + p_{mag}) h_{ab} + \Pi_{ab}^{mag}, \quad (3.33)$$

donde p_{mag} y U_{mag} son, respectivamente, la presión magnética y la densidad de energía del campo magnético.

Es importante tener en cuenta que p_0 en (3.33) es la contribución isotrópica a la presión del sistema, la cual (en general) puede depender del potencial químico y del campo magnético. Por otro lado, p_1 es la presión para el caso de campo magnético nulo $\beta = 0$. En nuestro caso el tensor de materia tiene la forma,

$$T^a{}_b = \text{diag}[p_1 - a_1 \beta^2, p_1 - a_1 \beta^2, p_1 + a_3 \beta^2, -U_0 - a_0 \beta^2], \quad (3.34)$$

y comparando (3.34)-(3.33) tenemos que,

$$p_{mag} = \frac{H^2}{6} = a_0 \beta^2 / 3, \quad (3.35)$$

$$U_{mag} = \frac{H^2}{2} = a_0 \beta^2, \quad (3.36)$$

²⁵Electrodinámica Cuántica

donde $H^2 = H^i H_i = 2a_0 \beta^2$ y H_i son las componentes del campo magnético, la cuales hemos asumido que apuntan en la dirección z . Esta suposición es consistente con el hecho de que un pequeño volumen en el centro de un objeto compacto es aproximadamente homogéneo, y la rotación puede efectuarse en una dirección privilegiada, que nosotros tomamos como la dirección del eje z ,

$$H^i = (0, 0, \sqrt{2a_0} \frac{\beta}{Q_3}, 0), \quad H_i = (0, 0, \sqrt{2a_0} \beta Q_3, 0). \quad (3.37)$$

El tensor Π_{ab}^{mag} es entonces el tensor simétrico de traza nula, proyectado con h_{ab} , y representa las presiones anisótropas debidas al campo magnético. Este tensor puede ser escrito como,

$$(\Pi^{mag})^a{}_b = \text{diag}[-\frac{1}{3}(a_1 + a_3)\beta^2, -\frac{1}{3}(a_1 + a_3)\beta^2, \frac{2}{3}(a_1 + a_3)\beta^2, 0]. \quad (3.38)$$

Es importante puntualizar que p_1 en (3.34) es en general, diferente de p_0 . Así,

$$p_0 = p_1 - (a_0 + 2a_1 - a_3) \frac{\beta^2}{3}, \quad (3.39)$$

donde $p_1 = p_{(\beta=0)} = \tilde{P}_{(\beta=0)}$ en (3.7) y (3.21) es la presión sin campo magnético. Solo cuando el campo magnético se anula $\beta = 0$, las presiones coinciden: $p_0 = p_1$ y el tensor de energía-momentum toma la forma del tensor del fluido perfecto con presión isotrópica. En este caso p_0 y U_0 corresponden a la presión y la densidad de energía de un gas clásico de neutrones.

3.5 Dinámica de cantidades covariantes

Como estamos interesados en la evolución de un elemento de volumen para el gas de neutrones asociado con la fuente (3.21), similarmente a como se hizo para el caso de electrones debemos reescribir las ecuaciones dinámicas de Einstein-Maxwell en términos de parámetros covariantes asociados con la cinemática local de un elemento de volumen como es descrito por un observador con 4-velocidad u^a . Para la métrica de Kasner en una representación comóvil de geodésicas, los parámetros locales cinemáticos no nulos son la expansión Θ , y la deformación σ^{ab} , dada por,

$$\Theta = u^a{}_{;a}, \quad (3.40)$$

$$\sigma_{ab} = u_{(a;b)} - \frac{\Theta}{3} h_{ab}, \quad (3.41)$$

donde $h_{ab} = u_a u_b + g_{ab}$ es el tensor de proyección y los paréntesis denotan simetrización respecto a los índices a, b . El escalar de expansión y las componentes del tensor de deformación para la métrica de Kasner tiene la forma,

$$\Theta = \frac{\dot{Q}_1}{Q_1} + \frac{\dot{Q}_2}{Q_2} + \frac{\dot{Q}_3}{Q_3}, \quad (3.42)$$

$$\sigma^a{}_b = \text{diag}[\sigma^x{}_x, \sigma^y{}_y, \sigma^z{}_z, 0] = \text{diag}[\Sigma_1, \Sigma_2, \Sigma_3, 0], \quad (3.43)$$

donde,²⁶

$$\Sigma_\alpha = \frac{2\dot{Q}_\alpha}{3Q_\alpha} - \frac{\dot{Q}_\beta}{3Q_\beta} - \frac{\dot{Q}_\gamma}{3Q_\gamma}, \quad \alpha \neq \beta \neq \gamma, (\alpha, \beta, \gamma = 1, 2, 3). \quad (3.44)$$

El tensor de deformación σ^a_b es de traza nula: $\sigma^a_a = 0$, entonces podemos eliminar una de las cantidades ($\Sigma_1, \Sigma_2, \Sigma_3$) y escribirlas en términos de las otras dos. En efecto, para el Bianchi-I con métrica Kasner, una de estas cantidades es suficiente para representar a σ^a_a , aunque para nosotros es conveniente mantener dos de estas variables, eliminar Σ_1 y escribirla en términos de (Σ_2, Σ_3). Por medio de (3.42) y (3.44), todas las derivadas de segundo orden de las funciones métricas en (3.24)-(3.27), (3.28) y (3.29) pueden ser reescritas como derivadas de primer orden de Θ, Σ_2 y Σ_3 . Después de varias manipulaciones podemos reescribir (3.24)-(3.27), (3.28) y (3.29) como un sistema de ecuaciones de evolución de primer orden, de la siguiente forma,

$$\dot{U} = -(U + p - \frac{2}{3}\mathcal{B}\mathcal{M})\Theta - \mathcal{B}\mathcal{M}\Sigma_3, \quad (3.45)$$

$$\dot{\Sigma}_2 = -\frac{\kappa\mathcal{B}\mathcal{M}}{3} - \Theta\Sigma_2, \quad (3.46)$$

$$\dot{\Sigma}_3 = \frac{2}{3}\kappa\mathcal{B}\mathcal{M} - \Theta\Sigma_3, \quad (3.47)$$

$$\dot{\Theta} = \kappa(\mathcal{B}\mathcal{M} + \frac{3}{2}(U - p)) - \Theta^2, \quad (3.48)$$

$$\dot{\beta} = \frac{2}{3}\beta(3\Sigma_3 - 2\Theta), \quad (3.49)$$

junto con estas ecuaciones, tenemos el siguiente vínculo,

$$-\Sigma_2^2 - \Sigma_2\Sigma_3 + \frac{\Theta^2}{3} - \Sigma_3^2 = \kappa U, \quad (3.50)$$

que proviene de (3.27). Este sistema de ecuaciones de primer orden de las variables $U, \beta, \Theta, \Sigma_2, \Sigma_3$ y el vínculo (3.50) están completamente determinados²⁷. La solución de este sistema describe la evolución dinámica de un volumen local en un gas de neutrones magnetizado y representa un modelo aproximado a un subsistema gran canónico para esta fuente en el centro de un objeto compacto.

3.5.1 Ecuaciones dinámicas

El sistema de ecuaciones de evolución (3.45)–(3.49) y (3.50) puede ser transformado en un sistema dinámico, de la misma forma a como se hizo en el capítulo anterior (ver sección 2.4), introduciendo las siguientes variables adimensionales,

$$H = \frac{\Theta}{3}, \quad \frac{d}{d\tau} = \frac{1}{H_0} \frac{d}{dt}, \quad (3.51)$$

²⁶Notar que a diferencia del capítulo anterior aquí, escribimos los resultados de una forma genérica, o sea A, B, C ahora son Q_1, Q_2, Q_3 esto nos resultará muy conveniente.

²⁷Note que el sistema (3.45)–(3.49), junto con el vínculo (3.50) es idéntico al sistema (2.34)–(2.38), cambiando Σ^y, Σ^z por Σ_2, Σ_3 .

junto con las funciones adimensionales,

$$\mathcal{H} = \frac{H}{H_0}, \quad S_2 = \frac{\Sigma_2}{H_0}, \quad S_3 = \frac{\Sigma_3}{H_0}, \quad \beta = \frac{\mathcal{B}}{\mathcal{B}_c}, \quad (3.52)$$

donde H_0 es una constante inversa a la longitud de escala, la cual hemos elegido por conveniencia como $3H_0^2 = \kappa\lambda \Rightarrow |H_0| = 1.66 \times 10^{-2} \text{ m}^{-1}$ ²⁸. La constante H_0 , provee una longitud de escala de $1/H_0 \sim 6 \times 10^3 \text{ m}$ que es adecuada con la longitud característica del sistema que estamos considerando. Las funciones S_2 y S_3 son las componentes del tensor de deformaciones normalizadas a esta escala, el tiempo adimensional τ puede ser negativo o positivo, dependiendo del signo de $H_0 = \pm \sqrt{\kappa\lambda/3}$.

Sustituyendo las variables (3.52) en el sistema (3.45)–(3.49) y en el vínculo (3.50) obtenemos un sistema idéntico al sistema (2.42) y (2.43)–(2.47)²⁹, por lo que no vemos necesidad de reescribirlo.

3.6 Soluciones numéricas y discusión física

Estamos interesados en estudiar el colapso de una configuración de un gas de neutrones magnetizados. Necesitamos considerar un elemento de volumen local y resolver el vínculo (2.42). De las dos soluciones que aporta la ecuación cuadrática del vínculo para \mathcal{H} , la raíz negativa es la que esta relacionada con soluciones de colapso. De modo que para asegurarnos del colapso local debemos imponer en las soluciones del sistema (2.43)–(2.47), que la expansión inicial Θ , sea negativa lo cual implica que en la hipersuperficie de tiempo inicial $\tau = 0$ que $\mathcal{H}(0) < 0$. Por tanto, a partir de (3.42) y (3.52) expresadas en términos del volumen local $V = \sqrt{\det g_{\alpha\beta}} = Q_1 Q_2 Q_3$ como,

$$V = V(0) \exp \left(3 \int_{\tau=0}^{\tau} \mathcal{H} d\tau \right). \quad (3.53)$$

Para investigar el colapso en dependencia de las direcciones en que se puede manifestar, podemos relacionar por medio de (3.42), (3.44), (3.51) y (3.52) a las componentes espaciales de la métrica y a la combinación $\mathcal{H} + S_\beta$, ya que,

$$Q_\beta(\tau) = Q_\beta(0) \exp \left[\int (\mathcal{H} + S_\beta) d\tau \right], \quad \beta = 1, 2, 3, \quad (3.54)$$

donde $Q_\beta(0)$, son constantes que pueden ser identificadas con los valores iniciales de $Q_\beta(\tau)$. Para resolver el sistema (2.43)–(2.47) usamos una gran cantidad de condiciones iniciales asociadas a las condiciones típicas que existen en ENs [40, 46, 47, 48, 49, 4, 50, 51]. Por ejemplo: $\mu = 2 \Rightarrow \rho \sim 10^{18} \text{ kg/m}^3$, $\beta_0 = 10^{-2} - 10^{-5}$, para campos magnéticos entre $10^{14} T$ y $10^{11} T$. Además, debemos imponer en todas las pruebas numéricas la condición de colapso para el volumen: $\mathcal{H}(0) < 0$, junto con: $S_2(0) = 0, \pm 1$, $S_3(0) = 0, \pm 1$, la cual corresponde con casos de deformación inicial nula y deformación inicial no nula en las direcciones y o z .

²⁸Note que H_0 , no es la constante de Hubble, dada por $H_0^{\text{cosm}} = 0.59 \times 10^{-26} \text{ m}^{-1}$.

²⁹Claramente debemos cambiar en (2.42) y (2.43)–(2.47), S^y, S^z por S_2, S_3 respectivamente. Además, de recordar que \dot{U} se reemplazo por $\dot{\mu}$ debido a que de (3.45) tenemos que: $U = U(\beta, \mu) \Rightarrow U, \tau = \lambda(\Gamma_{U, \mu} \mu, \tau + \Gamma_{U, \beta} \beta, \tau)$, lo cual nos permite obtener μ, τ a partir de U, τ .

La solución numérica para la función \mathcal{H} , es plotada en la Figura 3, para diferentes condiciones iniciales, muestra que $\mathcal{H} \rightarrow -\infty$, independientemente de las condiciones iniciales. El campo magnético tiende a aumentar, pero siempre se mantiene por debajo del campo crítico $\mathcal{B} = \mathcal{B}_c$. Este comportamiento es mostrado en la Figura 3, para todo un rango de condiciones iniciales.

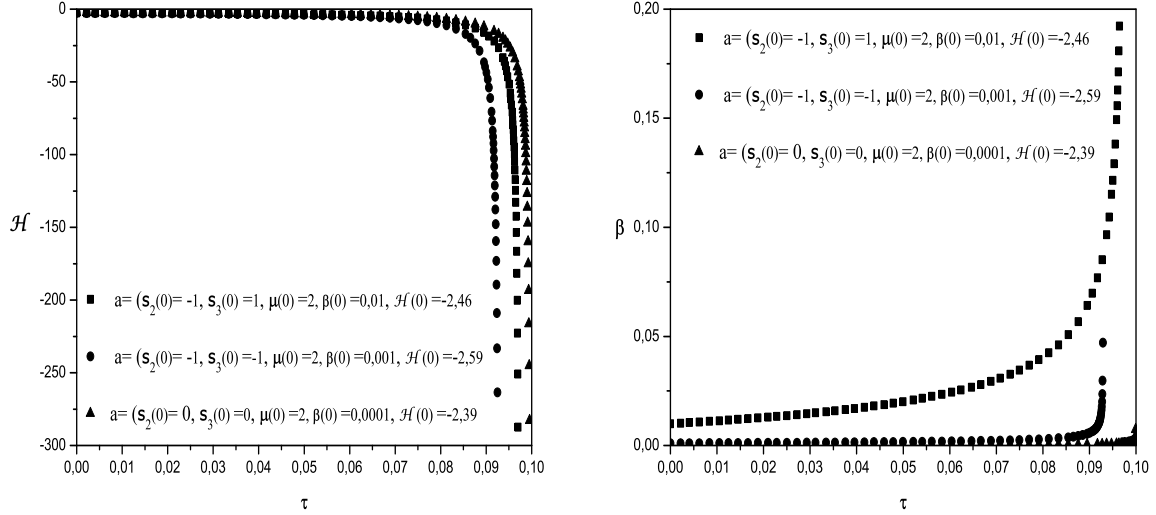


Figura 3: En el gráfico de la izquierda se muestra el comportamiento de \mathcal{H} vs τ para diferentes condiciones iniciales. En el gráfico de la derecha se muestra la intensidad del campo magnético adimensional ($\beta = \mathcal{B}/\mathcal{B}_c$), este tiene una tendencia a crecer, pero siempre se mantiene por debajo del campo crítico.

Es evidente concluir de estas gráficas que las cantidades $S_i + \mathcal{H} \rightarrow -\infty$, así como que los coeficientes métricos tiende a cero ($Q_1, Q_2, Q_3 \rightarrow 0$), lo cual muestra claramente que el elemento de volumen colapsa a una singularidad isotrópica tipo “punto”.

3.6.1 Espacio de fase

Del mismo modo a como se hizo en el capítulo 2, podemos usar el vínculo (2.42) para transformar el sistema (2.43)-(2.47) a un sistema de ecuaciones en función de las variables ($S_3, \beta, \mu, \mathcal{H}$). Si hacemos esto llegaremos al sistema (2.61)-(2.64) de la sección 2.5.2, donde solo tenemos que intercambiar S^z por S_3 .

Las trayectorias en la subsección 3-dimensional del espacio de fase, parametrizada por (S_3, β, μ) , son mostradas en la Figura 9, del Apéndice F. La evolución del sistema es determinada por el signo de H_0 . Para $\tau < 0 \Rightarrow H_0 = -\sqrt{\kappa\lambda/3}$, y $\mathcal{H} > 0$ el sistema evoluciona tendiendo al atractor estable “a”, mientras que si $\tau > 0 \Rightarrow H_0 = \sqrt{\kappa\lambda/3}$, y $\mathcal{H} < 0$ las trayectorias evolucionan hacia una singularidad “puntual”. Un estudio similar fue hecho en las restantes subsecciones 3-dimensionales del espacio de fase, obteniendo resultados similares.

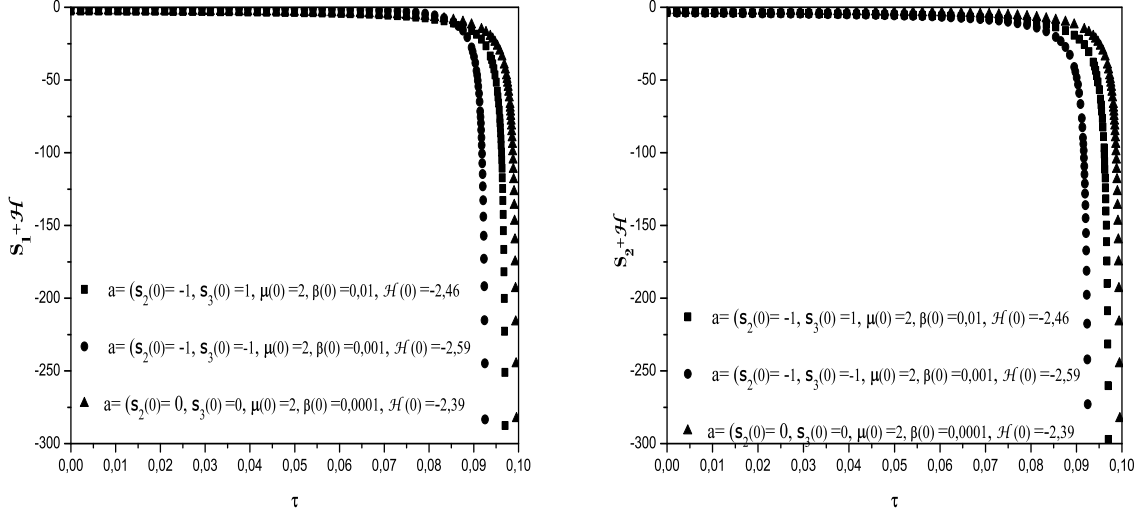


Figura 4: Es plotado el comportamiento de $(S_1 + \mathcal{H})$ y $(S_2 + \mathcal{H})$ versus τ . En estos gráficos se puede apreciar como estas cantidades tienden a $-\infty$, además de tener diferentes tiempos de colapso para diferentes condiciones iniciales.

3.7 Conclusiones del capítulo

Hemos usado en el modelo Bianchi-I para estudiar la evolución de un elemento de volumen de un gas magnetizado de neutrones, caracterizado físicamente por una ecuación de estado completamente relativista. Por otro lado, en nuestros estudios teóricos argumentamos la simplicidad de la geometría Bianchi como una aproximación a un subsistema gran canónico formado por una fuente magnetizada de neutrones y sometida a las condiciones existentes en el centro de un objeto compacto. Por este motivo, nuestro tratamiento debe ser concebido como una primera aproximación al problema, ya que cerca del centro del objeto compacto se espera que las métricas tengan un comportamiento aproximado, y esta descripción sería útil para entender la evolución local de elementos de volumen bajo estas condiciones.

Sin embargo, un apropiado examen sobre las limitaciones específicas de la dinámica de este modelo de juguete y su conexión concreta con los estudios astrofísicos actuales de los objetos compactos van más allá del alcance de este capítulo. En un futuro cercano, se

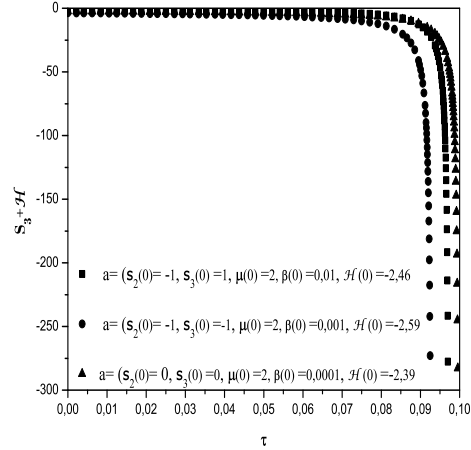


Figura 5: El gráfico muestra el comportamiento de $(S_3 + \mathcal{H})$ versus τ . Este comportamiento es similar a las trayectorias en la Fig 4, por consiguiente la cantidad $(S_3 + \mathcal{H}) \rightarrow -\infty$.

trabajaré con métodos perturbativos, métodos numéricos más elaborados y fuentes menos idealizadas.

Las ecuaciones de campo de Einstein-Maxwell para un gas magnetizado de neutrones en una geometría Bianchi-I fueron transformadas en un sistema de ecuaciones no-lineales de evolución, las cuales fueron resueltas numéricamente para una variedad de condiciones iniciales de colapso. Estas soluciones fueron analizadas cualitativamente como un sistema dinámico propio. Así los resultados que encontramos fueron:

- El estado final en la evolución de colapso de un elemento de volumen del sistema es una singularidad tipo “punto”. Este estado final ocurre para un ancho rango de condiciones iniciales asociadas con valores que típicamente existen en los objetos compactos.
- El campo magnético aumenta rápidamente a medida que el sistema evoluciona hacia la singularidad. Aunque su intensidad siempre se mantiene por debajo del campo magnético crítico. Este resultado es consistente con los valores obtenidos numéricamente para el campo magnético máximo en modelos con configuraciones magnetizadas y en rotación estable (ver [46]).
- El estudio del espacio de fase asociado con las ecuaciones dinámicas muestran que el sistema evoluciona, para $H > 0$, a un punto de equilibrio, (o sea, a una configuración estable). Es posible introducir una dependencia con la temperatura en la ecuación de estado. Al introducir la temperatura, la evolución del gas de neutrones podría asociarse con fuentes de neutrones a altas temperaturas en el contexto de universos magnetizados primordiales en modelos cosmológicos [58].

Es importante tener en cuenta que, al contrario del estudio dinámico para un gas de electrones en el capítulo anterior (ver también [52]), las singularidades anisótropas tipo “cigarro” no ocurren para todas las condiciones iniciales impuestas. Sin embargo, el efecto dinámico del campo magnético bajo condiciones críticas es un estado final de singularidad anisótropa alineada en la dirección del campo magnético. La exclusiva aparición de singularidades tipo “punto” para el gas de neutrones magnetizado sugiere que el estado final de evolución de este gas es dominado más intensamente por la fuerte gravedad en comparación con el gas de electrones. Esto es consistente con el hecho que los electrones están fuertemente acoplados al campo magnético mediante su carga eléctrica, sin embargo los neutrones tiene un acoplamiento más débil asociado con su momento magnético anómalo.

Los modelos con geometría Bianchi I en una representación comóvil tiene una severa limitación relacionada con los efectos dinámicos asociados con el campo magnético. Esto es importante cuando se consideran a los neutrones como fuente para los cuales la carga eléctrica es cero, no así su momento magnético anómalo.

Siendo estos espacio-tiempos espacialmente homogéneos con 4-velocidad ortonormal a las hipersuperficies de simetría maximal, la fuerza de Lorentz es cero: $f^b = qu_a F^{ab} = 0$. También, en efecto los modelos Bianchi-I son espacialmente planos y esto hace al modelo inadecuado para estudiar (incluso como modelo juguete) el colapso local de dicho volumen elemental magnetizado dentro de objetos localizados. O sea en tales objetos compactos la

curvatura espacial es fuertemente positiva y no plana. Sin embargo, en nuestro caso tales inconsistencias pueden ser sanadas (al menos parcialmente) si consideramos perturbaciones generales al modelo Bianchi-I, en los cuales la curvatura escalar y la 4-aceleración no son nulas a orden perturbativo. En estos casos es posible examinar los efectos de acoplamiento tipo magneto-curvatura asociados con fuerza de Lorentz y parámetro de desaceleración no nulos en la ecuación de Raychaudhuri (ver [56]). El uso de tales modelos Bianchi-I perturbados para la descripción de un gas con fuente de materia en general será presentado en el próximo capítulo.

A la par de introducir posibles perturbaciones al modelo Bianchi-I, otra posibilidad que mejoraría el modelo está sobre la idea de una mejor descripción dinámica de la fuente. Nuevas consideraciones para mejorar esto, podría ser suponer modelos Bianchi I, V, VII ó IX con 4-velocidad inclinada, la cual introduce más grados de libertad dinámicos, incluyendo hasta la posibilidad de rotación (ver [25] y referencias incluidas). Estos modelos podrían permitirnos un mejor estudio (menos restrictivo) de los efectos dinámicos. Estos efectos son reportados en [56], en cuyo trabajo se muestra que la tensión magnética y el colapso gravitatorio pueden presentar un acoplamiento no nulo con la 4-aceleración y vorticidad distinta de cero (incluso no perturbativa) en presencia de campo magnético.

Finalmente, un gas magnetizado conteniendo solamente neutrones puede ser teóricamente interesante, pero es muy idealizado como fuente para un objeto compacto. Así, se puede considerar como una extensión a este trabajo, adicionar además de los grados de libertad dinámicos (mencionados arriba), mezclas de neutrones, electrones y protones, acompañados con sus respectivas ecuaciones de balance y potenciales químicos adecuados, en comparación con otras ecuaciones de estado [46, 50, 51]. Todas estas extensiones están bajo consideración para trabajos futuros.

4. CONDICIONES PARA FRENAR EL COLAPSO

Es posible mostrar, a partir de la ecuación de Raychaudhuri (ecuación (1.47) del Capítulo 1), como el acoplamiento relativista entre magnetismo y geometría genera una tensión magnética que puede “enrollar” las líneas de fuerza del campo magnético. Este efecto también se identifica con una “elasticidad” de estas líneas de fuerza del campo, las cuales tienden a mantenerse rectas. Concretamente, esta tensión magnética genera fuerzas de magneto-curvatura cuya manifestación cinemática es la posibilidad de prevenir la convergencia de líneas de universo (no necesariamente geodésicas) que inicialmente convergen. Evidentemente, la consecuencia principal de este efecto es la posibilidad de frenar el colapso gravitacional de las fuentes asociadas a estas líneas de universo, lo cual (en caso de suceder) ocurriría sin violar las condiciones de energía estándares.³⁰

Un resultado interesante que trata sobre el colapso gravitacional de un fluido magnetizado sin simetría esférica fue obtenido por K. Thorne en el llamado “Universo magnetizado de Melvin” [59, 60, 61, 62, 23]. En dicho modelo el colapso del sistema se frena antes de alcanzar la singularidad, lo cual sucede debido al cambio de la densidad de energía de la materia magnética. Mas recientemente, C.G. Tsagas ha encontrado [56] que existe un acoplamiento intrínseco entre el magnetismo y la geometría que surge de las propiedades de la tensión de las líneas de fuerza magnéticas (la “elasticidad”), y cuya consecuencia es el incremento a la resistencia al colapso. Esta tensión magneto-geométrica es la generalización relativista del mismo efecto en la física newtoniana, apareciendo algunas veces en la literatura como “frenado magnético”.

En el presente capítulo examinamos, haciendo uso de la ecuación de Raychaudhuri, el efecto del campo magnético sobre el colapso gravitatorio. Para llevar a cabo este objetivo tomamos en cuenta el trabajo de Tsagas en [56] y extendemos, al contexto astrofísico, el formalismo desarrollado por C.G. Tsagas y R. Martens [56, 57, 62, 63, 64]. Retomando las limitaciones planteadas en los dos capítulos anteriores, pasaremos a calcular las cantidades dinámicas covariantes que aparecen en la ecuación de Raychaudhuri (ver Capítulo 1) para un modelo Bianchi-I perturbado. Trataremos la cuestión del colapso de la fuente magnetizada en forma cualitativa, sin resolver las ecuaciones de Einstein-Maxwell. El objetivo de dicho estudio cualitativo es obtener información sobre el rol de las tensiones magnéticas y entender las implicaciones potenciales de estas en modelar la evolución de fuentes magnetizadas en situaciones menos idealizadas.

4.1 Espacio-tiempo Bianchi-I perturbado

Usando 1-formas diferenciales³¹, el elemento de línea de un espacio-tiempo Bianchi I perturbado puede ser escrito como,

$$ds^2 = -(w^0)^2 + (w^{x^1})^2 + (w^{x^2})^2 + (w^{x^3})^2, \quad (4.1)$$

³⁰ Además de la tensión magnética, el tensor de deformación distorsiona la distribución de campos gradientes y, por lo tanto, también podría contribuir a resistir o favorecer al colapso.

³¹ Las 1-formas diferenciales constituyen la base de cualquier tensor n -veces covariante o sea $T = T_{a_1 a_2 \dots a_n} w^{a_1} w^{a_2} \dots w^{a_n}$, para mayor información ver [26]

donde,

$$w^0 = \sqrt{1 + q_0} dx^0, \quad (4.2)$$

$$w^{x^1} = Q_1 \sqrt{1 + q_1} dx^1, \quad (4.3)$$

$$w^{x^2} = Q_2 \sqrt{1 + q_2} dx^2, \quad (4.4)$$

$$w^{x^3} = Q_3 \sqrt{1 + q_3} dx^3, \quad (4.5)$$

y las $q_\mu = q_\mu(t, \vec{x})$, $\mu = 0, 1, 2, 3$ son las funciones que representan las perturbaciones a la métrica de Kasner, por lo que satisfacen $|q_\mu| \ll 1$, mientras que las $Q_j = Q_j(t)$, $j = 1, 2, 3$.³² son las funciones no perturbadas, de modo que recuperamos la métrica de Kasner si $q_\mu = 0$. Elegimos la 4-velocidad u^α ortogonal a las hipersuperficies espaciales, entonces,

$$u^\alpha = (1 + q_0)^{-1/2} \delta_0^\alpha, \quad u^\alpha u_\alpha = -1, \quad (4.6)$$

por lo que la 4-aceleración $\dot{u}_\alpha = u^\beta u_{\alpha;\beta}$ toma la forma,

$$\dot{u}_\alpha = \frac{1}{2(1 + q_0)} [0, \partial_{x_1} q_0, \partial_{x_2} q_0, \partial_{x_3} q_0]. \quad (4.7)$$

4.2 Cálculo de cantidades dinámicas y ecuación de Raychaudhuri

Tomando en cuenta la métrica del modelo Bianchi I perturbado, las variables dinámicas asociadas a la ecuación de Raychaudhuri (ver capítulo 1) pueden ser directamente calculadas. El escalar de expansión y el tensor de deformaciones serán,

$$\begin{aligned} \Theta &= \frac{1}{\sqrt{1 + q_0}} \sum_{i=1}^3 \left(\frac{\dot{Q}_i}{Q_i} + \frac{\dot{q}_i}{2(1 + q_i)} \right), \\ &= \frac{1}{\sqrt{1 + q_0}} \sum_{i=1}^3 \frac{\partial}{\partial t} \left[\ln \left(Q_i \sqrt{1 + q_i} \right) \right], \end{aligned} \quad (4.8)$$

$$\sigma^\mu_\nu = \text{diag}[\Sigma_1, \Sigma_2, \Sigma_3, 0], \quad (4.9)$$

$$\begin{aligned} \Sigma_i &= \frac{1}{3\sqrt{1 + q_0}} \left(\frac{2\dot{Q}_i}{Q_i} - \frac{\dot{Q}_j}{Q_j} - \frac{\dot{Q}_k}{Q_k} + \frac{\dot{q}_i}{1 + q_i} - \frac{\dot{q}_j}{2(1 + q_j)} - \frac{\dot{q}_k}{2(1 + q_k)} \right), \\ &i \neq j \neq k \ (i, j, k = 1, 2, 3). \end{aligned}$$

El parámetro de deceleración $A \equiv u^i_{;i}$ y el escalar de deformación σ^2 toman la forma,

$$A = \frac{1}{2(1 + q_0)} \sum_{k=1}^3 \frac{1}{Q_k^2(1 + q_k)} \left[\partial_k^2 q_0 - \frac{\partial_k q_0^2}{2(1 + q_0)} + \frac{\partial_k q_0}{2} \left(-\frac{\partial_k q_k}{1 + q_k} + \sum_{l=1}^{(l \neq k)} \frac{\partial_k q_l}{1 + q_l} \right) \right], \quad (4.10)$$

³²En este capítulo, a diferencia de los otros capítulos, usamos índices griegos para el espacio-tiempo e índices latinos para la parte espacial. Además, usaremos indistintamente para la derivada covariante el punto y coma “;” o el símbolo “∇”.

$$\begin{aligned}\sigma^2 &= \frac{1}{2}\sigma^{\mu\nu}\sigma_{\mu\nu} = \frac{\lambda^2}{3} = \frac{1}{3(1+q_0)} \sum_{k=1}^3 \left\{ \left(\frac{\dot{Q}_k}{Q_k} + \frac{\dot{q}_k}{2(1+q_k)} \right)^2 - \right. \\ &\quad \left. - \frac{1}{2} \sum_{l=1}^{(l \neq k)} \left(\frac{\dot{Q}_k}{Q_k} + \frac{\dot{q}_k}{2(1+q_k)} \right) \left(\frac{\dot{Q}_l}{Q_l} + \frac{\dot{q}_l}{2(1+q_l)} \right) \right\}.\end{aligned}\quad (4.11)$$

Por otra parte, nos será útil definir el siguiente parámetro adimensional de impacto de la deformación,

$$\begin{aligned}\zeta &= \frac{\lambda}{\Theta} = \left\{ \sum_{k=1}^3 \left\{ \left(\frac{\dot{Q}_k}{Q_k} + \frac{\dot{q}_k}{2(1+q_k)} \right)^2 - \right. \right. \\ &\quad \left. \left. - \frac{1}{2} \sum_{l=1}^{(l \neq k)} \left(\frac{\dot{Q}_k}{Q_k} + \frac{\dot{q}_k}{2(1+q_k)} \right) \left(\frac{\dot{Q}_l}{Q_l} + \frac{\dot{q}_l}{2(1+q_l)} \right) \right\} \right\}^{\frac{1}{2}} \frac{1}{\sum_{i=1}^3 \left(\frac{\dot{Q}_i}{Q_i} + \frac{\dot{q}_i}{2(1+q_i)} \right)}.\end{aligned}$$

Dada la existencia de una fuente magnetizada (con campo eléctrico nulo), el tensor de energía-momento viene dado por,³³

$$T_{\mu\nu} = (e_0 + \frac{B^2}{2})u_\mu u_\nu + (p_0 + \frac{B^2}{6})h_{\mu\nu} + \Pi_{\mu\nu}, \quad (4.12)$$

el cual corresponde al tipo de fuentes conocido como el fluido ideal “conductor perfecto” o de “conductividad infinita” [65]. Como p_0 y μ son las presiones y la densidad de energía del gas isótropo, y H^2 la densidad de energía del campo magnético [$J m^{-3}$], entonces los factores que miden las anisotropías son,

$$w = \frac{p_0}{\mu} \equiv p_0(t, \vec{x})/e_0, \quad h = \frac{H^2}{\mu} \equiv B^2(t, \vec{x})/e_0. \quad (4.13)$$

Sin embargo, la existencia de las perturbaciones q_k implica un entorno anisótropico e inhomogéneo que generaliza la anisotropía del modelo Bianchi I. Por lo tanto, la ecuación de conservación asociada al tensor energía-momento que hemos definido en (4.12) viene a ser (ver [63]),

$$(e_0 + p_0 + B^2)\dot{w}^\mu + h^{\mu\nu}(p_0 + \frac{1}{2}B^2)_{;\nu} - h^\mu{}_\nu B^\nu{}_{;\gamma} B^\gamma - B^\mu B^\nu{}_{;\nu} = 0, \quad (4.14)$$

la cual también se puede escribir como,

$$(e_0 + p_0 + \frac{2}{3}B^2)\dot{w}_\mu = -D_\mu p_0 - a_\mu - \Pi_{\mu\nu}\dot{w}^\nu, \quad (4.15)$$

donde $D_\mu p_0 = h^\nu{}_\mu \nabla_\nu p_0$ denota el gradiente de presión medido por observadores en reposo comóviles con el fluido. Es importante enfatizar que todos los términos en (4.15) se deben exclusivamente a la inhomogeneidad introducida por las perturbaciones.

En el modelo Bianchi I “puro” sin perturbaciones, al ser homogéneo y al no haber flujos térmicos disipativos o efectos de rotación que puedan generar perturbaciones fuera

³³Note que aquí, a diferencia de los tratamientos anteriores, sí hemos incluido la aproximación de árbol, o sea la contribución clásica del campo magnético B^2 .

de las condiciones de equilibrio, es evidente que la anisotropía de un fluido ideal debe ser causada solo por el campo magnético. Sin embargo, la existencia de las perturbaciones implica que las desviaciones de la homogeneidad y la isotropía no solo se deben al campo magnético, por lo que podemos estudiar el acoplamiento de la geometría con el campo magnético en un contexto mucho más general que incorpora también a la inhomogeneidad (además de la anisotropía).

Si llevamos a cabo un análisis gravito-magnético, vemos que a_μ es el vector que determina la aceleración asociada a la fuerza de Lorentz, la cual siempre es normal a la dirección de las líneas del campo $a_\mu B^\mu = 0$ (además se cumple $a_\mu u^a = 0$), y surge cuando el modelo magnético distorsiona las condiciones de equilibrio local. Este vector aceleración tiene la forma,

$$a_\mu = -\frac{1}{2}D_\mu B^2 + B^\nu D_\nu B_\mu. \quad (4.16)$$

El primer término del lado derecho de (4.16) viene dado por la “presión magnética” y el segundo viene de la “tensión del campo”. Si este último no es balanceado aparecerá una fuerza neta sobre las partículas del fluido. Para el tensor energía-momento (4.12), el cual es anisotrópico y corresponde a un fluido conductor infinito, todos los términos en (4.15) son no nulos. La ecuación cinemática de propagación, es la ecuación de Raychaudhuri vista en el capítulo 1 con $\Lambda = 0$, la cual reescribimos como,

$$\dot{\Theta} + \frac{\Theta^2}{3} + 2\sigma^2 + \frac{\mu}{2}(1 + 3w + h) - A = 0, \quad (4.17)$$

$$\dot{\Theta} = \frac{1}{\sqrt{1+q_0}} \sum_{k=1}^3 \left[\frac{\ddot{q}_k}{2(1+q_k)} + \frac{\ddot{Q}_k}{Q_k} - \frac{\dot{Q}_k^2}{Q_k^2} - \frac{1}{2} \frac{\dot{q}_k^2}{(1+q_k)^2} - \frac{\dot{q}_0}{2(1+q_0)} \left(\frac{\dot{q}_k}{2(1+q_k)} + \frac{\dot{Q}_k}{Q_k} \right) \right], \quad (4.18)$$

$$\frac{\Theta^2}{3} = \frac{1}{3(1+q_0)} \sum_{k=1}^3 \left[\frac{\dot{Q}_k^2}{Q_k^2} + \frac{\dot{q}_k^2}{4(1+q_k)^2} + \sum_{j=1}^{j \neq k} \left(\frac{\dot{Q}_k \dot{Q}_j}{Q_k Q_j} + \frac{\dot{q}_k \dot{q}_j}{4(1+q_k)(1+q_j)} \right) \right], \quad (4.19)$$

$$\begin{aligned} 2\sigma^2 &= \frac{2}{3(1+q_0)} \sum_{k=1}^3 \left\{ \frac{\dot{Q}_k^2}{Q_k^2} + \frac{\dot{q}_k^2}{4(1+q_k)^2} + \frac{\dot{Q}_k \dot{q}_k}{Q_k(1+q_k)} - \right. \\ &\quad \left. - \frac{1}{2} \sum_{l=1}^{l \neq k} \left(\frac{\dot{Q}_k \dot{Q}_l}{Q_k Q_l} + \frac{\dot{q}_k \dot{q}_l}{4(1+q_k)(1+q_l)} + \frac{\dot{q}_k \dot{Q}_l}{(1+q_k)Q_l} \right) \right\}, \\ &+ \frac{\mu}{2}(1 + 3w + h) = \frac{1}{2}(e_0 + 3p_0 + B^2) = \\ &\equiv \frac{1}{2(1+q_0)} \sum_{k=1}^3 \left\{ -\frac{\ddot{q}_k}{(1+q_k)} - \frac{2\ddot{Q}_k}{Q_k} + \frac{1}{2} \frac{\dot{q}_k^2}{(1+q_k)^2} + \frac{1}{2} \frac{\dot{q}_0}{(1+q_0)} \frac{\dot{q}_k}{(1+q_k)} \right. \\ &\quad \left. + \frac{\dot{Q}_k}{Q_k} \left(\frac{\dot{q}_0}{(1+q_0)} - \frac{2\dot{q}_k}{(1+q_k)} \right) \right\} + A. \end{aligned}$$

Note que tanto el escalar de expansión como el tensor de deformaciones son cantidades positivas, y si se cumple la condición de energía fuerte, entonces el escalar de Raychaudhuri

$(\mathcal{R}_{ab}u^a u^b)$ debe ser mayor que cero, o sea, se cumple que $\mu(1 + 3w + h) > 0$. Entonces, el único término que se opone al colapso gravito-magnético es el coeficiente de deceleración A (si es que resulta ser positivo).

De las ecuaciones de Einstein obtenemos para este caso, que las componentes $T_1^1 = T_2^2 = T_3^3$ toman la forma,

$$\sum_{k,j=0}^3 \frac{\partial_x q_0}{4Q_k^2(1+q_0)} \left\{ \frac{\partial_k q_j}{(1+q_k)} - \frac{\partial_k q_k}{(1+q_k)^2} \right\} = \kappa(p_0 + \frac{B^2}{6}). \quad (4.20)$$

El término T_4^4 de la ecuación de Einstein será,

$$\begin{aligned} \frac{\kappa}{2}(2e_0 + B^2) = & \sum_{k,l=1}^{k \neq l} \left\{ -\frac{1}{2} \frac{\partial_k^2 q_l}{(1+q_k)(1+q_l)Q_k^2} + \frac{1}{8(1+q_0)} \frac{\dot{q}_k \dot{q}_l}{(1+q_k)(1+q_l)} \right. \\ & + \frac{1}{(1+q_0)} \frac{\dot{Q}_k}{2Q_k} \frac{\dot{q}_l}{(1+q_l)} + \frac{1}{8} \frac{\partial_k q_l^2}{(1+q_k)(1+q_l)^2 Q_k^2} + \\ & + \frac{1}{4} \frac{\partial_k q_k \partial_k q_l}{(1+q_k)^2(1+q_l)Q_k^2} + \frac{1}{2(1+q_0)} \frac{\dot{Q}_k \dot{Q}_l}{Q_k Q_l} + \\ & \left. + \sum_{m=1}^{l \neq k \neq m} \frac{\partial_k q_m}{4Q_k^2(1+q_k)(1+q_m)} \left(-\frac{\partial_k q_l}{(1+q_l)} + \frac{\partial_k q_k}{(1+q_k)} + \frac{\partial_k q_m}{(1+q_m)} \right) \right\}, \end{aligned} \quad (4.21)$$

y la curvatura escalar 3-dimensional toma la forma no nula,

$${}^{(3)}\mathcal{R} = \sum_{k \neq j=1}^3 \frac{1}{(1+q_k)(1+q_j)Q_j^2} \left\{ -\partial_j^2 q_k + \frac{\partial_j q_k^2}{2(1+q_k)} + \frac{\partial_j q_k \partial_j q_j}{2(1+q_j)} - \sum_{m \neq j \neq k=1}^3 \frac{\partial_j q_k \partial_j q_m}{2(1+q_m)} \right\}. \quad (4.22)$$

Note que la curvatura 3-dimensional (al igual que A) solo depende de las perturbaciones, y sus derivadas espaciales. Si pasamos a calcular el escalar de Ricci 4-dimensional, obtendremos expresiones similares, pero también dependerán de las funciones Q_k y de sus derivadas, tanto espaciales como temporales. Para el caso no perturbado, se obtiene la simple expresión,

$$\mathcal{R} = 2 \sum_{k=1}^3 \frac{\ddot{Q}_k}{Q_k} + \sum_{m \neq j \neq k=1}^3 \frac{\dot{Q}_k \dot{Q}_j}{Q_k Q_j}. \quad (4.23)$$

4.3 Conclusiones del capítulo

Considerando perturbaciones a la métrica de Kasner (modelo Bianchi I), hemos calculado la serie completa de parámetros cinemáticos que contiene la ecuación de Raychaudhuri, para una 4-velocidad comóvil. Este resultado es importante desde el punto de vista teórico, pues nos permite examinar las condiciones de colapso para fuentes magnetizadas en el contexto de un espacio-tiempo inhomogéneo (aunque la inhomogeneidad es perturbativa). Como se puede apreciar, al introducir las perturbaciones se complica en gran medida la forma explícita de los resultados analíticos, pero estos nos aportan información cualitativa importante.

Se puede notar inmediatamente que las perturbaciones aparecen en todas las expresiones, pero una dependencia directa de las perturbaciones solo se manifiesta en el parámetro de deceleración A y en la curvatura 3-dimensional ${}^{(3)}\mathcal{R}$. O sea, estas son las variables que nos traen información de los efectos perturbadores del campo magnético sobre las fuentes de materia-energía del sistema.

El solo hecho de tener una curvatura 3-dimensional no nula (aunque sea perturbativa) ya nos dice que este modelo perturbado (como suponíamos desde las conclusiones del capítulo anterior) es más realista que un Bianchi-I puro, el cual como ya sabemos es plano en sus hipersuperficies tridimensionales. Si exigimos que la cantidad (4.22) sea positiva entonces logramos una mejor aproximación a una descripción “realista” de un volumen elemental dentro de un objeto compacto. Por otra parte, si la cantidad (4.10) resulta ser positiva, entonces los efectos de las perturbaciones tienden a frenar el colapso, y en caso contrario a ayudar a colapsar al sistema.

Si proponemos formas analíticas explícitas de las perturbaciones q_k , podríamos usar las formas generales de las soluciones analíticas que hemos dado para explorar los efectos cinemáticos y dinámicos mencionados. Esto constituye un tema interesante a tomar en cuenta para investigaciones futuras, pero antes debemos encontrar (o al menos suponer) cual es la forma explícita de las perturbaciones que mejor corresponda a una condición física menos idealizada del colapso gravitacional de un sistema magnetizado.

Un punto en el cual no podemos ofrecer predicción alguna es en el tipo de singularidad que pudiera resultar del colapso gravitacional: singularidades tipo “cigarro” o “punto”. El escalar de Ricci 4-dimensional también depende de las perturbaciones, de sus primeras derivadas espaciales, y de sus primeras y segundas derivadas temporales, y también depende de derivadas primeras y segundas temporales de los coeficientes métricos. Por tanto, para analizar su comportamiento en condiciones singulares (cuando este y los demás escalares de curvatura divergen) tendríamos que conocer la forma explícita de las perturbaciones (o al menos proponer formas específicas). El análisis que hemos realizado cumple con el objetivo de este capítulo: encontrar resultados analíticos y cualitativos, lo más generales posibles, que contribuyan al entendimiento de la interacción entre la geometría y el campo magnético, así como faciliten la elaboración de estudios numéricos para casos particulares que podrían ser llevados a cabo en el futuro.

La limitación principal del modelo Bianchi I perturbado es que las funciones q_k deben ser mucho menores que la unidad, de modo que desde el inicio ya estamos imponiendo una fuerte limitación a la geometría y a la dinámica de las fuentes (como sucede en todo tipo de análisis perturbativo). Si las perturbaciones influyen sobre la intensidad del campo magnético, entonces dicho campo nunca llegaría a vencer a la intensidad del campo gravitatorio. Por esta razón, para lograr una mejor descripción y entendimiento de la dinámica del colapso gravito-magnético nos vemos en la necesidad de considerar para trabajos futuros, modelos Bianchi con más grados de libertad que el modelo I.

Part II

PEQUEÑOS AGUJEROS NEGROS

5. ENTROPÍA DE AGUJEROS NEGROS

5.1 Entropía de agujeros negros: pelos clásicos

Existe una simpática expresión sobre los ANs, que solía repetir John Wheeler, “los ANs no tienen pelos”. Con esto quería decir que, excepto por unas pocas características que los distinguen, todos los ANs resultan parecidos no exhiben ningún “peinado” personal, algo característico que nos permita diferenciar un AN de otro. Lo único que los caracteriza son su masa, su carga eléctrica, y su momento angular. Nadie podría distinguir dos ANs con estos mismos valores característicos, y, precisamente, esta similitud de los rasgos definitorios ha hecho creer, a lo largo de los años, la “extraña suposición” de que los ANs podrían ser gigantes cascas partículas elementales.

La Teoría de Cuerdas nos ha permitido avanzar en esta dirección pues variedades como la de Calabi-Yau³⁴ presentan interacciones internas entre sus subvariedades, que apantalladas por Branas³⁵ envolventes, permiten obtener soluciones de AN sin masa, esto es lo más similar a un fotón o sea pura radiación electromagnética en nuestro mundo.

Por otro lado y menos especulativo, los ANs deberían estar rodeados por un anillo de luz que revela sus propiedades fundamentales. Muy pocos astrónomos ponen en duda la existencia de los ANs, aunque la evidencia de su existencia es indirecta, a partir del comportamiento de otros objetos cercanos a los ANs, tales como estrellas brillantes. Estos objetos literalmente podrían ser engullidos por el AN y en caso de dar señales medibles de tal comportamiento, entonces esto constituiría una prueba de su existencia. Obviamente, para la comunidad de Astrónomos y para los Físicos, la detección directa continúa siendo un desafío.

Por ejemplo, en los dos últimos años, se ha utilizado la interferometría para crear imágenes del AN central de nuestra galaxia. Estas imágenes junto con las que se esperan obtener en los próximos años deberían ser capaces de resolver detalles sobre la escala del horizonte de sucesos del AN.

Retornemos entonces al conocido “teorema del no pelo” que naturalmente impone unos límites estrictos a la influencia que el AN pueda ejercer en su entorno. Imágenes de un AN o más bien de la materia que lo circunda, podrían refutar el teorema, si se prueba que dicha materia se distorsiona de alguna manera. Tim Johannsen y Psaltis Dimitrios [66], de la Universidad de Arizona, en Tucson, dicen que hay una manera fácil de probar el teorema. En la actualidad, calculan que los ANs deben estar rodeados por un anillo de luz.

Esta luz proviene de los fotones que han quedado atrapados en una órbita circular alrededor del AN, en las afueras del horizonte de sucesos, que luego se dispersa por el gas y el polvo que cae en el AN. Este anillo debe ser mucho más brillante que el gas y el polvo que lo rodea, debe tener un diámetro que es unas diez veces el tamaño del AN, lo que significa que debería ser visible en las imágenes que pronto estarán disponibles y que proporcionarán una medida directa de la masa del AN. La forma de este anillo, depende de las propiedades del AN, y no de la estructura de la materia que cae en el AN. Eso significa que la forma del

³⁴Es una variedad con 6-dimensiones enrolladas (compactificadas), y presenta dos esferas empujadas una de 2-dimensiones y otra de 3-dimensiones que dinámicamente pueden interactuar.

³⁵Es un objeto extendido, sobre el cual viven las cuerdas.

anillo es la medida de las propiedades del AN y cualquier asimetría en el anillo será una violación directa del teorema del no pelo. Los astrónomos no tienen que mirar muy lejos para encontrar tal anillo. “El AN del centro de la Vía Láctea”, es el candidato ideal para probar el teorema del no pelo debido a su brillo, a su gran tamaño, momento angular, y relativa cercanía.

La solución estacionaria de Schwarzschild (1916) la discutimos en el capítulo 1 y la ecuación (1.4), muestra el estado final que debe tener todo colapso gravitacional con simetría central. Históricamente, después surgieron otras dos familias de soluciones, la solución con carga eléctrica “ e ” de Reissner (1916)–Nordstrom (1918) y posteriormente, la solución de Kerr (1963) con momento angular “ $J = a M$ ”. Una generalización de la familia de Kerr, cargada fue obtenida por Newman en 1965. Esta última solución de Kerr cargada está formada por tres parámetros, y la métrica del espacio-tiempo junto con el vector potencial electromagnético son dados matemáticamente por la ecuación siguiente,

$$d^2s = -\left(\frac{\Delta - a^2 \sin^2\theta}{\Sigma}\right) dt^2 - \frac{2a \sin^2\theta(r^2 + a^2 - \Delta)}{\Sigma} dt d\phi + \left[\frac{(r^2 + a^2)^2 - \Delta a^2 \sin^2\theta}{\Sigma}\right] \sin^2\theta d\phi^2 + \frac{\Sigma}{\Delta} dr^2 + \Sigma d\theta^2, \quad (5.1)$$

$$A_a = -\frac{er}{\Sigma} [(dt)_a - a \sin^2\theta (d\phi)_a], \quad (5.2)$$

donde,

$$\Sigma = r^2 + a^2 \cos^2\theta, \quad (5.3)$$

$$\Delta = r^2 + a^2 + e^2 - 2Mr, \quad (5.4)$$

y e , a , y M son los tres parámetros de la familia. Cuando $e = 0$, tenemos a $A_a = 0$, la métrica del espacio-tiempo se reduce a la familia de soluciones de Kerr. Cuando $a = 0$ se recupera la solución de Reissner-Nordstrom y cuando $e = a = 0$, la ecuación (5.1) se reduce a la solución de Schwarzschild. Así, todas las soluciones de ANs, estacionarias conocidas están contenidas dentro de la familia 3-paramétrica, según la TGR.

En todas las soluciones que tienen una interpretación física directa, aparecen los 3-parámetros e , a y M . Para cualquier 2-esfera, S , en la región asintótica, tenemos que,

$$\frac{1}{2} \int_S \epsilon_{abcd} F^{cd} dx^a \wedge dx^b = 4\pi e, \quad (5.5)$$

$$-\frac{1}{8\pi} \int_S \epsilon_{abcd} \nabla^c \xi^d dx^a \wedge dx^b = M, \quad (5.6)$$

$$\frac{1}{16\pi} \int_S \epsilon_{abcd} \nabla^c \psi^d dx^a \wedge dx^b = M a, \quad (5.7)$$

donde, $\xi^a = (\partial/\partial t)^a$, y $\psi^a = (\partial/\partial \phi)^a$ son los vectores de Killing (ver [27])³⁶.

5.2 Mecanismo de Sen

Es conocido que la Teoría de Cuerdas en el límite de bajas energías surgen acoplamientos entre la gravedad y otros campos. Estas teorías también contienen soluciones tipo AN. Así

³⁶Para más información sobre la notación usada en (5.5)–(5.7), ver pág 151, [26] o Apéndice B de [27].

la teoría de cuerdas brinda un cuadro de trabajo para estudiar las propiedades de los ANs, sean clásicos o cuánticos [67].

Clásicamente los ANs son soluciones de las ecuaciones de Einstein con propiedades especiales. Todos los ANs tienen una superficie hipotética que los rodea, llamada horizonte de eventos de donde ningún objeto puede escapar después de atravesar su frontera. En la teoría cuántica los ANs se comportan como cuerpos negros con temperatura finita conocida como “temperatura de Hawking”. Así mismo emiten radiación Hawking en correspondencia con las leyes de radiación del cuerpo negro, e interactúan con la materia como un sistema termodinámico. Si nos basamos en leyes aproximadas donde se ignoran términos de derivación superior a segundo orden, la entropía de los ANs vendrá dada por la expresión de Bekenstein–Hawking,

$$S_{BH} = A/(4G_N), \quad (5.8)$$

donde A es el área del horizonte de eventos y G_N es la constante de Newton. Una importante pregunta es si: “¿Podremos entender esta entropía desde el punto de vista estadístico, o sea como el logaritmo del número de microestados cuánticos asociados al AN?”.

Aunque no se tiene una respuesta definitiva a esta pregunta, para una clase especial de AN en teoría de cuerdas conocido como “AN extremal”, esta pregunta ha sido contestada y en forma afirmativa. Estos ANs tienen temperatura cero por lo que no emiten radiación Hawking y son usualmente estables. Algunas veces (no siempre) ellos son invariantes ante cierto número de transformaciones de supersimetría y en ese caso se llaman “ANs BPS”. Debido a la estabilidad y a las propiedades supersimétricas, se tiene cierto control sobre la dinámica de la configuración microscópica (esencialmente envuelven D-branas, cuerdas fundamentales y otros objetos solitónicos) de estos ANs. Esto permite calcular la degeneración de tales estados con un acoplamiento débil donde los efectos de “backreaction”³⁷ del sistema pueden ser ignorados. La supersimetría nos permite extender el resultado al caso de acoplamiento fuerte donde el “backreaction” gravitacional pasa a ser importante y el sistema puede ser descrito como un AN. En teoría de cuerdas nos encontramos con una gran variedad de ANs extremos tipo BPS, que en el límite de AN grande [68], la entropía toma la forma,

$$S_{BH}(Q) = S_{est}(Q), \quad (5.9)$$

donde $S_{BH}(Q)$ es la entropía de Bekenstein-Hawking de un AN extremal debido a las cargas “ Q ”, y $S_{est}(Q)$ es definida como,

$$S_{est}(Q) = \ln d(Q), \quad (5.10)$$

donde $d(Q)$ es la degeneración de los estados BPS en la teoría debido al conjunto de cargas “ Q ”. Esto nos brinda un buen entendimiento de la entropía de Bekenstein-Hawking desde el punto de vista microscópico.

³⁷En física teórica la “backreaction” es frecuentemente utilizada para calcular el comportamiento de una partícula de prueba u objeto, en un campo externo. Por ejemplo, si la partícula de prueba tiene masa o carga infinitesimal entonces se ignora la “backreaction”, sin embargo dicha partícula posee carga y masa no nula lo que altera a su vez el asumir campo externo fijo. Por esto, en ciertos casos se debe tomar en cuenta su efecto, entonces los efectos de “backreaction” no se podrán despreciar.

Las comparaciones entre S_{BH} y S_{est} fueron hechas primeramente en el límite de cargas grandes. En este límite el horizonte es grande de modo que la curvatura y otros campos de fuerza en él son pequeños y podemos calcular la entropía usando (5.9) sin preocuparnos por correcciones con términos de orden superior de derivación³⁸ a la acción efectiva de cuerdas. Además el cálculo de $S_{est}(Q)$ se simplifica porque la dinámica del sistema microscópico es frecuentemente descrita por una Teoría de Campo Conforme(TCC), 1 + 1 dimensional con coordenada espacial compactificada en un círculo. Un AN extremo fuertemente cargado, se corresponde con estados en esta TCC con los autovalores L_0 (o \bar{L}_0) y cero \bar{L}_0 (o L_0). La degeneración de tales estados puede ser calculada usando la fórmula de Cardy en términos de la carga central izquierda y derecha (c_L, c_R), sin conocer los detalles de la teoría TCC, o sea,

$$S_{est}(Q) \simeq 2\pi \sqrt{\frac{c_L \bar{L}_0}{6}} \quad \text{para} \quad \bar{L}_0 = 0, \quad (5.11)$$

$$\simeq 2\pi \sqrt{\frac{c_R L_0}{6}} \quad \text{para} \quad L_0 = 0. \quad (5.12)$$

Entonces constituye una sorpresa que dos cálculos completamente diferentes (uno para $S_{BH}(Q)$ y otro para $S_{est}(Q)$), den resultados iguales. De este modo cuando nos movamos lejos del límite de cargas grandes, la curvatura y los restantes campos de fuerza en el horizonte no serán despreciables. Así tendremos que tomar en cuenta el efecto de los términos de derivación superior en la acción efectiva de la teoría. Términos de derivación superior son por ejemplo potencias cuadráticas y de mayor orden del tensor de Riemann. Nosotros esperamos que para los ANs grandes (no infinitos) los efectos de estos términos de derivación superior sobre el horizonte sean pequeños pero no nulos, estos efectos introducirán pequeñas modificaciones a la geometría del horizonte y a la entropía de los ANs. Por otro lado, la fórmula de Cardy para la entropía estadística, si se calcula fuera del límite de AN grande, también recibirá modificaciones inversas a potencias de la carga del AN, acentuándose sorpresivamente cada vez más la similitud entre S_{BH} y S_{est} , incluso para cuando tenemos en cuenta términos de derivación superior.

La entropía S_{BH} de Bekenstein-Hawking fue calculada originalmente en TGR. Sin embargo, pretendemos aquí incorporarle al resultado términos de derivación superior. Varias dualidades³⁹ en teorías de cuerdas pueden mapear contribuciones clásicas a la teoría efectiva cuántica, por tanto, no tiene sentido restringir nuestro análisis a la teoría clásica. Una elección es elegir la acción efectiva que genera los diagramas irreducibles de una partícula (1PI), esta respeta todas las simetrías de dualidad. Sin embargo, la teoría de cuerdas tiene partículas no masivas, y si vamos a órdenes mayores en términos de derivación superior, la acción 1PI contendrá contribuciones no-locales. Como hemos visto aquí, para cualquier teoría de gravedad con términos de derivación superior y con una densidad Lagrangiana local existe un buen algoritmo para calcular la entropía de ANs, hasta el presente no existen técnicas para tratar con teorías con acción no-local. Esto causa un potencial problema

³⁸Se les conoce por “términos de orden superior de derivación”, porque introducen derivadas de la métrica superiores al segundo orden, en las ecuaciones de campo.

³⁹Las dualidades son transformaciones matemáticas que relacionan las 5-teorías de cuerdas existentes.

para definir entropía de un AN en teorías de cuerdas, más allá de los primeros órdenes. Se podría esquivar este problema usando una acción efectiva local de Wilson, pero esta no respecta todas las simetrías de dualidad de la teoría.

También se presentan ambigüedades en el lado estadístico, donde las correcciones a la entropía dependen del inverso de la carga del AN, y se sabe que tales correcciones dependen del ensemble que elegimos para definir entropía. Por ejemplo podemos usar ensembles micro-canónicos o gran-canónicos invariantes de dualidad, o podemos usar ensembles mixtos no invariantes de dualidad [69].

Esperamos que los ejemplos explícitos para el cálculo de las correcciones a la entropía de ANs, puedan resolver las ambigüedades anteriores y hacer una formulación más precisa sobre la relación entre las dos entropías. Nosotros nos dedicaremos al cálculo de la entropía S_{BH} de ANs teniendo en cuenta términos de derivación superior, basándonos en el formalismo entrópico [70] que es una adaptación de un formalismo más general [71] al caso especial de ANs extremales. La segunda línea de trabajo o sea calcular la entropía estadística se puede encontrar en [72, 73, 74], y [67] donde incluso se comparan las dos vías para el caso de un AN en una teoría de cuerda supersimétrica en 4-dimensiones.

5.3 Definición de AN extremal

Analizemos un AN de Reissner-Nordstrom (RN), que describe un AN esféricamente simétrico con carga eléctrica en la teoría usual de Einstein-Maxwell,

$$S = \int d^4x \sqrt{-\det g} \mathcal{L}, \quad \mathcal{L} = \frac{1}{16\pi G_N} R - \frac{1}{4} F_{ab} F^{ab}. \quad (5.13)$$

La solución de RN en esta teoría viene dada por,

$$ds^2 = -(1 - a/\rho)(1 - b/\rho)d\tau^2 + \frac{d\rho^2}{(1 - a/\rho)(1 - b/\rho)} + \rho^2(d\theta^2 + \sin^2\theta d\phi^2), \quad (5.14)$$

$$F_{\rho\tau} = \frac{q}{4\pi\rho^2}, \quad F_{\theta\rho} = \frac{p}{4\pi} \sin\theta, \quad (5.15)$$

donde ρ, θ, ϕ y τ son las coordenadas del espacio-tiempo, a y b dos constantes dadas por,

$$a + b = 2G_N M, \quad ab = \frac{G_N}{4\pi}(q^2 + p^2), \quad (5.16)$$

donde q, p y M que denotan la carga eléctrica, magnética y la masa del AN. Cuando $a > b$ entonces el horizonte interno estaría en $r = b$ y el externo en $r = a$. El límite extremo será cuando $r = a = b$, entonces,

$$M^2 = \frac{1}{4\pi G_N}(q^2 + p^2), \quad a = b = \sqrt{\frac{G_N}{4\pi}(q^2 + p^2)}. \quad (5.17)$$

Ahora si definimos,

$$t = \lambda\tau/a^2, \quad r = \lambda^{-1}(\rho - a), \quad (5.18)$$

donde λ es una constante arbitraria, y reescribimos la solución extrema en estas nuevas coordenadas, obtenemos que,

$$ds^2 = -\frac{r^2 a^4}{(a + \lambda r)^2} dt^2 + \frac{(a + \lambda r)^2}{r^2} dr^2 + (a + \lambda r)^2 (d\theta^2 + \sin^2 \theta d\phi^2), \quad (5.19)$$

$$F_{rt} = \frac{q a^2}{4\pi(a + \lambda r)^2}, \quad F_{\theta\phi} = \frac{p}{4\pi} \sin\theta, \quad (5.20)$$

y en el límite muy “cercano al horizonte” $\lambda \rightarrow 0$, la solución tomará la forma,

$$ds^2 = a^2 \left(-r^2 dt^2 + \frac{dr^2}{r^2} \right) + a^2 (d\theta^2 + \sin^2 \theta d\phi^2), \quad (5.21)$$

$$F_{rt} = \frac{q}{4\pi}, \quad F_{\theta\phi} = \frac{p}{4\pi} \sin\theta. \quad (5.22)$$

La entropía que se obtiene dividiendo el área del horizonte por $4G_N$ es,

$$S_{BH} = \frac{1}{4}(q^2 + p^2), \quad (5.23)$$

y tiene las propiedades siguientes:

- En el límite $\lambda \rightarrow 0$ manteniendo a r fija, la coordenada original ρ se aproxima a a . Así (5.21) describe el campo de configuración de un AN cercano al horizonte.
- El espacio de (5.21) se desdobra en dos espacios. Uno etiquetado por (θ, ϕ) descrito por una esfera S^2 de 2-dimensiones, y otro etiquetado por (r, t) descrito por un espacio-tiempo Anti de Sitter (AdS) de 2-dimensiones. Este último resulta de la solución de las ecuaciones de Einstein en 2-dimensiones con constante cosmológica negativa.
- El reflejo de la simetría esférica del AN original hace que en (5.21) se presente una isometría $SO(3)$ que actúa sobre la esfera S^2 . En (5.21) también se presenta una isometría $SO(2, 1)$ actuando sobre el espacio AdS_2 , esta es generada por,

$$L_1 = \partial_t, \quad L_0 = t\partial_t - r\partial_r, \quad L_{-1} = \frac{1}{2}\left(\frac{1}{r^2} + t^2\right)\partial_t - tr\partial_r. \quad (5.24)$$

Así, tanto la métrica como los campos de calibración son invariantes bajo una transformación del tipo $SO(2, 1) \times SO(3)$.

Entonces si postulamos que la geometría del AN no cambiará si añadimos términos de derivación de orden superior, y en el caso de D-dimensiones se puede generalizar a que los ANs tengan isometrías del tipo $SO(2, 1) \times SO(D - 1)$, entonces todo esto constituye nuestra definición de “AN extremo”⁴⁰.

⁴⁰Para 4 y 5-dimensiones, estos postulados han sido probados [77].

5.4 Método de Sen

Siguiendo [75, 76, 70], supongamos una teoría acoplada a campos de calibración $A_\mu^{(i)}$ y a campos escalares ϕ_s . La densidad Lagrangiana será expresada en función de la métrica, de estos campos, y de las derivadas covariantes de estos campos. Además, suponiendo ANs extremos, esféricamente simétricos con invariancia tipo $SO(2,1) \times SO(D-1)$ cerca del horizonte, la configuración de campos más general y consistente con esta isometría es,

$$ds^2 = g_{ab}dx^a dx^b = v_1 \left(-r^2 dt^2 + \frac{dr^2}{r^2} \right) + v_2 (d\theta^2 + \sin^2\theta d\phi^2), \quad (5.25)$$

$$\phi_s = u_s, \quad F_{rt}^{(i)} = e_i, \quad F_{\theta\phi}^{(i)} = \frac{p_i}{4\pi} \sin\theta, \quad (5.26)$$

donde v_1, v_2, u_s, e_i y p_i son constantes. Para esta métrica las componentes del tensor de Riemann son,

$$R_{abcd} = -v_1^{-1}(g_{ac}g_{bd} - g_{ad}g_{bc}), \quad a, b, c, d = r, t, \quad (5.27)$$

$$R_{mnpq} = v_2^{-1}(g_{mp}g_{nq} - g_{mq}g_{np}), \quad m, n, p, q = \theta, \phi. \quad (5.28)$$

Las derivadas covariantes de los campos escalares ϕ_s , los campos de calibración $F_{ab}^{(i)}$ y del tensor de Riemann R_{abcd} se anulan cerca del horizonte de geometría. Debido a consideraciones generales de simetría, todas las contribuciones a las ecuaciones de movimiento de cualquier término en \mathcal{L} que contenga derivadas covariantes de los campos en general se anulan para esta métrica, entonces podemos concentrarnos en aquellos términos que no contengan derivadas covariantes de los campos.

Definamos la densidad de lagrange $f(\vec{u}, \vec{v}, \vec{e}, \vec{p})$ evaluada cerca de la geometría del horizonte (5.25) e integrada por las variables angulares,

$$f(\vec{u}, \vec{v}, \vec{e}, \vec{p}) = \int d\theta d\phi \sqrt{-\det g} \mathcal{L}. \quad (5.29)$$

Las ecuaciones de campo cerca del horizonte corresponden a extremar f respecto a las variables \vec{u} y \vec{v} ,

$$\frac{\partial f}{\partial u_s} = 0, \quad \frac{\partial f}{\partial v_i} = 0. \quad (5.30)$$

Las componentes no triviales de las ecuaciones del campo de calibración y de las identidades de Bianchi para la solución completa del AN toman la forma,

$$\partial_r \left(\frac{\delta \mathcal{S}}{\delta F_{rt}^{(i)}} \right) = 0, \quad \partial_r F_{\theta\phi}^{(i)} = 0, \quad (5.31)$$

donde $\mathcal{S} = \int d^4x \sqrt{-\det g} \mathcal{L}$ es la acción. Estas ecuaciones son satisfechas cerca del horizonte de (5.25) y podemos extraer más información de ellas, pues evaluando estas integrales,

$$\int d\theta d\phi \frac{\delta \mathcal{S}}{\delta F_{rt}^{(i)}} = a_i, \quad \int d\theta d\phi F_{\theta\phi}^{(i)} = b_i, \quad (5.32)$$

cerca del horizonte (5.25), nos da que,

$$a_i = \frac{\partial f}{\partial e_i}, \quad b_i = p_i. \quad (5.33)$$

Ellas son justamente la carga eléctrica a_i , y la carga magnética b_i . Denotemos por,

$$q_i = \frac{\partial f}{\partial e_i}, \quad (5.34)$$

como la carga eléctrica del AN. Ahora el conjunto (5.30) y (5.34), forma un sistema de ecuaciones con igual número de incógnitas \vec{u} , \vec{v} y \vec{e} . En la mayoría de los casos este sistema se puede resolver y quedar determinado en función de \vec{q} y \vec{p} . Esto es consistente con el mecanismo atractor en supersimetría el cual enuncia que cerca de la configuración de un AN, las magnitudes dependen solamente de la carga eléctrica y magnética del AN y no del valor de sus campos escalares.

Definamos ahora,

$$\mathcal{E}(\vec{u}, \vec{v}, \vec{e}, \vec{q}, \vec{p}) = 2\pi(e_i q_i - f(\vec{u}, \vec{v}, \vec{e}, \vec{p})). \quad (5.35)$$

Las ecuaciones (5.30) y (5.34), determinando \vec{u} , \vec{v} y \vec{e} pueden ser escritas como,

$$\frac{\partial \mathcal{E}}{\partial u_s} = 0, \quad \frac{\partial \mathcal{E}}{\partial v_1} = 0, \quad \frac{\partial \mathcal{E}}{\partial v_2} = 0, \quad \frac{\partial \mathcal{E}}{\partial e_i} = 0. \quad (5.36)$$

O sea, todos los parámetros cerca del horizonte pueden ser calculados extremando la función \mathcal{E} . Por otro lado, la fórmula general planteada en [71] y escrita para ANs esféricamente simétricos, tiene la forma,

$$S_{BH} = -8\pi \int_H d\theta d\phi \frac{\delta S}{\delta R_{rtrt}} \sqrt{-g_{rr}g_{tt}}, \quad (5.37)$$

donde H denota el horizonte del AN. Después de una serie de pasos a partir de (5.37) se llega a que (ver [67], pág 14),

$$S_{BH} = 2\pi \left(e_i \frac{\partial f}{\partial e_i} - f \right). \quad (5.38)$$

Comparando (5.38) con (5.35) se obtiene que,

$$S_{BH} = \mathcal{E}(\vec{u}, \vec{v}, \vec{e}, \vec{q}, \vec{p}). \quad (5.39)$$

O sea $S_{BH}(\vec{q}, \vec{p})/2\pi$ puede ser interpretado como la transformación de Legendre de la función $f(\vec{u}, \vec{v}, \vec{e}, \vec{p})$ con respecto a la variable e_i , después de eliminar \vec{u} y \vec{v} mediante el sistema (5.30).

Así el formalismo de la función entrópica, reduce el problema del cálculo de la entropía de un AN extremal a un problema de solucionar un sistema de ecuaciones. Veamos un caso muy simple, el AN de RN,

$$ds^2 = v_1 \left(-r^2 dt^2 + \frac{dr^2}{r^2} \right) + v_2 (d\theta^2 + \sin^2\theta d\phi^2), \quad (5.40)$$

$$F_{rt} = e, \quad F_{\theta\phi} = p \sin\theta / 4\pi. \quad (5.41)$$

Usando (5.13), (5.29) tenemos que,

$$f(v_1, v_2, e, p) = 4\pi v_1 v_2 \left[\frac{1}{16\pi G_N} \left(-\frac{2}{v_1} + \frac{2}{v_2} \right) + \frac{1}{2} v_1^{-2} e^2 - \frac{1}{2} v_2^{-2} \left(\frac{p}{2\pi} \right)^2 \right], \quad (5.42)$$

y que,

$$\mathcal{E}(v_1, v_2, e, q, p) = 2\pi(qe - f) = 2\pi\left[qe - \frac{1}{4G_N}(2v_1 - 2v_2) - 2\pi v_2 v_1^{-1} e^2 + 2\pi v_1 v_2^{-1} \left(\frac{p}{4\pi}\right)^2\right]. \quad (5.43)$$

Aquí \mathcal{E} es extrema si,

$$v_1 = v_2 = G_N \frac{q^2 + p^2}{4\pi}, \quad e = \frac{q}{4\pi}. \quad (5.44)$$

Sustituyendo en la expresión para \mathcal{E} , tenemos que,

$$S_{BH} = \mathcal{E} = \frac{1}{4}(q^2 + p^2), \quad (5.45)$$

que coincide con la entropía clásica de Bekenstein-Hawking para un AN de RN.

6. ENTROPÍA DE AGUJEROS NEGROS EXTREMOS

6.1 Nuevos resultados en la aplicación del formalismo de Sen

Motivados ya sea por lograr la total unificación de las fuerzas fundamentales de la Naturaleza o por tratar de explicar fenómenos que hoy en día permanecen sin resolver en la física teórica, la TGR ya ha sido generalizada de muchas formas. Unas de estas vías es apoyarse en el contenido geométrico que posee toda teoría relativista y de esta forma lograr dicha generalización. Esto es específicamente lo que hacemos en este capítulo aplicado al caso particular de ANs extremos.

En la física es muy importante conocer los invariantes que posee la teoría si se piensa proponerla como una teoría nueva, así se hace por ejemplo en electrodinámica, EDC o CDC⁴¹ donde el invariante fundamental es,

$$\frac{1}{\alpha} F^{ab} F_{ab}, \quad (6.1)$$

donde α es la masa del gap.⁴² Si sobre ellos aplicamos el método extremal se obtienen las ecuaciones de campo de la teoría. Ya sea las ecuaciones de Maxwell para la EDC o las de Yang Mills en CDC. Similarmente en la TGR el invariante principal es el escalar de Ricci R y las ecuaciones de Einstein se obtienen extremando su acción. Aunque este invariante es indispensable para la formulación de toda la teoría de la TGR, no constituye el único invariante posible, existen muchos más que se pueden construir. Por ejemplo, usando el tensor de Ricci R_{ab} , y el tensor de Riemann R_{abcd} , se obtienen los invariantes,

$$R^2, \quad R_{ab}R^{ab}, \quad R_{abcd}R^{abcd}. \quad (6.2)$$

Al incorporarlos a ellos se define el sector geométrico (o gravitatorio) de la teoría. Claramente esto mismo se puede hacer con la acción de la EDC y en el marco de las teorías de campo se define como trabajar en el sector de calibración. Además cuando decimos que trabajamos con invariantes de orden superior (o de orden superior de derivación) en el sector geométrico, significa que dicho invariante es de mayor orden que R , la interpretación es similar en el sector de calibrado para invariantes de órdenes mayores⁴³ que F^2 . Hoy en día la incorporación de invariantes de orden superior es un tema abierto.

En este capítulo calculamos la entropía de ANs extremos y estacionarios teniendo en cuenta términos de derivación superior. La inclusión de estos términos en la teoría de alta gravedad puede hacerse usando por ejemplo los términos de Gauss-Bonnet(GB) [88, 89, 90]. Estos términos pueden aparecer en varios escenarios teóricos como; Teorías de Cuerdas, Teorías de Branas [91, 92, 93] y Gravedad Cuántica Semiclásica. En particular, términos de derivación superior aparecen en la teoría de cuerdas cuando se evalúa el límite efectivo de baja energía.

⁴¹EDC (Electrodinámica Cuántica) y CDC (Cromodinámica Cuántica).

⁴²Determinar la masa del gap es un problema abierto, y está dentro de los 23 problemas de Hilbert (Axiomatizar toda la física), también se encuentra entre los problemas del milenio. Esta masa se corresponde con la primera excitación o estado básico fundamental con respecto al vacío.

⁴³Así mismo como $R^2 = R_{ab}R^{ab}$, el término $F^2 = F_{ab}F^{ab}$, se define similarmente.

Por otro lado, se conoce el problema de no-renormalización que sufren las teorías de gravedad. En especial la teoría de GB sí puede ser renormalizada pero a su vez aparecen otros problemas de igual importancia, emergen fantasmas (partículas de $spin = 2$ masivas) o gravitones masivos [86, 87].

En este capítulo presentaremos una serie de soluciones aproximadas para la entropía de ANs extremales cerca del horizonte de geometría para cuatro y cinco dimensiones. Así para alcanzar esta meta, usaremos el formalismo de Sen. La teoría de partida será detallada en el epígrafe 6.2, pero en efecto ella está compuesta por una teoría de Einstein-Maxwell con constante cosmológica, además del conjunto completo de los invariantes de Riemann. Es importante señalar que en aquellos casos en que las ecuaciones de movimiento (en la cercanía del horizonte), no se puedan resolver analíticamente, entonces efectuaremos una aproximación por series de potencias basándonos en un parámetro inverso a la carga eléctrica del AN.

Por otro lado, si queremos incluir el conjunto completo de los invariantes de Riemann como términos de derivación superior de la teoría, debemos considerar la versión más actual de este conjunto. O sea, el conjunto definido por Carminati y McLenaghman (CM) [30], más el invariante m_6 introducido por Zakhary y McIntosh [31].

Los invariantes CM son escalares construidos a partir del tensor de Riemann, R_{abcd} , el tensor de Weyl C_{abcd} (y su dual) y el tensor de Ricci de traza nula, definido como $S_{ab} = R_{ab} - (1/d)Rg_{ab}$ (en d -dimensiones). Comenzando por seis escalares reales $R, r_1, r_2, r_3, m_3, m_4$ y cinco escalares complejos w_1, w_2, m_1, m_2, m_5 , ellos hacen un total de dieciséis invariantes escalares (Note que los símbolos r, w y m se asocian respectivamente a invariantes de Riemann, Weyl y su mezcla). El conjunto de invariantes de CM contiene el número requerido de invariantes para los casos de Einstein-Maxwell y el fluido perfecto. Además, con la inclusión del invariante m_6 , se ha probado que el conjunto de CM se convierte en un *conjunto completo*. De esta forma este conjunto cubre los 90 casos posibles (6 tipo Petrov \times 15 tipo Segre, ver [31]). En otras palabras, un conjunto completo de invariantes debe contener (al menos para el espacio-tiempo $d = 4$) los bien conocidos invariantes físicos, así como los invariantes geométricos.

En el Cuadro 2, (ver Apéndice G) mostramos las definiciones y resultados obtenidos para el conjunto de invariantes no nulos de Riemann sobre una geometría $AdS_2 \times S^{d-2}$ para $d = 4$ y $d = 5$. Es importante señalar que para el caso de $d = 5$ no es posible calcular los invariantes complejos de Riemann, ellos son desconocidos. Para esta dimensión podría requerirse de más invariantes y la pregunta sería, cuantos invariantes se necesitan para que estos conjuntos con $d > 4$ sean *completos*. Este todavía es un problema abierto.

Igualmente en el Cuadro 3, (ver Apéndice G), se muestran los invariantes organizados por su grado. Siguiendo las definiciones dadas en [31], de un conjunto dado de invariantes, el j -ésimo invariante escrito de la forma I_j^p , es llamado invariante de *orden* p . Si existe otro invariante tal que pueda ser escrito de la forma $I_j^p I_k^q I_l^r$, entonces se dice que este es un invariante de *orden* $p - q - r$ y el resultado de la suma $p + q + r$ será su *grado*. Por ejemplo, en el Cuadro 2, el invariante $\Re(m_1)$, denota la parte real del invariante m_1 , tiene *orden* $1 - 2$ y es de $1 + 2 = 3$, tercer-*grado*. Además, el invariante I_j^p será *independiente* si él no puede ser escrito en términos de otro invariante, ya sea de igual o menor grado. También, dos

invariantes se dice que son *equivalentes* si ellos pueden ser escritos en términos de otros, o como el producto de otros de menor grado. Las relaciones de *equivalencias* o (syzygies) son dadas en el Cuadro 3. Es fácil de ver que en 4 y 5 dimensiones todos los invariantes pueden ser escritos en términos de los invariantes *independientes* R , r_1 y r_2 . Es importante señalar que todos los invariantes no nulos fueron tomados en cuenta en nuestros cálculos, los restantes nulos no son incluidos en los Cuadros 2-3.

Naturalmente, una pregunta sale a flote, y es: ¿por qué no están presentes los invariantes de orden superior de la teoría de calibración?, dado que en efecto pensamos incluir la teoría de Einstein-Maxwell donde los campos de calibración están presentes. La respuesta es, que lo hacemos por simplicidad, o sea solo trabajaremos en el sector de gravedad pura, para los términos de orden superior de la teoría, quedando fuera invariantes de orden superior como: $(F_{ab}F^{ab})^2$, $F^a{}_b F^b{}_c F^c{}_d F^d{}_a$, $R F^2$, ..., los covariantes $F_{ab}\square F^{ab}$, ..., y los invariantes de forma. Es decir solamente el sector gravitacional será tratado para el conjunto de CM.

Todos los cálculos fueron hechos con el paquete para tensores *GRTensor* sobre el programa de cómputo algebraico Maple.

6.2 Generalización de la Teoría de Einstein usando los invariantes de Riemann

Consideraremos una teoría de gravedad de orden superior en el sector geométrico, introduciendo el conjunto completo de los invariantes de Riemann como términos de derivación superior en la acción. Además incluimos constante cosmológica, y campos electromagnéticos. Así nuestra acción toma la forma,

$$\mathcal{S} = \frac{1}{16\pi G_d} \int dx^d \sqrt{-g} \left(R + \Lambda - \frac{F^2}{4} + \mathcal{L}_{inv}^d \right), \quad (6.3)$$

donde,

$$\begin{aligned} \mathcal{L}_{inv}^{d=4} &= a_2 R^2 + b_2 R_2 + a_3 R^3 + b_3 R R_2 + a_4 R^4 + b_4 R_2^2 + c_4 R^2 R_2 + a_5 R^5 + b_5 R^3 R_2, \\ \mathcal{L}_{inv}^{d=5} &= a_2 R^2 + b_2 R_2 + a_3 R^3 + b_3 R R_2 + c_3 R_3 + a_4 R^4 + b_4 R_2^2 + c_4 R^2 R_2 + e_4 R R_3, \end{aligned}$$

siendo G_d la constante de Newton d -dimensional, R el escalar de Ricci, Λ la constante cosmológica, F_{ab} el tensor electromagnético, y $F^2 = F_{ab}F^{ab}$. R_2 y R_3 son los dos primeros invariantes de Riemann reales definidos en el Cuadro 2, para la métrica (6.4). Los parámetros $a_i, b_i, c_i, e_i...$ son las constantes de acoplamiento para cada término de derivación superior de i -ésimo grado. \mathcal{L}_{inv}^d denota los términos de derivación superior que se tendrán en cuenta. En ambos casos, en cuatro y cinco dimensiones, los invariantes forman un conjunto completo, y se tiene en cuenta todos los invariantes de alto orden dentro del conjunto de invariantes de Carminati-McLenaghan.

El espacio tiempo más general [67] que se puede escribir para una configuración de AN estático y extremal con topología $AdS_2 \times S^{d-2}$ cerca del horizonte de geometría es,

$$ds^2 = v_1(-r^2 dt^2 + \frac{dr^2}{r^2}) + v_2 d\Omega_{d-2}, \quad (6.4)$$

$$e^{aI}\Psi_I|_H = u_I, \quad F_{0r}^d = e, \quad F_{\theta\phi}^{d=4} = p \sin \theta, \quad F_{\theta\phi}^{d=5} = 0, \quad (6.5)$$

$$d\Omega_{d-2}^2 = d\theta_1^2 + \sum_{i=2}^{d-2} \prod_{j=1}^{i-1} \sin^2 \theta_j d\theta_i^2, \quad 0 \leq \theta_i \leq \pi, \quad 0 \leq \theta_{d-2} \leq 2\pi, \quad (1 \leq i \leq d-3),$$

donde e y p son funciones relacionadas con la carga eléctrica y magnética, mientras que v_1 y v_2 son funciones conectadas con la garganta del AN. En general las constantes u_i se relacionan con los valores de los campos escalares Ψ_i sobre el horizonte, pero en nuestro caso ellos no están presentes por tanto $u_i = 0$. En los epígrafes siguientes usaremos el formalismo de Sen [67], en el cual la función entrópica es definida como,

$$\mathcal{E}(\vec{u}, \vec{v}, \vec{e}, \vec{q}, \vec{p}) = 2\pi(e_i q_i - f(\vec{u}, \vec{v}, \vec{e}, \vec{p})), \quad (6.6)$$

y $f(\vec{u}, \vec{v}, \vec{e}, \vec{p})$ es la densidad Lagrangiana $\sqrt{-\det g} \mathcal{L}$, evaluada cerca del horizonte de geometría. Todos estos parámetros pueden ser determinados extremando la función entrópica.

$$\frac{\partial \mathcal{E}}{\partial u_i} = \frac{\partial \mathcal{E}}{\partial v_j} = \frac{\partial \mathcal{E}}{\partial e} = 0, \quad i = 1, \dots, N, j = 1, \dots, 2. \quad (6.7)$$

Las ecuaciones (6.7) representan el conjunto de ecuaciones de movimiento del sistema escritas cerca del horizonte de geometría del fondo extremal (6.4). Así, la entropía del AN en el límite extremal se obtiene resolviendo el sistema de ecuaciones (6.7) y sustituyendo estos parámetros en la función entrópica. Esto demuestra que $S_{BH}/2\pi$ puede ser considerada como la transformada de Legendre de la función $f(\vec{u}, \vec{v}, \vec{e}, \vec{p})$, con respecto a las variables e_i .

6.2.1 Soluciones analíticas para invariantes de 2^{do} orden en $d = 4$

Los cálculos para contribuciones de segundo orden a la entropía de ANs extremales corresponden a considerar solamente los invariantes de segundo orden. Sobre la base del principio de correspondencia, la solución de Gauss-Bonnet(GB) debe estar contenida en estos resultados [88], así como la solución de Reissner-Nordstrom (RN). Por tanto, en este caso tomamos $a_i = b_i = c_i = 0$ para $i \geq 3$ en (6.3), entonces la función $f(\vec{v}, \vec{e}, \vec{p})$ será,

$$f(v_1, v_2, e, p) = \int_{S^2} \sqrt{-g} \left(R + \Lambda - \frac{F^2}{4} + a_2 R^2 + b_2 R_2 \right) d\theta d\phi, \quad (6.8)$$

mientras la función entrópica tomará la forma,

$$\begin{aligned} \mathcal{E}(v_1, v_2, e, q, p) = & \left\{ 2qeG_4 + 2 \left(2 - \frac{v_1}{v_2} - \frac{v_2}{v_1} \right) a_2 + \left(-\frac{v_1}{8v_2} - \frac{v_2}{8v_1} - \frac{1}{4} \right) b_2 + \right. \\ & \left. + \left(\frac{p^2}{2v_2} - 2 - v_2 \Lambda \right) \frac{v_1}{2} - \frac{v_2 e^2}{4v_1} + v_2 \right\} \frac{\pi}{G_4}, \end{aligned} \quad (6.9)$$

y el sistema de ecuaciones de movimiento basándonos en (6.7) sería,

$$2q - \frac{v_2 e}{2v_1 G_4} = 0, \quad (6.10)$$

$$\frac{v_1 \Lambda}{2} - 1 + 2 \frac{a_2}{v_1} - 2 \frac{v_1 a_2}{v_2^2} + \frac{b_2}{8v_1} - \frac{v_1 b_2}{8v_2^2} + \frac{e^2}{4v_1} + \frac{v_1 p^2}{4v_2^2} = 0, \quad (6.11)$$

$$-v_2 \frac{\Lambda}{2} - 1 + 2 \frac{v_2 a_2}{v_1^2} - 2 \frac{a_2}{v_2} + \frac{v_2 b_2}{8v_1^2} - \frac{b_2}{8v_2} + \frac{v_2 e^2}{4v_1^2} + \frac{p^2}{4v_2} = 0. \quad (6.12)$$

Note que cuando resolvemos este sistema de ecuaciones, todas estas soluciones pueden ser escritas en términos de la función v_2 como sigue,

$$\begin{aligned} v_1 &= \frac{v_2}{v_2 \Lambda + 1}, & q &= \frac{f}{8G_4}, & e &= \frac{f}{2(v_2 \Lambda + 1)}, \\ f &= \sqrt{8(\Lambda v_2 + 2)v_2 - 2(16a_2 + b_2)(v_2 \Lambda + 2)v_2 \Lambda - 4p^2}, \end{aligned} \quad (6.13)$$

y la entropía para un AN extremal y estático (teniendo en cuenta invariantes de segundo orden) será,

$$S_{BH} = \left(1 - \frac{(16a_2 + b_2)\Lambda}{4} \right) \frac{\pi v_2}{G_4} - \frac{\pi b_2}{2G_4}. \quad (6.14)$$

La solución de GB que fue encontrada por Morales y Samtleben en [88] puede ser obtenida sustituyendo $b_2 = -8\alpha$, y $a_2 = \alpha/2$ en (6.14), así,

$$S_{GB} = (v_2 + 4\alpha) \frac{\pi}{G_4}, \quad (6.15)$$

donde el parámetro α es la constante de acoplamiento de GB. De igual manera, si tomamos $a_2 = b_2 = 0$ en (6.14), entonces la entropía se convierte en la conocida entropía del AN de RN en el límite extremal y con carga magnética p ,

$$S_{BH}|_{a_2=b_2=0} = \frac{\pi v_2}{G_4} \equiv S_{RN}^{d=4}. \quad (6.16)$$

Las variables v_1, e y q serán entonces,

$$v_1 = \frac{v_2}{v_2 \Lambda + 1}, \quad q = \frac{\sqrt{2(\Lambda v_2 + 2)v_2 - p^2}}{4G_4}, \quad e = \frac{\sqrt{2(\Lambda v_2 + 2)v_2 - p^2}}{v_2 \Lambda + 1}, \quad (6.17)$$

donde directamente de (6.14) se puede ver que la constante cosmológica por sí misma no modifica la ley del área de Bekenstein-Hawking. Por tanto ella necesita estar acompañada de términos de derivación superior, de al menos segundo orden, para poder modificarla y obtener un resultado nuevo. O sea la constante cosmológica Λ solo cambia la geometría de la garganta como se ve en (6.13) y (6.17). Sin embargo, las constantes a_2 y b_2 en (6.14) representan las desviaciones de dicha ley. En la siguiente sección se obtendrán soluciones aproximadas para gravedad de orden superior, teniendo en cuenta las contribuciones restantes R^3, R^4 y R^5 .

6.2.2 Soluciones aproximadas para el conjunto completo en $d = 4$

Debido a la no linealidad de las ecuaciones de Einstein-Maxwell es muy difícil encontrar soluciones exactas, más aún si incluimos términos de alta derivación. En muchos casos se emplean métodos aproximados o soluciones numéricas. Por tanto, si consideramos el conjunto completo de invariantes de Riemann entonces no podremos encontrar soluciones explícitas del sistema de ecuaciones de movimiento (6.7). Nosotros resolveremos este problema introduciendo un parámetro w para hacer una expansión alrededor de él. En efecto en (6.3), w puede siempre ser extraído de las constantes de acoplamiento a_i, b_i, c_i, e_i por re-escalamiento, teniendo en cuenta que debe ser extraído con el orden apropiado. La

solución de RN (caso $\mathcal{L}_{inv} = 0$) es bien conocida analíticamente, y las primeras constantes de acoplamiento para invariantes de orden superior son a_2 y b_2 . Consecuentemente para este caso: $a_2, b_2 \Rightarrow w a_2, w b_2, \dots$ y en general, tendremos que,

$$a_l, b_m, c_n, e_p \Rightarrow w^{l-1} a_l, w^{m-1} b_m, w^{n-1} c_n, w^{p-1} e_p, \quad l, m, n, p = 2, 3, 4, 5, \dots \quad (6.18)$$

El parámetro de expansión w puede ser considerado proporcional al inverso de la carga del AN, la cual es cero a primer orden. Esta es la forma en que w debe aparecer en la función entrópica \mathcal{E} . Además, como estamos interesados en soluciones aproximadas, entonces debemos construir series de expansión de las funciones e, q y v_1 . En general, cualquiera de estas funciones puede ser expandida alrededor de w ,

$$h(w) = \sum_{k=0}^{\infty} \frac{w^k}{k!} \left(\frac{\partial^k h}{\partial w^k} \right)_{w=0}. \quad (6.19)$$

Esta expansión nos permite escribir,

$$\begin{aligned} e &\simeq e_0 + w \Delta e_1 + w^2 \Delta e_2 + w^3 \Delta e_3 + \dots, \\ q &\simeq q_0 + w \Delta q_1 + w^2 \Delta q_2 + w^3 \Delta q_3 + \dots, \\ v_1 &\simeq v_{10} + w \Delta v_{11} + w^2 \Delta v_{12} + w^3 \Delta v_{13} + \dots, \\ \mathcal{E} &\simeq \mathcal{E}_0 + w \Delta \mathcal{E}_1 + w^2 \Delta \mathcal{E}_2 + w^3 \Delta \mathcal{E}_3 + \dots, \end{aligned} \quad (6.20)$$

donde en (6.20) hemos tomado $\Delta h_k = (1/k!) (\partial^k h / \partial w^k)_{w=0}$. Así, w fija el nivel de aproximación, en el caso que $w = 0$ tenemos soluciones de orden cero que serán de tipo RN (6.16)-(6.17). Finalmente incluyendo el conjunto completo de invariantes (o sea en (6.3) tomando todos los términos), o contribuciones de quinto orden para la entropía de un AN extremo, y después de resolver el conjunto de ecuaciones iteradas que aparecen al extremar la función entrópica, en este trabajo se obtienen la siguientes expresiones aproximadas para la entropía S_{BH} ,

$$S_{BH} = S_{RN}^{d=4} + \left(S_{BH}^{(2)} + S_{BH}^{(3)} w + S_{BH}^{(4)} w^2 + S_{BH}^{(5)} w^3 \right) w + O(w^5), \quad (6.21)$$

donde,

$$S_{BH}^{(2)} = - \left((16 a_2 + b_2) \frac{\Lambda}{4} v_2 + \frac{b_2}{2} \right) \frac{\pi}{G_4}, \quad (6.22)$$

$$S_{BH}^{(3)} = \left(12 \Lambda^2 v_2 a_3 + \left(\frac{3}{4} v_2 \Lambda^2 + 2 \Lambda + \frac{1}{v_2} \right) b_3 \right) \frac{\pi}{G_4}, \quad (6.23)$$

$$\begin{aligned} S_{BH}^{(4)} &= - \left\{ 32 v_2 \Lambda^3 a_4 + \frac{(v_2 \Lambda + 2)^3 b_4}{8 v_2^2} + \frac{2 \Lambda (v_2 \Lambda + 2) (v_2 \Lambda + 1) c_4}{v_2} + (16 a_2 + b_2) \times \right. \\ &\quad \left. \times \left(\frac{\Lambda (v_2 \Lambda + 2)^2 b_3}{16 v_2} + v_2 a_3 \Lambda^3 \right) \right\} \frac{\pi}{G_4}, \end{aligned} \quad (6.24)$$

$$S_{BH}^{(5)} = \left\{ 80v_2\Lambda^2 a_5 + (5v_2\Lambda^2 + 16\Lambda + \frac{12}{v_2})b_5 + 96v_2\Lambda^2 a_3^2 + 4(\frac{6}{v_2} + 3v_2\Lambda^2 + 8\Lambda)a_3b_3 + \right. \quad (6.25)$$

$$\left. + \frac{(3v_2\Lambda + 4)(v_2\Lambda + 2)^2}{8\Lambda v_2^2} b_3^2 + (16a_2 + b_2) \left(4\Lambda^2 a_4 v_2 + \frac{(v_2\Lambda + 2)^2 c_4}{4v_2} + \frac{(v_2\Lambda + 2)^4 b_4}{64\Lambda^2 v_2^3} \right) \right\} \frac{\pi \Lambda^2}{G_4}.$$

En caso que estudiemos una teoría efectiva donde solo invariantes de tercer orden son necesarios, entonces debemos tomar en (6.3), (6.35) las constantes de acoplamiento con los valores $a_j = b_j = c_j = e_j = 0$ para $j \geq 4$, y la solución para la entropía del AN extremo, será simplemente: $S_{BH} = S_{RN} + (S_{BH}^{(2)} + S_{BH}^{(3)} w) w + O(w^3)$. Esto mismo se puede hacer para cuarto orden. Esta aproximación es más que suficiente, pues se puede ver fácilmente que la solución analítica de segundo orden (6.14) es exactamente reproducida en (6.22). Note que cada contribución entrópica de invariantes de i -ésimo grado es etiquetada como $S^{(i)}$, entonces el súper-índice (i) solamente indica el grado del invariante que produce esto y no el orden de aproximación.

En el conjunto de soluciones aproximadas los términos no lineales con respecto a la constante de acoplamiento aparecen en $S_{BH}^{(4)}$ y $S_{BH}^{(5)}$ con contribuciones como $a_2 a_3, a_2 b_3, b_2 a_3, b_2 b_3$ y $a_3^2, a_3 b_3, b_3^2, a_2 a_4, a_2 c_4, a_2 b_4, b_2 a_4, b_2 c_4, b_2 b_4$ respectivamente.

6.2.3 Soluciones analíticas para invariantes de 2^{do} orden en $d = 5$

En este caso, la función $f(\vec{v}, \vec{e}, \vec{p})$ toma la misma forma que (6.8), pero la integración esta vez se realiza sobre S^3 , entonces la función entrópica es dada por,

$$\mathcal{E}(v_1, v_2, e, q, p) = 2\pi q e - \frac{\pi^2 (3v_1 - v_2)^2 a_2}{G_5 v_1 \sqrt{v_2}} - \frac{3}{40} \frac{\pi^2 (2v_1 + v_2)^2 b_2}{G_5 v_1 \sqrt{v_2}} -$$

$$- \frac{\sqrt{v_2} (2v_1 v_2 (\Lambda v_1 - 2) + e^2 v_2 + 12 v_1^2) \pi^2}{8G_5 v_1}, \quad (6.26)$$

y el sistema de ecuaciones de movimiento (6.7) cerca del horizonte serán,

$$0 = \frac{\pi (3v_1 + v_2) (3v_1 - v_2) a_2}{\sqrt{v_2} v_1^2} + \frac{3\pi (2v_1 - v_2) (2v_1 + v_2) b_2}{40\sqrt{v_2} v_1^2} -$$

$$- \frac{\pi \sqrt{v_2} (-12 v_1^2 - 2\Lambda v_1^2 v_2 + e^2 v_2)}{8v_1^2}, \quad (6.27)$$

$$0 = \frac{3\pi (v_1 + v_2) (3v_1 - v_2) a_2}{\sqrt{v_2} v_1^2} + \frac{3\pi (2v_1 + v_2) (2v_1 - 3v_2) b_2}{40\sqrt{v_2} v_1^2} -$$

$$- \frac{3\pi \sqrt{v_2} (2v_1^2 (2 + \Lambda v_2) + v_2 (e^2 - 4v_1))}{8v_1^2}, \quad (6.28)$$

$$0 = q - \frac{\pi v_2^{\frac{3}{2}} e}{v_1 8G_5}. \quad (6.29)$$

El sistema puede ser resuelto explícitamente, y entonces las funciones e, v_1 y q pueden ser escritas en términos de v_2 como,

$$v_1 = \frac{v_2 (5v_2 + 20a_2 - b_2)}{60a_2 + 2b_2 + 5v_2(4 + v_2\Lambda)}, \quad (6.30)$$

$$q = \frac{\pi \sqrt{v_2} \tilde{f}}{8(5v_2 + 20a_2 - b_2) G_5}, \quad e = \frac{\tilde{f}}{20v_2 + 60a_2 + 2b_2 + 5v_2^2\Lambda}, \quad (6.31)$$

donde,

$$\tilde{f} = \sqrt{5} (v_2^2 \Lambda + 20a_2 + 6v_2)^{\frac{1}{2}} (10v_2^2 - 60a_2b_2 - 40a_2v_2^2\Lambda - 2b_2^2 - 3b_2v_2^2\Lambda - 10b_2v_2)^{\frac{1}{2}}.$$

Por consiguiente, la entropía de un AN estático y extremo en $d = 5$, teniendo en cuenta términos de derivación superior de segundo grado, tiene la forma,

$$S_{BH} = \frac{\pi^2 v_2^{\frac{5}{2}} (40a_2 + 3b_2) \Lambda}{4(-5v_2 - 20a_2 + b_2) G_5} + \frac{5\pi^2 v_2^{\frac{1}{2}} (-v_2^2 + 10a_2b_2 + 2b_2v_2)}{2(-5v_2 - 20a_2 + b_2) G_5}. \quad (6.32)$$

De forma análoga, la solución extremal de Gauss-Bonnet mostrada en [88] puede ser obtenida con las sustituciones, $b_2 = -8\alpha$, y $a_2 = \frac{3}{5}\alpha$, en la solución principal (6.32), así,

$$S_{GB} = (v_2 + 12\alpha) \frac{\pi^2 v_2^{\frac{1}{2}}}{2G_5}. \quad (6.33)$$

Esto no pasa para una contribución genérica tipo GB. En general, el establecimiento de una relación entre las soluciones de GB y las soluciones de segundo grado requieren de un vínculo (ver sección 6.2.5). Por otro lado, si $a_2 = b_2 = 0$ en (6.32), la conocida solución de RN extremal también es obtenida,

$$S_{BH}|_{a_2=b_2=0} = \frac{\pi^2 v_2^{\frac{3}{2}}}{2G_5} \equiv S_{RN}^{d=5}. \quad (6.34)$$

Así como ocurrió en (6.14), la constante cosmológica no cambia la entropía del AN por sí misma: Ella podría necesitar de mayores términos de derivación superior. Una prueba de esto sigue de tomar $\Lambda = 0$ en (6.32), donde se ve claramente que las contribuciones de a_2 y b_2 no desaparecen. Estas contribuciones también producen una marcada desviación de la ley del área. Note que, contrariamente al caso de $d = 4$, no solo la constante cosmológica modifica la geometría de la garganta del AN (ver (6.30)), sino que las constantes de acoplamiento asociadas a los invariantes de segundo orden, también tienen su efecto sobre la topología de la garganta.

6.2.4 Soluciones aproximadas para el conjunto completo en $d = 5$

Como hicimos en la sección 6.2.2, podemos construir aproximadamente soluciones para cinco dimensiones. Así, considerando un AN extremo en el cual el conjunto completo de invariantes de Riemann (o sea en (6.3) se deben tomar las constantes de acoplamiento $a_j, b_j, c_j, e_j \neq 0$) a diferentes niveles de aproximación tiene la siguiente forma,

$$S_{BH} = S_{RN}^{d=5} + (S_{BH}^{(2)} + S_{BH}^{(3)}w + S_{BH}^{(4)}w^2)w + O(w^4), \quad (6.35)$$

donde,

$$S_{BH}^{(2)} = - \left(2(1 + \Lambda v_2) a_2 + \frac{3}{20} (6 + \Lambda v_2) b_2 \right) \frac{\pi^2 v_2^{\frac{1}{2}}}{G_5}, \quad (6.36)$$

$$S_{BH}^{(3)} = \left\{ 6(1 + \Lambda v_2)^2 a_3 + \frac{3}{20}(6 + \Lambda v_2)(3\Lambda v_2 + 8)b_3 - \frac{9}{400}(6 + \Lambda v_2)^2 c_3 + \right. \\ \left. + 8(1 + \Lambda v_2)a_2^2 + (-9 + v_2\Lambda)\frac{a_2 b_2}{5} - \frac{3}{100}(v_2\Lambda + 6)b_2^2 \right\} \frac{\pi^2}{v_2^{\frac{1}{2}} G_5}, \quad (6.37)$$

$$S_{BH}^{(4)} = - \left\{ 16(1 + \Lambda v_2)^3 a_4 + \frac{9}{100}(6 + \Lambda v_2)^3 b_4 + \frac{3}{5}(6 + \Lambda v_2)(2\Lambda v_2 + 7)(1 + \Lambda v_2)c_4 - \right. \\ - \frac{3}{200}(4\Lambda v_2 + 9)(6 + \Lambda v_2)^2 e_4 - 32(1 + v_2\Lambda)a_2^3 + \frac{4}{5}(11 + v_2\Lambda)b_2 a_2^2 + \\ + (9 + 4v_2\Lambda)\frac{a_2 b_2^2}{25} - 8(10 + v_2\Lambda)(1 + v_2\Lambda)^2 a_2 a_3 - (270 + 248v_2\Lambda + 3v_2^3\Lambda^3 + 56v_2^2\Lambda^2)\frac{a_2 b_3}{5} + \\ + \frac{3}{100}(v_2\Lambda + 6)(v_2^2\Lambda^2 + 16v_2\Lambda + 30)a_2 c_3 - \frac{3}{500}(v_2\Lambda + 6)b_2^3 - \frac{3}{5}(1 + v_2\Lambda)(v_2\Lambda + 5) \times \\ \left. \times (v_2\Lambda - 4)a_3 b_2 - \frac{3}{200}(v_2\Lambda + 6)(3v_2^2\Lambda^2 + 8v_2\Lambda - 20)b_2 b_3 + \frac{9\Lambda v_2}{4000}(v_2\Lambda + 6)^2 b_2 c_3 \right\} \frac{\pi^2}{G_5 v_2^{\frac{3}{2}}}. \quad (6.38)$$

Es correcto decir que si la ecuación (6.32) se expande en series de segundo orden de v_2^{-1} , entonces logramos reproducir la ecuación (6.36). Si nosotros tomamos $a_2 = \frac{3}{5}\alpha$ y $b_2 = -8\alpha$ en (6.36) se obtiene la solución de GB (6.33). En este caso, las contribuciones no-lineales de las constantes de acoplamiento aparecen en $S_{BH}^{(3)}$ y $S_{BH}^{(4)}$ como combinaciones de las constantes de acoplamiento de pequeño orden como $a_2^2, a_2 b_2, b_2^2$, y a_2^3, \dots etc. Note que la ausencia de términos $a_2^2, a_2 b_2$ y b_2^2 en (6.23) en contraste con (6.37) es simplemente un resultado del cálculo. Lo mismo pasa en (6.24) y (6.38) con los términos $a_2^3, b_2 a_2^2, a_2 b_2^2, b_2^3$.

6.2.5 Invariantes de Riemann y gravedad genérica de Gauss-Bonnet

En esta sección examinaremos la teoría de Einstein-Maxwell con una modificación a la cual llamaremos Gauss Bonnet genérica (o sea con tres constantes de acoplamiento diferentes). Esto es algo que debe hacerse con cuidado pues se sabe que en general una teoría así no es renormalizable, pero en nuestro caso solo lo hacemos a modo de generalizar nuestro resultado. Además de todas formas se sabe que las teorías de Gauss-Bonnet, aunque superan el problema de la renormalización, tienen problemas con la existencias de partículas fantasmas. Así la acción para una teoría de GB genérica en d -dimensiones puede ser escrita como,

$$\mathcal{S} = \frac{1}{16\pi G_d} \int dx^d \sqrt{-g} \left(R + \Lambda - \frac{F^2}{4} + \chi_1 R_{\alpha\beta\gamma\delta} R^{\alpha\beta\gamma\delta} - 4\chi_2 R_{\mu\nu} R^{\mu\nu} + \chi_3 R^2 \right), \quad (6.39)$$

de este modo, cuando se aplica el mecanismo de la función entrópica, la entropía de un AN extremo para $d = 4$ toma la forma,

$$S_{GB}^{(d=4)} = - \frac{2\pi (v_2^2\Lambda^2 + 2v_2\Lambda + 2)\chi_1}{G_4 (v_2\Lambda + 1)} + \frac{4\pi (2 + v_2^2\Lambda^2 + 2v_2\Lambda)\chi_2}{G_4 (v_2\Lambda + 1)}, \quad (6.40) \\ - \frac{2\pi v_2^2\Lambda^2\chi_3}{G_4 (v_2\Lambda + 1)} + \frac{\pi v_2}{G_4}.$$

Las soluciones para las funciones v_1 , e , y q son,

$$v_1 = \frac{v_2}{v_2 \Lambda + 1}, \quad e = \frac{f_0}{v_2 \Lambda + 1}, \quad q = -\frac{f_0}{4G_4}, \quad (6.41)$$

$$f_0 = \left\{ -8\chi_1 v_2^2 \Lambda^2 - 16\chi_1 v_2 \Lambda + 16\chi_2 v_2^2 \Lambda^2 + 32\chi_2 v_2 \Lambda - 8\chi_3 v_2^2 \Lambda^2 - 16\chi_3 v_2 \Lambda + 2v_2^2 \Lambda + 4v_2 - p^2 \right\}^{1/2},$$

entonces si $\chi_1 = \chi_2 = \chi_3 = \chi$, en (6.40), se obtienen las soluciones (6.15) con ($\chi = \alpha$). Sin embargo, si queremos encontrar un resultado general para GB (6.40) a partir de las soluciones analíticas (6.14), (o viceversa) entonces los siguientes vínculos deben exigirse sobre ambos resultados,

$$\chi_1 - 2\chi_2 + \chi_3 = 0, \quad \chi_1 = 2\chi_2 + \frac{3b_2}{16} + a_2, \quad \chi_3 = a_2 - \frac{b_2}{16}. \quad (6.42)$$

Igualmente para $d = 5$ la entropía resultante viene dada por,

$$S_{GB}^{(d=5)} = \frac{\pi^2}{(v_2 + 4\chi_3)G_5} (-8\sqrt{v_2}\chi_1^2 + \chi_1(48\chi_2\sqrt{v_2} - 2\sqrt{v_2}(4v_2 + 16\chi_3 + \Lambda v_2^2)) - 64\sqrt{v_2}\chi_2^2 + 4\sqrt{v_2}(20\chi_3 + \Lambda v_2^2 + 4v_2)\chi_2 - \frac{v_2^{\frac{5}{2}}}{2}(4\chi_3\Lambda - 1)) \quad (6.43)$$

para las funciones v_1 , e y q , dadas por,

$$v_1 = \frac{v_2(v_2 + 4\chi_3)}{4v_2 + \Lambda v_2^2 - 16\chi_2 + 12\chi_3 + 4\chi_1}, \quad (6.44)$$

$$q = q(v_2, \Lambda, \chi_1, \chi_2, \chi_3), \quad e = e(v_2, \Lambda, \chi_1, \chi_2, \chi_3). \quad (6.45)$$

También, la relación entre las entropías (6.43) y (6.32) vienen dadas para cuando se cumplan los siguientes vínculos,

$$\chi_1 - 2\chi_2 + \chi_3 = 0, \quad a_2 = \frac{3}{5}(2\chi_2 - \chi_1), \quad b_2 = 8(\chi_1 - 2\chi_2). \quad (6.46)$$

Si entonces tomamos $\chi_1 = \chi_2 = \chi_3 \equiv \chi$, en (6.43), se obtiene la ecuación (6.33).

Estos resultados son interesantes porque ellos se corresponden con casos donde los invariantes de Riemann no pueden reproducir los resultados de la teoría genérica de GB. Esto nos sugiere que a nuestra teoría siempre le faltarán invariantes por adicionar. Aunque, esta situación es irrelevante si se tiene en cuenta que es bien conocido que la teoría de GB sobre una gravedad AdS es en general inconsistente debido al principio variacional [98] y al problema de la regularización que presentan. Una discusión extensiva de este problema puede verse en [99],[100],[101].

6.3 Conclusiones y perspectivas del capítulo

Nosotros hemos calculado la entropía de ANs extremos en el caso de $d = 4$ y $d = 5$ dimensiones, teniendo en cuenta términos de derivación superior construidos a partir del conjunto completo de invariantes de Riemann, en una forma, que hasta donde sabemos, no se ha realizado con anterioridad.

Aunque el caso de GB fue estudiado con anterioridad en [88], en nuestro trabajo, hemos encontrado invariantes de segundo orden que han generalizado los resultados del caso GB encontrando como caso particular el caso de RN. También se han obtenido los términos principales para las aproximaciones en el caso de términos de derivación superior. Por consiguiente, el conjunto de soluciones obtenido muestra un ejemplo concreto de que el formalismo de Sen funciona correctamente y es un proceso menos complicado que el uso de la fórmula de Wald [94]-[97]. Para poder aplicar la fórmula de Wald se debe conocer la solución exacta de las ecuaciones de campo del problema y esto solo se tiene para un número muy reducido de casos.

7. CONCLUSIONES Y PERSPECTIVAS

Conclusiones

En esta tesis nos planteamos dos objetivos inspirados en el estudio de la Física de Objetos Compactos en presencia de campos magnéticos intensos. El primer objetivo, el estudio del colapso de un gas denso autogravitante de materia fermiónica: electrones y neutrones sobre la base de un modelo construido para describir, al menos cualitativamente, el interior de una EB o una EN. Bajo las condiciones asumidas en el modelo, arribamos a las siguientes conclusiones:

1. El gas de electrones magnetizado dependiendo de las condiciones iniciales del problema colapsa a una singularidad tipo “punto” o “cigarro”.
2. Para el gas de electrones magnetizado siempre existe un valor de campo magnético para el cual el colapso tipo “cigarro” se extiende en la dirección del campo magnético.
3. Un gas de neutrones siempre colapsa a una singularidad tipo “punto”.
4. El que el gas de electrones pueda tener una singularidad tipo “cigarro”, y no así para el gas de neutrones, se debe a que el campo magnético se acopla de manera más fuerte (mediante su carga eléctrica) con los electrones, a diferencia de los neutrones, ya que ellos no poseen carga eléctrica y se acoplan al campo magnético mediante su MMA.
5. Hemos introducido perturbaciones enriqueciendo la dinámica del espacio-tiempo Bianchi demostrando que este espacio-tiempo puede aproximarse más a situaciones reales.

Del segundo objetivo podemos destacar a manera de conclusiones lo siguiente:

1. El método de Sen nos permitió encontrar nuevos resultados para la entropía de ANs extremos en 4 y 5-dimensiones con topología AdS y teniendo en cuenta términos de derivación superior. Se mostró así que estos resultados generalizan la fórmula de Área encontrada por Bekenstein-Hawking ($S = A/4G$) para la TGR.
2. El método de Sen nos demostró que es una herramienta realmente potente y funciona bien para teorías con términos de derivación superior. Cálculos que anteriormente eran imposibles de efectuar, ahora son posibles de realizarlos.

Perspectivas

Como perspectivas podemos destacar varias relacionadas con los dos objetivos.

1. El tema de estudiar la evolución dinámica de un gas degenerado y magnetizado autogravitante de fermiones, podría estudiarse en condiciones más realistas. Se podría enriquecer la dinámica del espacio-tiempo, ya sea introduciendo perturbaciones como se intenta hacer en el capítulo 4 o cambiando a otros Bianchis de ordenes superiores en donde se presentan condiciones de 4-velocidad inclinada con vorticidad no nula, así como curvatura positiva que es la que naturalmente posee un objeto compacto.

El hecho de incorporar fuentes de materia de distinto tipo, o sea materia mezclada, electrones, protones, neutrones, también incrementaría la validez del modelo. Incorporando las condiciones de neutralidad de carga y equilibrio beta que están presentes en el interior de una EB y de una EN, además entender si en esas condiciones prevalecen la singularidad de tipo punto o si las de tipo cigarro aparecen.

Examinar la posibilidad de incorporar la aproximación de árbol en el potencial termodinámico y las de un lazo para las ecuaciones de Maxwell.

También podría generalizarse este estudio al contexto cosmológico añadiendo los efectos de la temperatura. Ello podría describir la dinámica de la nucleosíntesis en presencia de campos magnéticos.

2. Para el segundo tema, se podría incorporar hasta orden cinco los invariantes relacionados con la teoría de calibración o sea el mismo orden máximo que poseen los invariantes de Riemann y encontrar allí invariantes independientes, después con ellos calcular la entropía de ANs extremos con topología AdS de forma aproximada. También, se podrían generalizar estos resultados a 6,7,8,... n -dimensiones.

Anexo A Convenios y Notaciones

Constantes físicas más usadas,

$$\begin{aligned}
 \text{Velocidad de la luz } c &= 2.998 \times 10^8 \text{ m s}^{-1}, \\
 \text{Carga eléctrica del electrón } e &= 1.60 \times 10^{-19} \text{ C}, \\
 \text{Constante de Dirac } \hbar &= 1.054 \times 10^{-34} \text{ J s}, \\
 \text{Masa en reposo del electrón } m_e &= 9.109 \times 10^{-31} \text{ kg}, \\
 \text{Constante de gravitación } G &= 6.6742 \times 10^{-11} \text{ N m}^2 \text{ kg}^{-2}, \\
 \text{Acoplamiento gravitatorio } \kappa &= \frac{8\pi G}{c^4} = 2.075 \times 10^{-43} \text{ m J}^{-1}, \\
 \text{Masa del Sol } M_\odot &= 1.99 \times 10^{30} \text{ kg}, \\
 \text{Radio del Sol } R_\odot &= 6.96 \times 10^5 \text{ km}, \\
 \text{Temperatura del Sol } T_\odot &= 15 \times 10^6 \text{ K}, \\
 \text{Campo Magnético } \mathcal{B}_\odot &= 1 \text{ G}, \\
 \text{Densidad del Sol } \rho_\odot &= 1410 \text{ kg m}^{-3}.
 \end{aligned}$$

Matrices de Pauli,

$$\sigma^1 = \begin{pmatrix} 0 & 1 \\ 1 & 0 \end{pmatrix}, \quad \sigma^2 = \begin{pmatrix} 0 & -i \\ i & 0 \end{pmatrix}, \quad \sigma^3 = \begin{pmatrix} 1 & 0 \\ 0 & -1 \end{pmatrix}. \quad (\text{A.1})$$

Matrices gamma de Dirac,

$$\gamma^0 = \begin{pmatrix} 1 & 0 \\ 0 & -1 \end{pmatrix}, \quad \gamma^j = \begin{pmatrix} 0 & \sigma^j \\ \sigma^j & 0 \end{pmatrix}. \quad (\text{A.2})$$

Si se usa el convenio $\hbar = c = 1$, en este sistema,

$$[\textit{longitud}] = [\textit{tiempo}] = [\textit{masa}]^{-1} = [\textit{energía}]^{-1}, \quad (\text{A.3})$$

se deduce que si se escribe una m sola, entonces se entenderá como energía en reposo mc^2 , así como su inverso se entenderá, como la longitud de onda Compton (\hbar/mc),

$$m_e = 9.109 \times 10^{-31} \text{ kg} \equiv 0.511 \text{ MeV} \equiv (3.862 \times 10^{-11} \text{ cm})^{-1}. \quad (\text{A.4})$$

En el contexto de la teoría cuántica de campos, se introduce una derivada covariante de la forma,

$$D_\mu = \partial_\mu + ieA_\mu, \quad (\text{A.5})$$

donde A_μ es el 4-vector potencial del campo electromagnético y se toma el convenio para la métrica del modo $[+ - - -]$. Así, $x^\mu = (x^0, \mathbf{x})$, y $x_\mu = g_{\mu\nu}x^\nu$ las que para el caso de una métrica plana de Lorentz, toman la forma $x_\mu = (x^0, -\mathbf{x})$. Así mismo, para el operador derivada se define como es usual,

$$\partial_\mu = \frac{\partial}{\partial x^\mu} = (\partial_0, \nabla). \quad (\text{A.6})$$

Sin embargo, si estamos en la TGR, generalmente tomamos el convenio $[- + + +]$ y la relación entre las constantes $G/c = 1$. Usamos índices latinos para el espacio-tiempo $(a, b, c, d, \dots, i, j, k, \dots = 1, 2, 3, 4)$ e índices griegos para el espacio 3-dimensional $(\alpha, \beta, \gamma, \dots = 1, 2, 3)$, con la excepción del Capítulo-4 donde invertimos esta selección.

También, empleamos la notación de coma “,” para la derivada normal,

$$T^{ab}{}_{,\mu} = \frac{\partial T^{ab}}{\partial x^\mu} \quad (\text{A.7})$$

y punto y coma (;) o ∇ (antes del ente que se desea derivar) para la derivada covariante. Ejemplo para un tensor T^{ab} dos veces contravariante,

$$T^{ik}{}_{;j} = \frac{\partial T^{ik}}{\partial x^j} + \Gamma_{jn}^i T^{nk} + \Gamma_{jm}^k T^{im} \equiv \nabla_j T^{ik}, \quad (\text{A.8})$$

donde Γ_{kj}^i son los índices de Christoffel.

Además se recuerda el conjunto de definiciones:

- $T^{a_1 a_2, \dots, a_p}{}_{b_1, b_2, \dots, b_q}$ Componentes de un tensor “ p ” veces contravariante y “ q ” veces covariante.
- u^a Componentes de un vector contravariante en el espacio-tiempo.
- \vec{u} Componente de un vector del espacio 3-dimensional.
- w^i 1-forma diferencial.
- e_j base covariante.

En general un tensor cualquiera se puede escribir rigurosamente de la forma:

$$T = T^{a_1 a_2, \dots, a_p}{}_{b_1, b_2, \dots, b_q} w^{b_1} \otimes w^{b_2} \otimes \dots \otimes w^{b_q} \otimes e_{a_1} \otimes e_{a_2} \dots \otimes e_{a_p}, \quad (\text{A.9})$$

donde las bases deben cumplir con las siguientes relaciones:

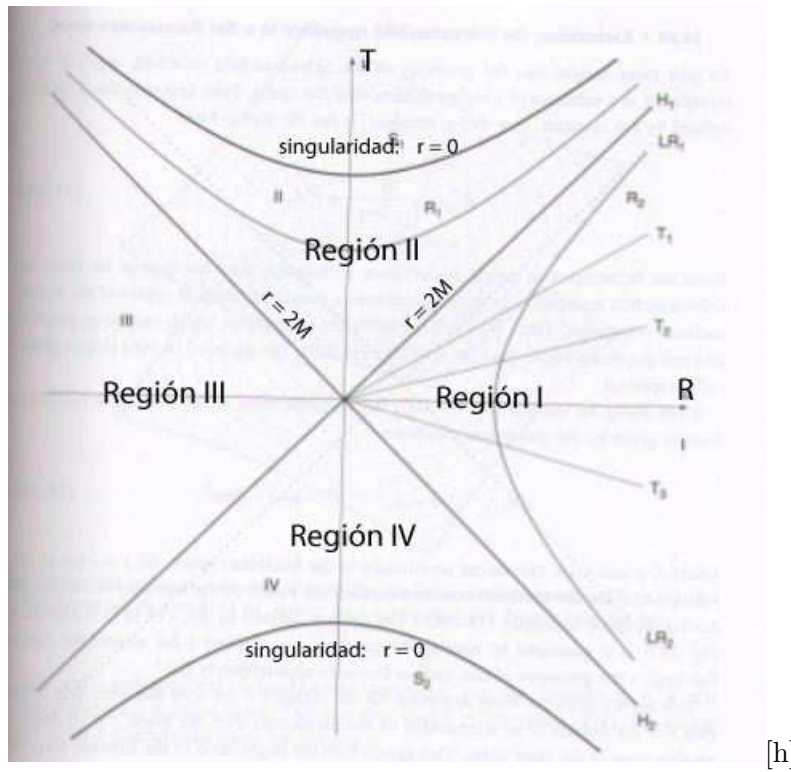
$$\langle e_i, e_j \rangle = g_{ij}, \quad (\text{A.10})$$

$$\langle w^i, w^j \rangle = g^{ij}, \quad (\text{A.11})$$

$$\langle w^j, e_i \rangle = \delta^j_i, \quad (\text{A.12})$$

donde \langle, \rangle denota el producto escalar.

Anexo B Diagramas del Agujero Negro de Schwarzschild



[h]

Figura 6: Se muestra el diagrama del AN de Schwarzschild en las coordenadas de Kruskal-Szekeres.

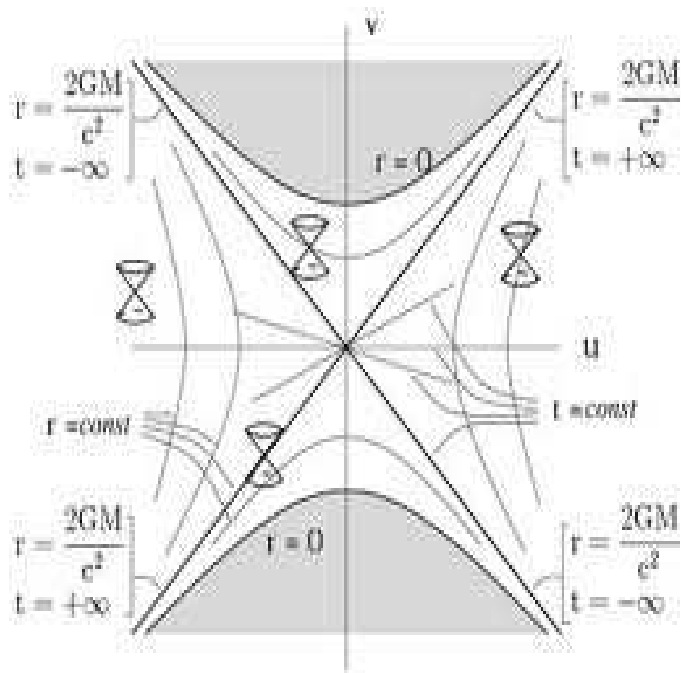


Figura 7: Se muestra el diagrama del AN de Schwarzschild en las coordenadas de Kruskal-Szekeres.

Anexo C Fuentes de Materia

C.1 Fluido Termodinámico

La ecuación de estado más general para un fluido termodinámico mono-componente puede ser escrita como,

$$\rho = \rho(n, T), \quad p = p(n, T), \quad (\text{C.1})$$

donde n y T son la densidad del número de partículas y la temperatura. En la geometría RW este fluido cumple con la ecuación de conservación,

$$\nabla_a(nu^a) = 0, \quad \Rightarrow \quad \frac{\dot{n}}{n} + \frac{3\dot{R}}{R} = 0, \quad \Rightarrow \quad n \propto R^{-3}, \quad (\text{C.2})$$

y la ecuación de equilibrio de Gibbs,

$$TdS = d\left(\frac{\rho}{n}\right) + p d\left(\frac{1}{n}\right) \quad \Rightarrow \quad T\dot{S} = \frac{d}{dt}\left(\frac{\rho}{n}\right) + p \frac{d}{dt}\left(\frac{1}{n}\right), \quad (\text{C.3})$$

donde S es la entropía por partícula. Comparando (C.2) y (C.3), con (1.42) obtenemos $\dot{S} = 0$, de modo que el fluido es isoentrópico (la entropía S se conserva a lo largo de u^a), lo cual es de esperar para un fluido en equilibrio térmico (bajo un proceso reversible y cuasi-estático). Usando (1.42) y (C.2), la condición de integrabilidad (C.3) permite obtener la ley de evolución,

$$\frac{\dot{T}}{T} + 3 \left[\frac{\partial p / \partial T}{\partial \rho / \partial T} \right]_n \frac{\dot{R}}{R} = 0, \quad (\text{C.4})$$

donde el índice $_n$ indica evaluación a n constante. La integración de (C.4) para cualquier ecuación de estado como (C.1) permite una relación del tipo $T = T(R, n)$, pero $n \propto R^{-3}$, la relación $T = T(R, n)$ transforma a (C.1) en $\rho = \rho(R)$, permitiendo la integración de la ecuación de Friedmann (1.43).

C.2 Gas ideal relativista no-degenerado.

Un importante ejemplo de un sistema termodinámico es el gas ideal relativista de una componente, asociado con la distribución de Juttner, la cual es la generalización relativista de la distribución de Maxwell-Boltzmann en la Teoría Cinética Relativista. Una descripción hidrodinámica para este tipo de gas viene dada por la ecuación de estado,

$$\rho = mc^2 n \Gamma(\beta) - nk_B T, \quad p = nk_B T, \quad (\text{C.5})$$

donde,

$$\Gamma(\beta) \equiv \frac{K_3(\beta)}{K_2(\beta)}, \quad \beta \equiv \frac{mc^2}{kT},$$

aquí m es la masa de la partícula, k_B es la constante de Boltzmann y K_2, K_3 son funciones de Bessel modificadas de segundo tipo, de segundo y tercer orden. La ecuación de estado (C.5) es un poco complicada, aunque se simplifica para dos situaciones extremas de temperatura y energía: el régimen ultra-relativista (UR) y el no-relativista (NR), caracterizados por $\beta \ll 1$ y $\beta \gg 1$ respectivamente. Es útil apreciar estos rangos de temperaturas para estos

casos límites. Considerando masas de orden nuclear ($\approx 10^{-27}$ kg), con $k_B \approx 10^{-23}$ J/K, nosotros tenemos que $\beta \approx 1$ para $T \approx 10^{12}$ K. De modo que podemos modelar materia cósmica basándonos en un gas ideal no relativista. El caso ultra-relativista podría ser válido para eras cósmicas muy calientes. Considerando el comportamiento de $\Gamma(\beta)$ para estos casos límites, nosotros tenemos,

$$\beta \ll 1, \quad \Gamma \approx \frac{4}{\beta} + \frac{\beta}{2} + O(\beta^3), \quad \rho \approx 3nk_B T \quad \text{UR}, \quad (\text{C.6})$$

$$\beta \gg 1, \quad \Gamma \approx 1 + \frac{5}{2\beta} + O(\beta^{-2}), \quad \rho \approx mc^2 n + \frac{3}{2}nk_B T \quad \text{NR}. \quad (\text{C.7})$$

Identificando la ecuación de estado para el caso del gas ideal ultra-relativista (UR),

$$\rho = 3nk_B T, \quad p = nk_B T = \frac{1}{3}\rho, \quad (\text{C.8})$$

y para el gas clásico no-relativista (NR),

$$\rho = mc^2 n + \frac{3}{2}nk_B T, \quad p = nk_B T, \quad (\text{C.9})$$

de las ecuaciones de conservación (C.2), y (C.3) se obtiene inmediatamente para el gas NR,

$$n = n_0 \left(\frac{R_0}{R} \right)^3, \quad T = T_0 \left(\frac{R_0}{R} \right)^2, \quad (\text{C.10})$$

$$p(R) = n_0 k_B T_0 \left(\frac{R_0}{R} \right)^5, \quad (\text{C.11})$$

$$\rho(R) = mc^2 n_0 \left(\frac{R_0}{R} \right)^3 \left[1 + \frac{3k_B T}{2mc^2} \right], \quad (\text{C.12})$$

donde R_0, n_0, T_0 son R, n, T evaluados en el valor fijo $t = t_0$. La ecuación (C.12) es la relación necesaria $\rho = \rho(R)$ que transforma a (1.43) en una cuadratura integrable.

La ecuación de estado del gas ideal relativista (C.5) es aplicable a gases diluidos en los que las distancias medias entre las partículas (entre colisiones) son mucho mayores que la longitud de onda térmica. Por lo tanto, los efectos cuánticos del tipo de estadística, pueden ser despreciados (gases no-degenerados). En los capítulos 2 y 3 se tratará el caso de gases de fermiones, en los cuales estas suposiciones no son válidas. Aunque las ecuaciones de estado resultantes serán mucho más generales, el tratamiento dinámico através de las ecuaciones de Einstein para estos gases sigue la misma metodología que la descrita anteriormente. Sin embargo, la inclusión de un campo magnético introduce la existencia de una dirección privilegiada, y es por lo tanto incompatible con la métrica FLRW. Para este caso se utilizarán modelos Bianchi I, que son homogéneos, pero anisotrópicos.

C.3 Polvo

Es evidente a partir del sistema de ecuaciones (C.2), que expandiendo al límite $R \gg R_0$, la presión y la energía decaen rápidamente como $O(R^{-5})$, y el resto de la masa energía como $O(R^{-3})$. Por otro lado el rango $k_B T/mc^2 = 1/\beta$ es despreciable ($\ll 10^{-3}$) para masas de

nucleones o electrones y para un ancho rango de temperaturas asociadas con condiciones clásicas ($T < 10^8$ K), entonces es evidente a partir de (C.12) que prácticamente para toda su evolución, el gas ideal puede ser razonablemente aproximado suponiendo $p \approx 0$ y $\rho \approx mc^2n$. Fuentes de materia que satisfacen la ecuación de estado,

$$p = 0, \quad \rho(R) \propto R^{-3}, \quad (\text{C.13})$$

son llamadas “polvo”, y reducen a (1.38) a la forma $T_{ab} = \rho u_a u_b$. Aunque (C.13) puede ser justificado como límite de temperatura cero de un gas ideal NR, dejando a $\rho = mc^2n$ (o sea toda la densidad de materia-energía sería igual a la energía en reposo). Esta ecuación posee una conveniente descripción aproximada de ciertos tipos de materia cósmica no-relativista. Por ejemplo, materia fría no colisionada, o materia oscura fría no-bariónica (aunque esta última relación no es del todo segura para materia oscura).

C.4 Radiación

Para el gas ideal UR, de las ecuaciones de conservación (C.2), y (C.3) se obtiene que,

$$n = n_0 \left(\frac{R_0}{R} \right)^3, \quad T = T_0 \left(\frac{R_0}{R} \right), \quad (\text{C.14})$$

así que,

$$\rho(R) = 3n_0 k_B T_0 \left(\frac{R_0}{R} \right)^4 = 3p(R), \quad (\text{C.15})$$

permiten la integración de (1.42) y (1.43). La ecuación (C.8) puede describir aproximadamente un gas de partículas masivas ($m > 0$) a muy alta temperatura, pero esta es exactamente la ecuación de estado para un gas de partículas no masivas, tales como fotones o neutrinos. Una relación equivalente a (C.15) para fotones es la ley de Steffan-Boltzmann,

$$\rho_\gamma = a_\gamma T^4 = a_\gamma T_0^4 \left(\frac{R_0}{R} \right)^4, \quad (\text{C.16})$$

donde a_γ es la constante de Steffan-Boltzmann, así que la conservación de la densidad del número de fotones es $n_0 = a_\gamma T_0^3 / 3k_B$. El término radiación es aplicado a un gas de fotones caracterizado por el espectro de energía de un cuerpo negro. La Radiación Cósmica de Fondo o CMB ⁴⁴ es la reliquia de eras primordiales en el Universo donde dominaba la radiación, es la más importante manifestación de este tipo de gas en el contexto cosmológico.

⁴⁴CMB viene del inglés Cosmic Microwave Background

Anexo D Ecuación de Raychaudhuri

Antes de deducir la ecuación de Raychaudhuri definamos primero la congruencia de geodésicas:

- Sea M una variedad y sea $\mathcal{O} \subset M$ un abierto. Una *congruencia* en \mathcal{O} es una familia de curvas tales que a través de cada $p \in \mathcal{O}$ pasa precisamente una curva de esta familia.
- Una congruencia se dice que es *suave* si el correspondiente vector del campo de los vectores tangentes es suave.

Consideremos una suave *congruencia de geodésicas temporaloides*. Suponemos que las geodésicas son parametrizables por el tiempo propio τ , así que el vector del campo u^a , tangente a las líneas de materia, es normalizado a la unidad de la forma $u^a u_a = -1$. Entonces se puede definir cierto tensor del campo B_{ab} ,

$$B_{ab} = \nabla_b u_a, \quad (\text{D.1})$$

que será puramente espacial, o sea,

$$B_{ab} u^a = B_{ab} u^b = 0. \quad (\text{D.2})$$

Consideremos una suave subfamilia $\gamma_s(\tau)$ uni-paramétrica de geodésicas en la congruencia. Sea η^a el vector de desviación ortogonal de γ_0 para esta subvariedad. Entonces η representa el desplazamiento infinitesimal espacial desde γ_0 hasta una geodésica cercana,

$$\mathfrak{L}_u \eta^a = 0, \quad (\text{D.3})$$

donde, la anterior derivada de Lie quiere decir que,

$$u^b \nabla_b \eta^a = \eta^b \nabla_b u^a \equiv B^a_b \eta^b. \quad (\text{D.4})$$

Entonces B puede ser interpretado físicamente como quien mide la desviación de η^a al ser transportado paralelamente. Un observador sobre las geodésicas de la familia γ_0 podrá encontrar geodésicas cercanas a él rodeándolas estiradas o rotadas por el mapa lineal B^a_b . Continuemos ahora con el siguiente conjunto de definiciones necesarias:

La métrica espacial puede ser definida como:

$$h_{ab} = g_{ab} + u_a u_b, \quad (\text{D.5})$$

donde el tensor de proyección ortogonal sobre la hiper-superficie ortogonal a u^a es dado por,

$$h^a_b = g^{ac} h_{cb}. \quad (\text{D.6})$$

La expansión, se define como:

$$\theta = B^{ab} h_{ab}. \quad (\text{D.7})$$

El tensor de deformaciones (o cizallamiento) se define según:

$$\sigma = B_{(ab)} - \frac{\theta}{3} h_{ab}, \quad (\text{D.8})$$

y el tensor de vorticidad como:

$$\omega_{ab} = B_{[ab]}. \quad (\text{D.9})$$

De esta forma B_{ab} puede ser descompuesto como:

$$B_{ab} = \frac{\theta}{3} h_{ab} + \sigma_{ab} + \omega_{ab}. \quad (\text{D.10})$$

Todos ellos son púramente espaciales ya que, $\sigma_{ab}u^b = \omega_{ab}u^b \equiv 0$. Ahora los respectivos significados físicos de estas magnitudes son:

- θ : Mide el promedio de expansión de geodésicas circundantes e infinitésimamente cercanas.
- ω_{ab} : Mide la rotación de una geodésica circundante e infinitésimamente cercana respecto a la otra.
- σ_{ab} : Mide la deformación. O sea, sea una esfera inicial en el espacio tangente la cual es transportada según Lie (transporte paralelo) a lo largo de u^a y se distorsiona en un elipsoide con los ejes principales en la dirección de los eigenvectores de σ^a_b .

De la ecuación de la desviación de la geodésica es fácil derivar lo siguiente:

$$u^c \nabla_c B_{ab} = u^c \nabla_c \nabla_b u_a = u^c (\nabla_b \nabla_c u_a + R_{cba}^d u_d) \quad (\text{D.11})$$

$$= -B^c_b B_{ac} + R_{cba}^d u^c u_d. \quad (\text{D.12})$$

Tomando la traza, obtenemos,

$$u^c \nabla_c \theta = \frac{d\theta}{d\tau} = -\frac{\theta^2}{3} - \sigma_{ab} \sigma^{ab} + \omega_{ab} \omega^{ab} - R_{cd} u^c u^d. \quad (\text{D.13})$$

La ecuación (D.13) es la conocida ecuación de Raychaudhuri y es la piedra angular para demostrar los teoremas de singularidad. Usando las ecuaciones de Einstein's y la normalización de u^b en el último término de la ecuación de Raychaudhuri (D.13) tenemos:

$$R_{ab} u^a u^b = 8\pi [T_{ab} - \frac{T}{2} g_{ab}] u^a u^b = 8\pi [T_{ab} u^a u^b + \frac{T}{2}], \quad (\text{D.14})$$

donde $T_{ab} u^a u^b$ representa la densidad de energía de la materia medida por un observador cuya 4-velocidad es u^a (temporaloidea). De la expresión (D.14) se pueden definir las siguientes desigualdades que constituyen las condiciones de energía para la materia:

$$\text{(Condición de energía débil)} \quad T_{ab} u^a u^b \geq 0, \quad (\text{D.15})$$

$$\text{(Condición de energía fuerte)} \quad T_{ab} u^a u^b + \frac{T}{2} \geq 0, \quad (\text{D.16})$$

$$\text{(Condición de energía dominante)} \quad -T_b^a u^b = \text{vector temporaloideo o nulo.} \quad (\text{D.17})$$

- Esta última condición (D.17) debe ser un vector temporaloideo o nulo, él representa la densidad de 4-corriente del tensor energía-momentum de la materia. Medida por un observador con 4-velocidad u^a . Puede ser interpretado como la velocidad del flujo de energía de la materia con velocidad menor que c .

- Si $\nabla^a T_{ab} = 0$ entonces la condición de energía dominante se satisface. Es decir, se desvanece sobre un conjunto cerrado acronal S , entonces también se desvanece en $D(S)$.⁴⁵

Note que la condición de energía dominante implica la condición de energía débil, pero en otro caso todas estas condiciones serán matemáticamente independientes.

⁴⁵Esto constituye un lema, o sea el Lema 4.3.1, enunciado por Hawking–Ellis en 1973.

Anexo E Significado del tiempo adimensional (τ)

El tiempo adimensional (τ) se define a partir de la ecuación (3.51):

$$\frac{d}{d\tau} = \frac{1}{H_0} \frac{d}{dt} \Rightarrow \tau = H_0 t, \quad (\text{E.1})$$

en la cual podemos notar que el signo de τ depende del signo de t y del signo de H_0 . Para comprender el sentido físico del tiempo adimensional τ observemos que de (3.42), (3.51) y (3.52) obtenemos:

$$\mathcal{H}H_0 = H = \frac{1}{3} \left(\frac{\dot{Q}_1}{Q_1} + \frac{\dot{Q}_2}{Q_2} + \frac{\dot{Q}_3}{Q_3} \right) = \frac{1}{3} \frac{d}{dt} \ln(V), \quad (\text{E.2})$$

$$V = ABC \Rightarrow \frac{V}{V_0} = e^{3 \int_0^t H dt}, \quad (\text{E.3})$$

y despejando \mathcal{H} de (2.42) tenemos:

$$\mathcal{H} = \pm \frac{1}{3} \sqrt{3\Gamma_U + S_2^2 + S_3^2 + S_2 S_3}. \quad (\text{E.4})$$

Si fijamos $t \geq 0$, en (E.3) tenemos la siguiente interpretación física:

$$I = 3 \int_0^t H dt \Rightarrow \begin{aligned} &= \text{Si } I > 0 \Rightarrow V > V_0 \text{ (expansión),} \\ &= \text{Si } I < 0 \Rightarrow V < V_0 \text{ (colapso).} \end{aligned} \quad (\text{E.5})$$

$$\quad \quad \quad = \text{Si } I < 0 \Rightarrow V < V_0 \text{ (colapso).} \quad (\text{E.6})$$

Las posibles combinaciones de signo se dan en el cuadro (1), en el cual aparecen resaltados los convenios que hemos escogido en esta tesis.

<i>Casos</i>	<i>Expansión</i>	<i>Volumen elemental</i>	τ
$H > 0$	$\mathcal{H} > 0$ y $H_0 > 0$	<i>Expansión</i> $V > V_0$	$\tau > 0$
	$\mathcal{H} < 0$ y $H_0 < 0$		$\tau < 0$
$H < 0$	$\mathcal{H} < 0$ y $H_0 > 0$	<i>Colapso</i> $V < V_0$	$\tau > 0$
	$\mathcal{H} > 0$ y $H_0 < 0$		$\tau < 0$
$H = 0$	$\mathcal{H} = 0$	$V = V_0$	

Tabla 1: Posibles combinaciones de signos entre \mathcal{H} , H_0 y τ para $t > 0$.

Notemos que el sistema comienza a evolucionar a partir de $t = \tau = 0$, para $\tau > 0$ el sistema colapsa y para $\tau < 0$ el sistema tiende hacia un estado diluido como se puede ver en la Figura 5.

Anexo F Espacios de fase

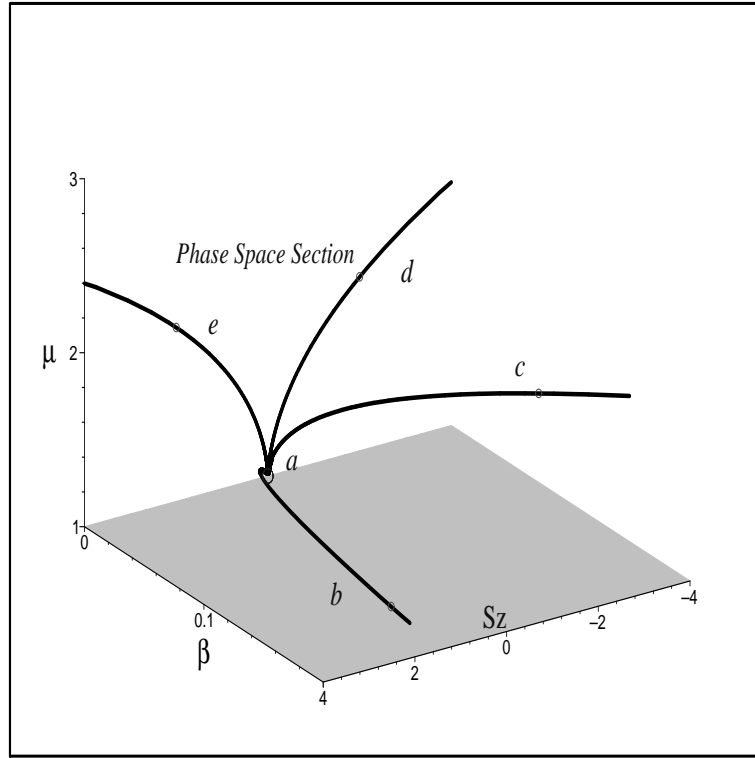


Figura 8: Trayectorias en la sección del espacio de fase (S^z, β, μ) para cuatro condiciones iniciales diferentes de un gas magnetizado y auto-gravitante de electrones degenerados. El plano sombreado $\mu = 1$, está acotado por $-4 < S^z < 4$ y $0 < \beta < 0.2$. El atractor “estable” es el punto marcado por a , y las curvas b, c, d y e son soluciones numéricas sobre la sección 3-dimensional del espacio de fase. Todas las trayectorias caen desde $\tau = 0$ tendiendo al atractor estable a . Similarmente, desde $\tau = 0$ (esfera vacía) todas escapan tendiendo a la singularidad.

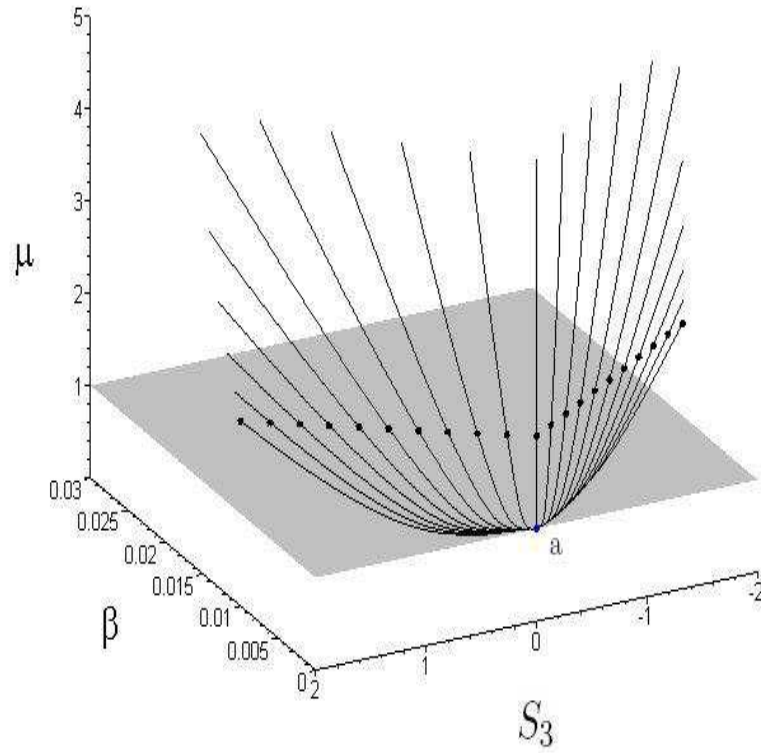


Figura 9: El gráfico muestra varios caminos en una subsección 3-dimensional (S_3, β, μ) del espacio de fase para un gas magnetizado y auto-gravitante de neutrones degenerados. Los puntos oscuros representan las condiciones iniciales a “ $\tau = 0$ ”. El punto “a” representa un “atractor” con coordenadas $(S_3 = 0, \beta = 0, \mu = 1, \mathcal{H} = 0)$.

Anexo G Invariantes de Riemann para $AdS_2 \times S^{d-2}$

<i>Invariantes</i>	<i>Definiciones</i>	<i>Soluciones</i> $d = 4$	<i>Soluciones</i> $d = 5$
R	$g^{ad}g^{bc}R_{abcd}$	$2\gamma_1$	$2\gamma_3$
$r_1 = R_2$	$\frac{1}{4}S_a^b S_b^a$	$\frac{1}{4}\gamma_2^2$	$\frac{3}{10}\gamma_4^2$
$r_2 = R_3$	$-\frac{1}{8}S_a^b S_b^c S_c^a$	0	$\frac{3}{10^2}\gamma_4^3$
$r_3 = R_4$	$\frac{1}{16}S_a^b S_b^c S_c^d S_d^a$	$\frac{1}{64}\gamma_2^4$	$\frac{21}{10^3}\gamma_4^4$
$\Re(w_1) = \Re(W_2)$	$\frac{1}{8}C_{abcd}C^{abcd}$	$\frac{1}{6}\gamma_1^2$	—
$\Re(w_2) = \Re(W_3)$	$-\frac{1}{16}C_{ab}^{cd}C_{cd}^{ef}C_{ef}^{ab}$	$\frac{-1}{36}\gamma_1^3$	—
$\Re(m_1) = \Re(M_3)$	$\frac{1}{8}S^{ab}S^{cd}C_{acdb}$	$\frac{-1}{12}\gamma_1\gamma_2^2$	—
$\Re(m_2) = \Re(M_4)$	$\frac{1}{16}S^{cd}S_{ef}(C_{acdb}C^{aefb} - C_{acdb}^*C^{*aefb})$	$\frac{1}{36}\gamma_1^2\gamma_2^2$	—
$m_3 = M_4^+$	$\frac{1}{16}S^{cd}S_{ef}(C_{acdb}C^{aefb} + C_{acdb}^*C^{*aefb})$	$\frac{1}{36}\gamma_1^2\gamma_2^2$	—
$\Re(m_5) = \Re(M_5)$	$\frac{1}{32}S^{cd}S^{ef}C^{aghb}(C_{acdb}C_{gefh} + C_{acdb}^*C_{gefh}^*)$	$\frac{-1}{108}\gamma_1^3\gamma_2^2$	—
<i>donde :</i>	$\gamma_1 = (v_1 - v_2)/v_1v_2, \gamma_2 = (v_1 + v_2)/v_1v_2,$ $\gamma_3 = (3v_1 - v_2)/v_1v_2, \gamma_4 = (2v_1 + v_2)/v_1v_2$		

Tabla 2: Cuadro de definiciones del conjunto completo de invariantes de Riemann y sus resultados para la geometría tipo $AdS_2 \times S^{d-2}$ cerca del horizonte de un AN en $d = 4$ y $d = 5$ dimensiones (el resto de los invariantes son nulos). Todas las definiciones son basadas sobre el tensor de Ricci de traza nula S_{ab} , el tensor de Weyl C_{abcd} y el tensor de Riemann R_{abcd} . Aunque, estos tensores también pueden ser definidos sobre una base espinorial [30]. Aquí, “—” significa que no existe una definición para los invariantes complejos, para el caso de cinco dimensiones. Nosotros usamos aquí letras minúsculas para los invariantes de Carminati, pero en el Lagrangeano usamos letras mayúsculas. El símbolo \Re significa la parte real del invariante complejo, y para re-marcar el grado del tensor (en lugar de los subíndices de Carminati) hemos escrito el grado del tensor como un subíndice (ej. $\Re(W_2)$ significa la parte real del invariante complejo de Weyl de segundo orden w_1).

d	Grado	Invariantes	Equivalencias
$d = 4$	1 st	$R = 2\gamma_1$	γ_1
	2 nd	$R^2 = 4\gamma_1^2, \quad R_2 = \frac{1}{4}\gamma_2^2, \quad \Re(W_2) = \frac{1}{6}\gamma_1^2,$	γ_1^2, γ_2^2
	3 rd	$R^3 = 8\gamma_1^3, \quad R \times R_2 = \frac{1}{2}\gamma_1\gamma_2^2, \quad R \times \Re(W_2) = \frac{1}{3}\gamma_1^3,$ $\Re(W_3) = \frac{-1}{36}\gamma_1^3, \quad \Re(M_3) = \frac{-1}{12}\gamma_1\gamma_2^2$	$\gamma_1^3, \gamma_1\gamma_2^2$
	4 th	$R^4 = 16\gamma_1^4, \quad \Re^2(W_2) = \frac{\gamma_1^4}{36}, \quad R^2 \times R_2 = \gamma_1^2\gamma_2^2,$ $R_2^2 = \frac{1}{16}\gamma_2^4, \quad R^2 \times \Re(W_2) = \frac{2}{3}\gamma_1^4,$ $R_2 \times \Re(W_2) = \frac{1}{24}\gamma_1^2\gamma_2^2, \quad \Re(M_4) = M_4^+ = \frac{1}{36}\gamma_1^2\gamma_2^2,$ $R \times \Re(W_3) = \frac{-\gamma_1^4}{18}, \quad R \times \Re(M_3) = \frac{-\gamma_1^3\gamma_2^2}{6},$ $R_4 = \frac{1}{64}\gamma_2^4,$	$\gamma_1^4, \gamma_2^4, \gamma_1^2\gamma_2^2$
	5 th	$R^5 = 32\gamma_1^5, \quad R^3 \times R_2 = 2\gamma_1^3\gamma_2^2, \quad R^3 \times \Re(W_2) = \frac{4}{3}\gamma_1^5,$ $R^2 \times \Re(W_3) = -\frac{\gamma_1^5}{9}, \quad R_2^2 \times R = \frac{\gamma_1\gamma_2^4}{8},$ $R^2 \times \Re(M_3) = -\frac{\gamma_1^3\gamma_2^2}{3}, \quad R \times \Re^2(W_2) = \frac{\gamma_1^5}{18},$ $R \times R_2 \times \Re(W_2) = \frac{\gamma_1^3\gamma_2^2}{12},$ $R_2 \times \Re(W_3) = \frac{-\gamma_1^3\gamma_2^2}{144}, \quad R_2 \times \Re(M_3) = \frac{-\gamma_1\gamma_2^4}{48},$ $\Re(W_2) \times \Re(M_3) = \frac{-\gamma_1^3\gamma_2^2}{72}, \quad \Re(W_2) \times \Re(W_3) = \frac{-\gamma_1^5}{216},$ $R \times R_4 = \frac{\gamma_1\gamma_2^4}{32}, \quad R \times \Re(M_4) = R \times M_4^+ \equiv \frac{\gamma_1^3\gamma_2^2}{18}$	$\gamma_1^5, \gamma_1\gamma_2^4, \gamma_1^3\gamma_2^2$
$d = 5$	1 st	$R = 2\gamma_3$	γ_3
	2 nd	$R^2 = 4\gamma_3^2, \quad R_2 = \frac{3}{10}\gamma_4^2$	γ_3^2, γ_4^2
	3 rd	$R^3 = 8\gamma_3^3, \quad R \times R_2 = \frac{3}{5}\gamma_3\gamma_4^2, \quad R_3 = \frac{3}{100}\gamma_4^3$	$\gamma_3^3, \gamma_3\gamma_4^2, \gamma_4^3$
	4 th	$R^4 = 16\gamma_3^4, \quad R_2^2 = \frac{9}{100}\gamma_4^4, \quad R^2 \times R_2 = \frac{6}{5}\gamma_3^2\gamma_4^2,$ $R \times R_3 = \frac{3}{50}\gamma_3\gamma_4^3, \quad R_4 = \frac{21}{10^3}\gamma_4^4$	$\gamma_3^4, \gamma_4^4, \gamma_3^2\gamma_4^2,$ $\gamma_3\gamma_4^3$
		donde : $\gamma_1 = (v_1 - v_2)/v_1v_2, \gamma_2 = (v_1 + v_2)/v_1v_2,$ $\gamma_3 = (3v_1 - v_2)/v_1v_2, \gamma_4 = (2v_1 + v_2)/v_1v_2$	

Tabla 3: Conjunto completo de invariantes no nulos, ellos han sido organizados por *grados* para $d = 4$ y $d = 5$, basándonos en la geometría $AdS_2 \times S^{d-2}$.

Acknowledgements

This work has been supported by *Ministerio de Ciencia, Tecnología y Medio Ambiente* under the grant CB0407 and the ICTP Office of External Activities through NET-35. A.U.R. also acknowledges the Program of ICTP-CLAF fellowship as well as the hospitality of ICN, UNAM and the support from the research grant *DGAPA-UNAM PAPIIT-IN119309*.

References

- [1] L. Smolin, “*The trouble with Physics*”, Mariner Books. ISBN 0-618-91868-X. (1997).
- [2] J. Ellis, “*Mas alla del modelo estandar con el LHC*”, *Nature* **448** (2007) 297-301, doi:10.1038/nature06079.
- [3] S. P. Kim y D. N. Page, “*Schwinger pair production in electric and magnetic fields*”, *Phys. Rev. D* **73** (2006) 065020, [arXiv:hep-th/0301132].
- [4] C. Y. Cardall, M. Prakash y J. M. Lattimer, “*Effects of strong magnetic fields on neutron star structure*”, *The Astrop. J.* **554** (2001) 322-339.
- [5] F.W. Bessel, “*On the variations of the proper motions of Procyon and Sirius*”, *Notices of the Royal Astronomical Society* **6** (1844) 136-141; C. Flammarion, “*The companion of Sirius*”. *The Astronomical Register* **15** (176) (1877) 186-189; W.S. Adams, “*The spectrum of the companion of Sirius*”, *Publications of the Astronomical Society of the Pacific* **27** (161) (1915) 236-237.
- [6] S. Chandrasekhar, “*The highly collapsed configurations of a stellar mass*”, *Monthly Notices of the Royal Astronomical Society* **91** (1931) 456-466.
- [7] S. Chandrasekhar, “*The highly collapsed configurations of a stellar mass (Second paper)*”, *Monthly Notices of the Royal Astronomical Society* **95** (1935) 207-225.
- [8] S. Martin Ryle y A. Hewish, “*Premio Nobel 1974. Observación del primer pulsar en 1967*”, Webpage: <http://nobelprize.org/>, (1974).
- [9] J. B. Hartle, “*Slowly rotating relativistic stars. I. Equations of structure*”, *Astrophys. J.* **150** (1967) 1005-1029.
- [10] J. B. Hartle y K. S. Thorne, “*Slowly rotating relativistic stars. II. Models for neutron stars and supermassive stars*”, *Astrophys. J* **153** (1968) 8017-8034.
- [11] M. E. Gusakov, “*Neutrino emission from superfluid neutron-star cores: Various types of neutron pairing*”, *Astron. Astrophys.* **389** (2002) 702, [arXiv:astro-ph/0204334].
- [12] J. M. Lattimer, M. Prakash, D. Masak y A. Yahil, “*Rapidly rotating pulsars and the equation of state*”, *Astrophys. J.* **355** (1990) 241.
- [13] M. E. Gusakov, “*Transport equations and linear response of superfluid Fermi mixtures in neutron stars*”, *Phys. Rev. C* **81** (2010) 025804, [arXiv:astro-ph/1001.4452].
- [14] P. Haensel, J. L. Zdunik, M. Bejger y J. M. Lattimer, “*Keplerian frequency of uniformly rotating neutron stars and quark stars*”, [astro-ph/arXiv:0901.1268], 2009.
- [15] S. Postnikov, M. Prakash y J. M. Lattimer, “*Tidal love numbers of neutron and self-bound quark stars*”, *Phys. Rev. D* **82** (2010) 024016, [arXiv:astro-ph/1004.5098].

- [16] F. R. Gonzáles y A. Pérez. Martínez, “*Stability window and mass-radius relation for magnetized strange quark stars*”, *J. Phys. G* **36** (2009) 075202, [astro-ph/arXiv:0812.0337].
- [17] R. P. Kerr, “*Gravitational field of a spinning mass as an example of algebraically special metrics*”, *Phys. Rev. Lett.* **11** (1963) 237–238.
- [18] S. Hawking, y G. F. R. Ellis, “*The large scale structure of space-time*”, Cambridge: Cambridge University Press (1973).
- [19] F. R. González, H. J. Mosquera Cuesta, A. Pérez Martínez y H. Pérez Rojas, “*Quantum instability of magnetized stellar objects*”, *Chin. J. Astron. Astrophys.* **5** (2005) 399, [arXiv:astro-ph/0207150].
- [20] A. Pérez Martínez, H. Pérez Rojas y H. J. Mosquera Cuesta, “*Magnetic collapse of a neutron gas: Can magnetars indeed be formed*”, *Europ. Phys. J. C.* **29** (2003) 111-123, [arXiv:astro-ph/0303213].
- [21] M. Chaichian, S. S. Masood, C. Montonen, A. Pérez Martínez y H. Pérez Rojas, “*Quantum-magnetic and gravitational collapse*”, *Phys. Rev. Lett.* **84** (2000) 5261, [arXiv:hep-ph/9911218].
- [22] A. Ulacia Rey, A. Pérez Martínez y R. A. Sussman, “*Dynamics of a self-gravitating magnetized source*”, *Int. J. Mod. Phys. D* **16** (2007) 481-487, [arXiv:gr-qc/0605054].
- [23] K. S. Thorne, “*Energy of Infinitely Long, Cylindrically Symmetric Systems in General Relativity*”, *Phys. Rev.* **138** (1965) B251; K. S. Thorne, “*Absolute Stability of Melvin’s Magnetic Universe*”, *Phys. Rev.* **139** (1965) B244.
- [24] J. Wainwright y G. F. R. Ellis, “*Dynamical system in cosmology*”, ed Cambridge University Press, (1997).
- [25] A. A. Coley y S. Hervik, “*Bianchi models with vorticity: The type III bifurcation*”, *Class. and Quant. Grav.* **25** (2008) 198001, [arXiv:gr-qc/0802.3629].
- [26] C. W. Misner, K. S. Thorne y J. A. Wheeler, “*Gravitation*”, ed W. H. Freeman and Company, NY (1973).
- [27] R. M. Wald, “*General relativity*”, University of Chicago Press., Ltd. (1984).
- [28] S. Ferrara y R. Kallosh, “*Supersymmetry and attractors*”, *Phys. Rev. D* **54** (1996) 1514, [hep-th/9602136].
- [29] S. Ferrara, R. Kallosh y A. Strominger, “*N=2 extremal black holes*”, *Phys. Rev. D* **52** (1995) 5412, [hep-th/9508072].
- [30] J. Carminati y R. G. McLenaghan, “*Algebraic invariants of the Riemann tensor in a four-dimensional Lorentzian space*”, *J. Math. Phys.* **32** (1991) 3135-3140.
- [31] E. Zakhary y C. B. G. McIntosh, “*A complete set of Riemann invariants*”, *Gen. Rel. Grav.* **29** (1997) 539-581.
- [32] J. D. Barrow, R. Maartens y C. G. Tsagas, “*Cosmology with inhomogeneous magnetic fields*”, *Phys. Rept.* **449** (2007) 131, [arXiv:astro-ph/0611537].
- [33] A. Broderick, M. Prakash y J. M. Lattimer, “*The Equation of State of Neutron Star Matter in Strong Magnetic Fields*”, *The Astrop. J.* **537** (2000) 351-367.
- [34] I. Bednarek, A. Brzezina, R. Manka y M. Zastawny-Kubica, “*Theoretical model of a magnetic white dwarf*”, [arXiv:astro-ph/0212483] (2002).

- [35] V. Canuto y Hong-Yee Chiu, “*Quantum theory of an electron gas in intense magnetic fields*”, *Phys. Rev.* **173** (1968) 1210.
- [36] V. Canuto y Hong-Yee Chiu, “*Thermodynamic Properties of a Magnetized Fermi Gas*”, *Phys. Rev.* **173** (1968) 1220.
- [37] V. Canuto y Hong-Yee Chiu, “*Magnetic Moment of a Magnetized Fermi Gas*”, *Phys. Rev.* **173** (1968) 1229.
- [38] S. Chakrabarty, “*Equation of state of strange quark matter and strange star*”, *Phys. Rev. D* **43** (1991) 627-630.
- [39] S. Chakrabarty, “*Quark matter in strong magnetic field*”, *Phys. Rev. D* **54** (1996) 1306-1316.
- [40] S. L. Shapiro y S. A. Teukolsky, “*Black holes, white dwarfs, and neutron stars*”, ed John Wiley & Sons, Inc (1983).
- [41] S. L. Shapiro, “*Numerical Relativity at the Frontier*”, *Prog. Theor. Phys. Suppl.* **163** (2006) 100, [arXiv:gr-qc/0509094v1].
- [42] M. D. Duez, Y. T. Liu, S. L. Shapiro, y B. C. Stephens, “*General relativistic hydrodynamics with viscosity: contraction, catastrophic collapse, and disk formation in hypermassive neutron stars*”, *Phys. Rev. D* **69** (2004) 104030.
- [43] E. J. Ferrer, V. de la Incera, J. P. Keith, I. Portillo y P. P. Springsteen, “*Equation of state of a dense and magnetized fermion system*”, arXiv:1009.3521 [hep-ph] (2010).
- [44] C. B. Collins y G. F. R. Ellis, “*Singularities in Bianchi cosmologies*”, *Phys. Rep.* **56** (1979) 65-105.
- [45] D. Manreza Paret, A. Pérez Martínez, A. Ulacia Rey y R. A. Sussman, “*Dynamics of a self-gravitating neutron source*”, *JCAP* **1003** (2010) 017, [arXiv:0812.2508 [gr-qc]].
- [46] M. Bocquet, S. Bonazzola, E. Gourgoulhon y J. Novak, “*Rotating neutron star models with magnetic field*”, *Astron. Astrophys* **301** (1995) 757, [arXiv:grqc/9503044].
- [47] Q. H. Peng y H. Tong, “*The physics of strong magnetic fields in neutron stars*”, *Mon. Not. Roy. Astron. Soc.* **378** (2007) 159, [arXiv:astro-ph/0706.0060].
- [48] A. Reisenegger, “*Neutron stars and their magnetic fields*”, [arXiv:astro-ph/0802.2227], (2008).
- [49] I. S. Suh y G. J. Mathews, “*Cold ideal equation of state for strongly magnetized neutron-star matter: effects on muon production and pion condensation*”, *Astrophys. J.* **546** (2010) 1126, [arXiv:astro-ph/9912301].
- [50] M. Salgado, S. Bonazzola, E. Gourgoulhon y P. Haensel, “*High precision rotating neutron star models*”, *Astron. Astrophys.* **291** (1994) 155.
- [51] M. Salgado, S. Bonazzola, E. Gourgoulhon y P. Haensel, “*High precision rotating neutron star models II. Large sample of neutron star properties*”, *Astron. Astrophys. Suppl.* **108** (1994) 455.
- [52] A. Ulacia Rey, A. Pérez Martínez y R. A. Sussman, “*Local dynamics and gravitational collapse of a self-gravitating magnetized Fermi gas*”, *Gen. Rel. Grav.* **40** (2008) 1499, [arXiv:gr-qc/0708.0593].
- [53] G. J. Mao, A. Iwamoto y Zhu-Xia Li, “*Effects of Strong Magnetic Fields on the Neutron Star Structure*”, *Chin. J. Astron. Astrophys.* **3** (2003) 359-374.

- [54] V. G. Bagrov y D. M. Gitman, “*Exact solutions of relativistic wave equations*”, Kluwer Academic Publ (1990).
- [55] H. Wen, L. S. Kisslinger, W. Greiner y G. Mao, “*Neutron spin polarization in strong magnetic fields*”, *Int. J. Mod. Phys. E* **14** (2005) 1197, [arXiv:astro-ph/0408299].
- [56] C. G. Tsagas, “*Magnetic tension and gravitational collapse*”, *Class. and Quant. Grav.* **23** (2006) 4323-4331, [arXiv:gr-qc/0311085].
- [57] C. G. Tsagas y R. Maartens, “*Cosmological perturbations on a magnetised Bianchi I background*”, *Class. and Quant. Grav.* **17** (2000) 2215, [arXiv:gr-qc/9912044].
- [58] E. J. King y P. Coles, “*Dynamics of a magnetised Bianchi I universe with vacuum energy*”, *Class. and Quant. Grav.* **24** (2007) 2061, [arXiv:astro-ph/0612168].
- [59] A. Krasinski y K. Bolejko, “*Avoidance of singularities in spherically symmetric charged dust*”, *Phys. Rev. D* **73** (2006) 124033, [Erratum-ibid. D **75** (2007) 069904], [arXiv:gr-qc/0602090].
- [60] C. Germani y C. G. Tsagas, “*Magnetized Tolman-Bondi collapse*”, *Phys. Rev. D* **73** (2006) 064010, [arXiv:gr-qc/0511144].
- [61] M. A. Melvin, *Phys. Letters* **8** (1964) 65; M. A. Melvin, “*Dynamics of Cylindrical Electromagnetic Universes*”, *Phys. Rev* **139** (1965) B225.
- [62] C. G. Tsagas, “*Electromagnetic fields in curved spacetimes*”, *Class. Quant. Grav.* **22** (2005) 393, [arXiv:gr-qc/0407080].
- [63] C. G. Tsagas y J. D. Barrow, “*A gauge-invariant analysis of magnetic fields in general relativistic cosmology*”, *Class. Quant. Grav.* **14** (1997) 2539, [arXiv:gr-qc/9704015].
- [64] C. G. Tsagas y J. D. Barrow, “*Gauge-invariant magnetic perturbations in perfect-fluid cosmologies*”, *Class. Quant. Grav.* **15** (1998) 3523, [arXiv:gr-qc/9803032].
- [65] T. Nakamura, K. Oohara y Y. Kojima, *Prog. Theor. Phys. Suppl.* **90** (1987) 1; S. S. Komisarov, *Mon. Not. R. Astron. Soc.* **350** (2004) 1431; J. C. McKinney y C. F. Gammie, *Astrophys. J.* **611** (2004) 977; S. Hirose, J. H. Krolik, J.-P. DeVilliers y J. F. Hawley, *Astrophys. J.* **606** (2004) 1083; M. D. Duez, Y. T. Liu, S. L. Shapiro y B. C. Stephens, *Phys. Rev. D* **72** (2005) 024028; M. Shibata y Y.-I. Sekiguchi, *Phys. Rev D* **72** (2005) 044014; L. Anton, O. Zanotti, J. A. Miralles, J. M Martí, J. M. Ibañez, J. A. Font y J. A. Pons, *Astrophys. J.* **637** (2006) 296; M. D. Duez, Y. T. Liu, S. L. Shapiro, M. Shibata y B. C. Stephens, *Phys. Rev. Lett.* **96** (2006) 031101.
- [66] T. Johannsen y D. Psaltis, “*Testing the no-hair theorem with observations in the electromagnetic spectrum. II. Black Holes images*”, *Astrophys. J.* **718** (2010) 446.
- [67] A. Sen, “*Black hole entropy function, attractors and precision counting of microstates*”, *Gen. Rel. Grav.* **40** (2008) 2249, [arXiv:0708.1270].
- [68] A. Strominger y C. Vafa, “*Microscopic origin of the Bekenstein-Hawking entropy*”, *Phys. Lett. B* **379** (1996) 99, [arXiv:hep-th/9601029].
- [69] H. Ooguri, A. Strominger y C. Vafa, “*Black hole attractors and the topological string*”, *Phys. Rev. D* **70** (2004) 106007, [arXiv:hep-th/0405146].
- [70] A. Sen, “*Black Hole entropy function and the attractor mechanism in higher derivative gravity*”, *JHEP* **09** (2005) 038, [hep-th/0506177]; “*Entropy function for heterotic black holes*”, *JHEP* **03** (2006) 008, [hep-th/0508042].

- [71] R. M. Wald, “Black hole entropy is the Noether charge”, *Phys. Rev. D* **48** (1993) 3427, [arXiv:gr-qc/9307038].
- [72] J. R. David y A. Sen, “CHL dyons and statistical entropy function from D1-D5 system”, *JHEP* **0611** (2006) 072, [arXiv:hep-th/0605210].
- [73] J. R. David, D. P. Jatkar y A. Sen, “Dyon spectrum in $N = 4$ supersymmetric type II string theories”, *JHEP* **0611** (2006) 073, [arXiv:hep-th/0607155].
- [74] J. R. David, D. P. Jatkar y A. Sen, “Dyon spectrum in generic $N = 4$ supersymmetric $Z(N)$ orbifolds”, *JHEP* **0701** (2007) 016, [arXiv:hep-th/0609109].
- [75] P. Kraus y F. Larsen, “Microscopic black hole entropy in theories with higher derivatives”, *JHEP* **0509** (2005) 034, [arXiv:hep-th/0506176].
- [76] D. Astefanesei, K. Goldstein, R. P. Jena, A. Sen y S. P. Trivedi, “Rotating attractors”, *JHEP* **0610** (2006) 058, [arXiv:hep-th/0606244].
- [77] H. K. Kunduri, J. Lucietti, y H. S. Reall, “Near-horizon symmetries of extremal black holes”, *Class. Quant. Grav* **24** (2007) 4169-4190, [hep-th/0705.4214].
- [78] A. Ghodsi, “ R^{*4} corrections to D1D5p black hole entropy from entropy function formalism”, *Phys. Rev. D* **74** (2006) 124026, [hep-th/0604106].
- [79] P. Prester, *JHEP* **0602** (2006) 039, [hep-th/0511306]; A. Sinha y N. V. Suryanarayana, *Class. Quant. Grav.* **23** (2006) 3305, [hep-th/0601183]; B. Sahoo y A. Sen, *JHEP* **0609** (2006) 029, [hep-th/0603149]; G. Exirifard, *JHEP* **0610** **070** (2006), [hep-th/0604021]; B. Chandrasekhar, [hep-th/0604028]; R. G. Cai y D. W. Pang, *Phys. Rev. D* **74** (2006) 064031, [hep-th/0606098]; A. Sinha y N. V. Suryanarayana, *JHEP* **0610** (2006) 034, [hep-th/0606218]; B. Sahoo y A. Sen, *JHEP* **0701** (2007) 010, [hep-th/0608182]; G. L. Cardoso, J. M. Oberreuter y J. Perz, hep-th/0701176; K. Goldstein y R. P. Jena, hep-th/0701221; R. G. Cai y D. W. Pang, hep-th/0702040; M. Alishahiha, hep-th/0703099; R. G. Cai, C. M. Chen, K. I. Maeda, N. Ohta y D. W. Pang, *Phys. Rev. D* **77** (2008) 064030, [hep-th/0712.4212].
- [80] P. Figueras, H. K. Kunduri, J. Lucietti, y M. Rangamani, “Extremal vacuum black holes in higher dimensions”, *Phys. Rev. D* **78** (2008) 044042, [hep-th/0803.2998].
- [81] D. Astefanesei y H. Yavartanoo, “Stationary black holes and attractor mechanism”, *Nucl. Phys. B* **794** (2008) 13-27, [hep-th/0706.1847].
- [82] I. Robinson, “A solution of the Maxwell-Einstein equations”, *Bull. Acad. Polon. Sci.* **7** (1959) 351-352.
- [83] B. Bertotti, “Uniform electromagnetic field in the theory of general relativity”, *Phys. Rev* **116** (1959) 1331.
- [84] T. Ortin, “Agujeros negros clásicos y cuánticos en teoría de cuerdas”, [hep-th/0405005], (2004).
- [85] G. W. Gibbons, “Aspects of supergravity theories, (three lectures) in: *Supersymmetry, supergravity and related topics*”, eds. F. del Aguila, J. de Azcarraga y L. Ibañez, World Scientific, Singapore, p.147 (1985).
- [86] M. Farhoudi, “On Higher order gravities, their analogy to GR, and dimensional dependent version of duff’s trace anomaly relation”, *Gen. Rel. Grav.* **38** (2006) 1261, [arXiv:physics/0509210v2].

- [87] B. Zwiebach, “Curvature squared terms and string theories”, *Phys. Lett. B* **156** (1985) 315.
- [88] J. F. Morales y H. Samtleben, “Entropy function and attractors for AdS black holes”, *JHEP* **10** (2006) 074, [hep-th/0608044].
- [89] D. Astefanesei, N. Benerjee y S. Dutta, “(Un)attractor black holes in higher derivative AdS gravity”, *JHEP* **11** (2008) 070, [arXiv0806.1334].
- [90] D. Astefanesei, H. Nastase, H. Yavartanoo y S. Yun, “Moduli flow and non-supersymmetric AdS attractors”, *JHEP* **04** (2008) 074, [arXiv0711.0036].
- [91] J. M. Maldacena, “Black holes in string theory”, hep-th/9607235, (1996).
- [92] M. J. Duff, “Lectures on branes, black holes and anti-de Sitter space”, hep-th/9912164, (1999).
- [93] A. W. Peet, “TASI lectures on black holes in string theory”, hep-th/0008241, (2000).
- [94] J. Matyjasek, “Entropy of nonlinear black holes in quadratic gravity”, *Acta Phys. Polon. B* **39** (2008) 3, [gr-qc/0802.4063].
- [95] J. Matyjasek, M. Telecka y D. Tryniecki, “Higher dimensional black holes with a generalized gravitational action”, *Phys. Rev. D* **73** (2006) 124016, [hep-th/0606254].
- [96] W. Berej, J. Matyjasek, D. Tryniecki y M. Woronowicz, “Regular black holes in quadratic gravity”, *Gen. Rel. Grav.* **38** (2006) 885, [hep-th/0606185].
- [97] J. Matyjasek, “Entropy of quantum-corrected black holes”, *Phys. Rev. D* **74** (2006) 104030, [gr-qc/0610020].
- [98] R. Aros, M. Contreras, R. Olea, R. Troncoso y J. Zanelli, “Conserved charges for gravity with locally AdS asymptotics”, *Phys. Rev. Lett.* **84** (2000) 1647, [gr-qc/9909015].
- [99] R. Olea, “Mass, angular momentum and thermodynamics in four-dimensional Kerr-AdS black holes”, *JHEP* **0506** (2005) 023, [hep-th/0504233].
- [100] G. Kofinas y R. Olea, “Vacuum energy in Einstein-Gauss-Bonnet AdS gravity”, *Phys. Rev. D* **74** (2006) 084035, [hep-th/0606253].
- [101] G. Kofinas y R. Olea, “Universal Counterterms in Lovelock AdS gravity”, *Fortsch. Phys.* **56** (2008) 957, [hep-th/0806.1197].